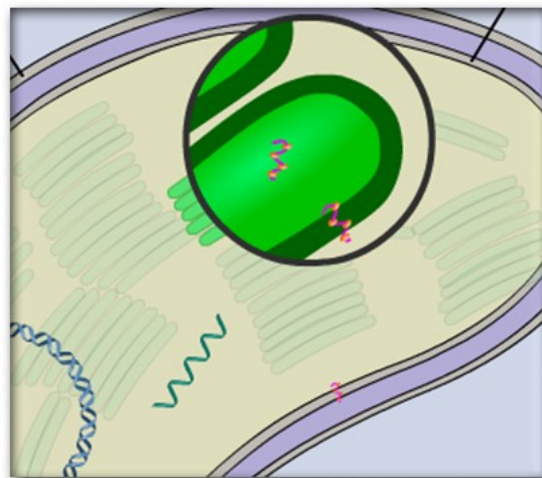


Bi8240 GENETIKA ROSTLIN

Prezentace 01 Rostlinný genom

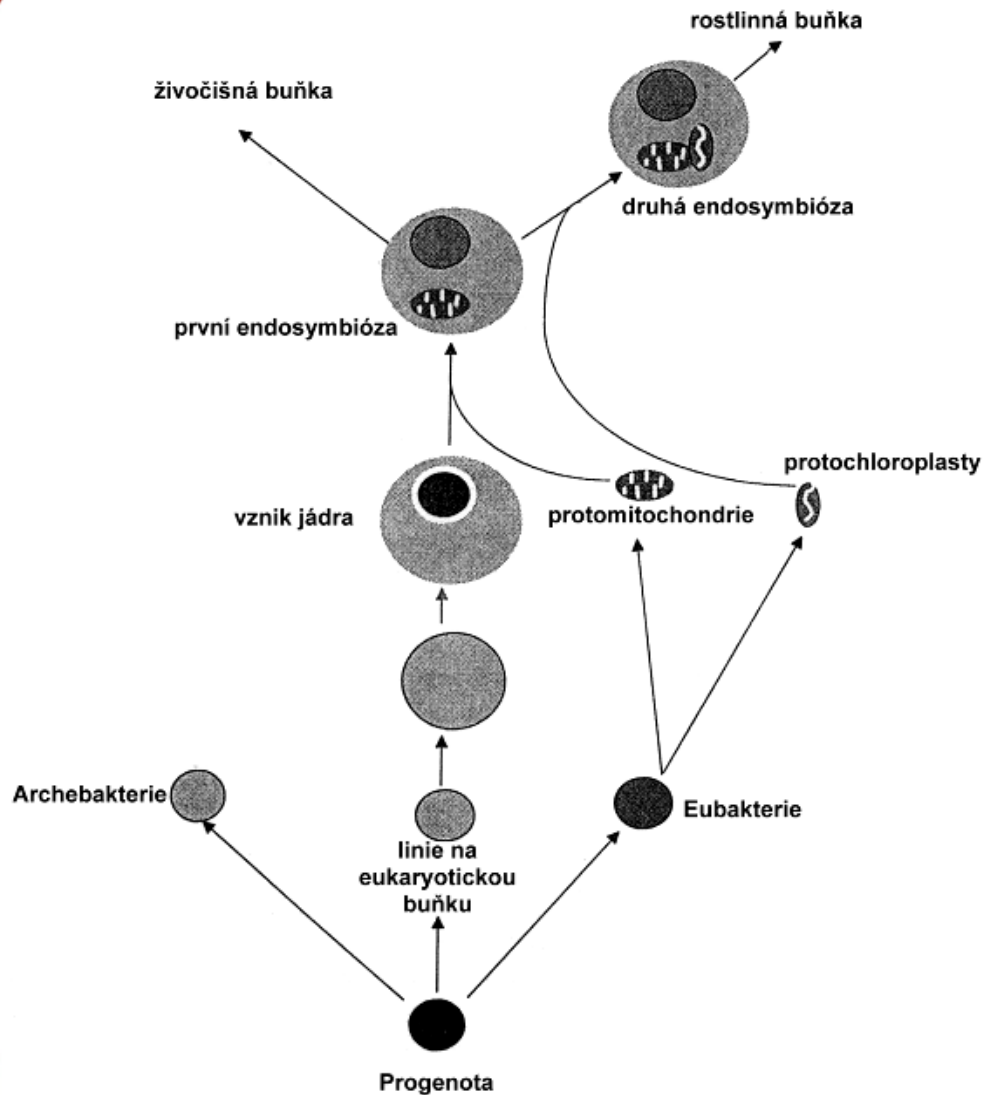


doc. RNDr. Jana Řepková, CSc.
repkova@sci.muni.cz

Rostlinný genom

- Evoluční aspekty
- Velikost rostlinného genomu
- Organizace rostlinného genomu
- Jaderný genom – kódující, repetitivní a mobilní sekvence
- Chloroplastový genom
- Mitochondriální genom
- Studium funkce genů
- Srovnání genomů jednotlivých druhů rostlin

Rostlinná buňka a genetická informace



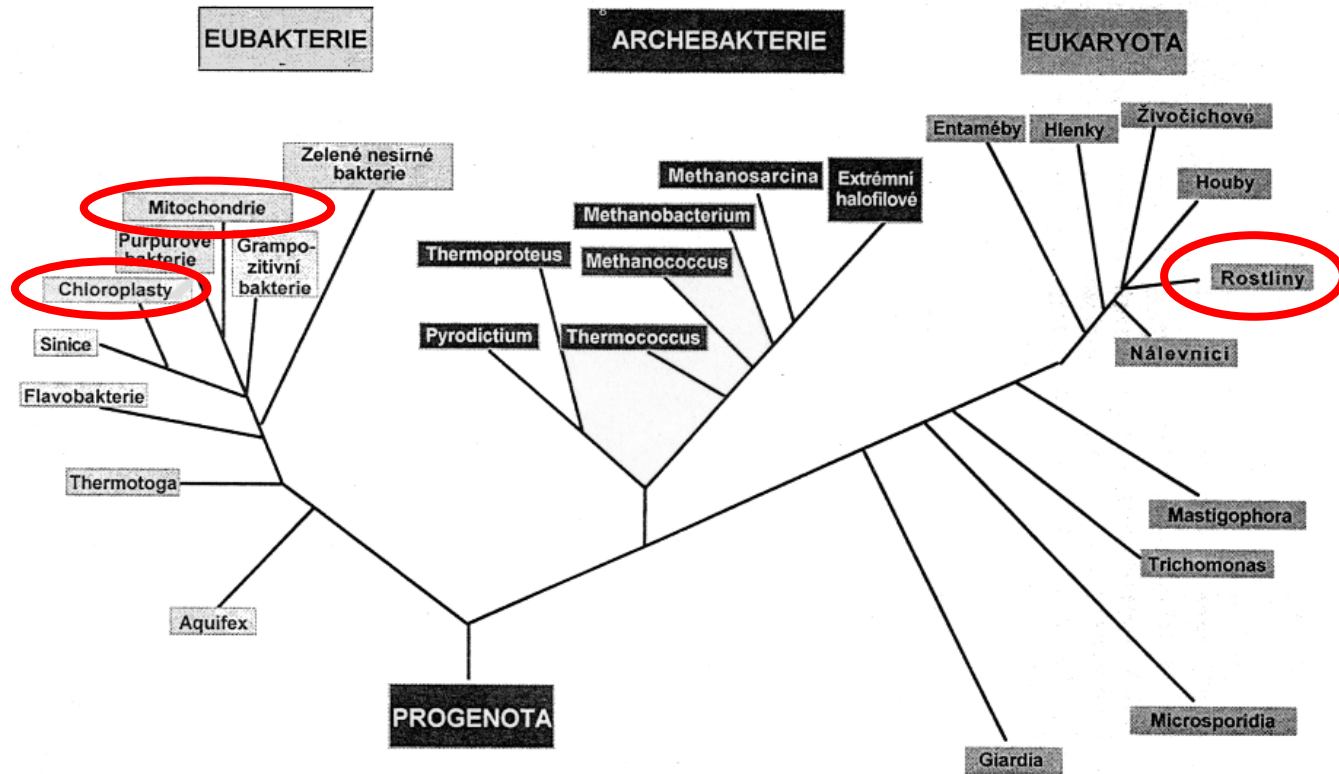
➤ 800 mil. let
mnohobuněčné
organizmy

➤ 1. a 2. endosymbióza
1,2 miliardy let

a důsledek!

➤ 3,8–4,2 miliardy let

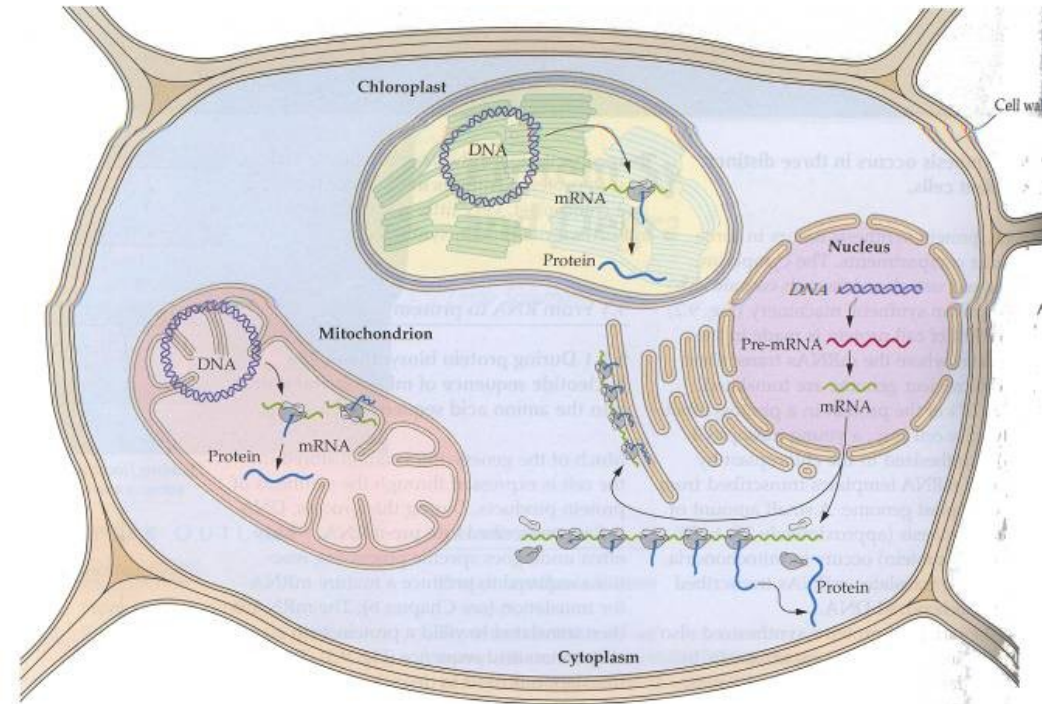
Evoluční linie rostlin



- Eukaryotické organizmy jsou stejně staré jako prokaryotické.
- Podstatná část genů člověka a jiných savců vykazuje vysokou homologii.
- Existuje určitý stupeň homologie mezi genomy různých organismů.
- Stupeň homologie závisí na jejich evoluční příbuznosti.

Genetická informace rostlin

- ➔ Jaderná
- ➔ Chloroplastová
- ➔ Mitochondriální

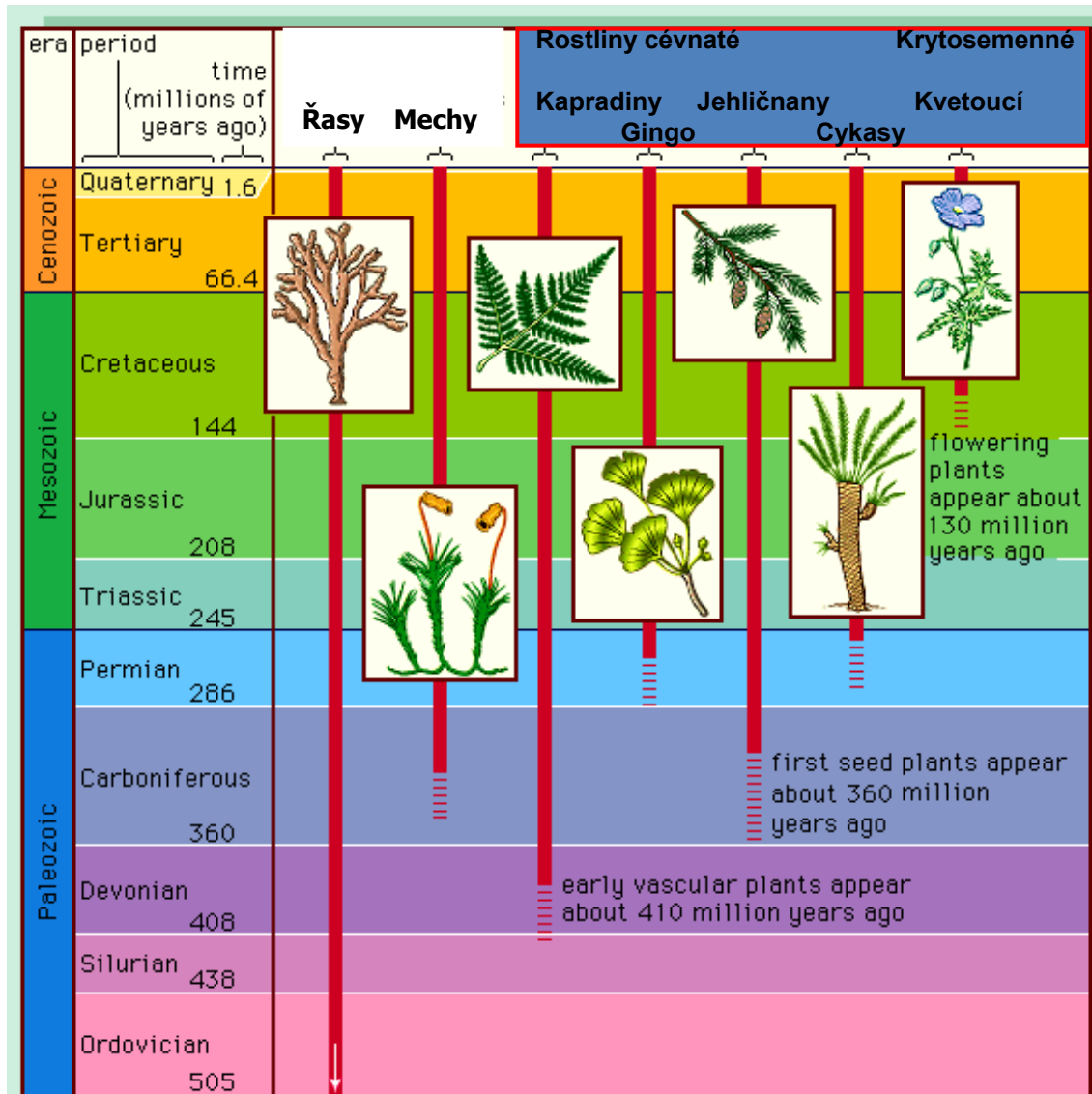


Specifické rysy

- ➔ Evoluční původ genomů
- ➔ Komunikace tří složek genetického aparátu

Evoluce rostlin a rostlinných genomů

- ➔ Nejstarší fosilie rostlin cévnatých
 - 410 mil. let
 - Ozonová vrstva
 - Tvorba kořenů
- ➔ Původ krytosemenných
 - 200 až 250 mil. let
 - 140 mil. let
 - Mutace, bílé zbarvení, květy



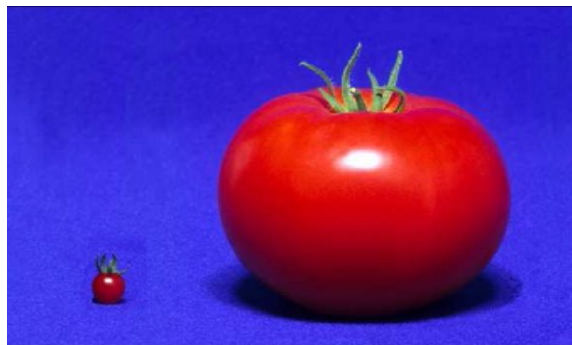
Evoluce rostlin a rostlinných genomů

- Divergence 2 a 1děložné
 - *Arabidopsis* a rýže 160 až 240 mil.
 - *Arabidopsis* a rýže 200 mil.
 - *Arabidopsis* a rajčete 150 mil.
- Původ trav 100 až 65 mil.
- Nejstarší známé fosilie trav 50 až 70 mil.
- Nejstarší fosilie linie rýže 40 mil.
- Divergence v rámci čeledí
 - pšenice a žita 10 až 14 mil.
 - *Arabidopsis* a *Brassica* 12 až 19 mil.
 - *Arabidopsis* a *Capsella rubella* 6 až 10 mil.

Navazuje evoluce kulturních rostlin!

- Začátek pěstování před 10 až 12 tis. lety

- Bylo domestikováno **230 plodin** ze 180 rodů a 64 čeledí.
- *Poaceae*, *Fabaceae*, *Brassicaceae*, *Solanaceae*
- **Fixace znaku 100 až 2000 let**



Evoluce a domestikace kulturních rostlin

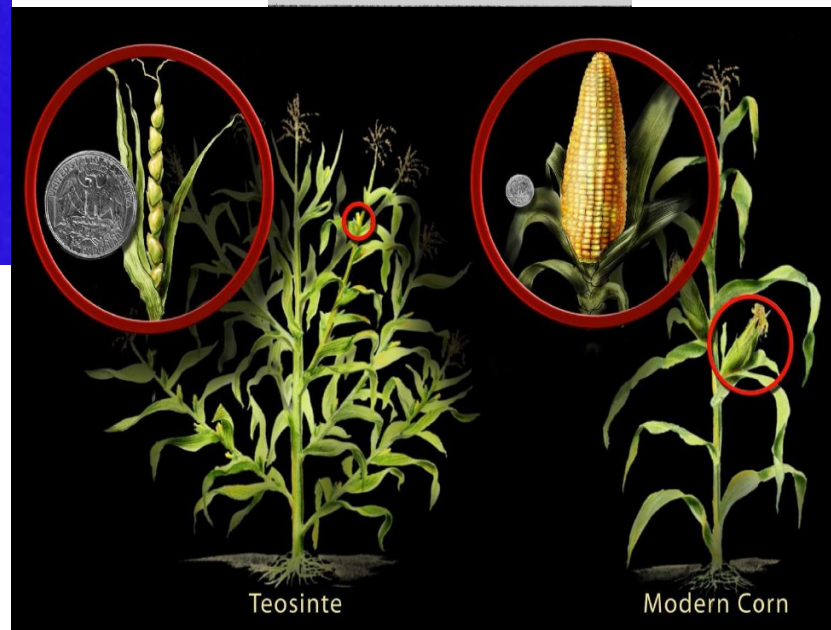
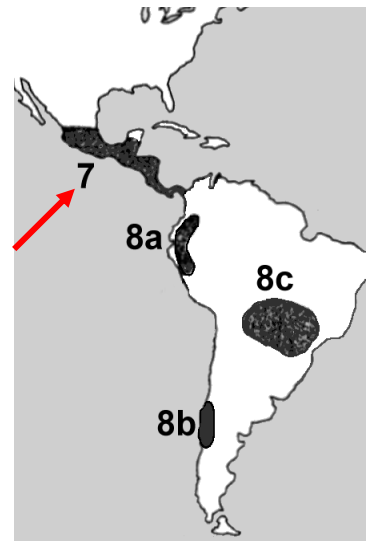
➔ Kukuřice *Zea mays*



teosinte

kukuřice

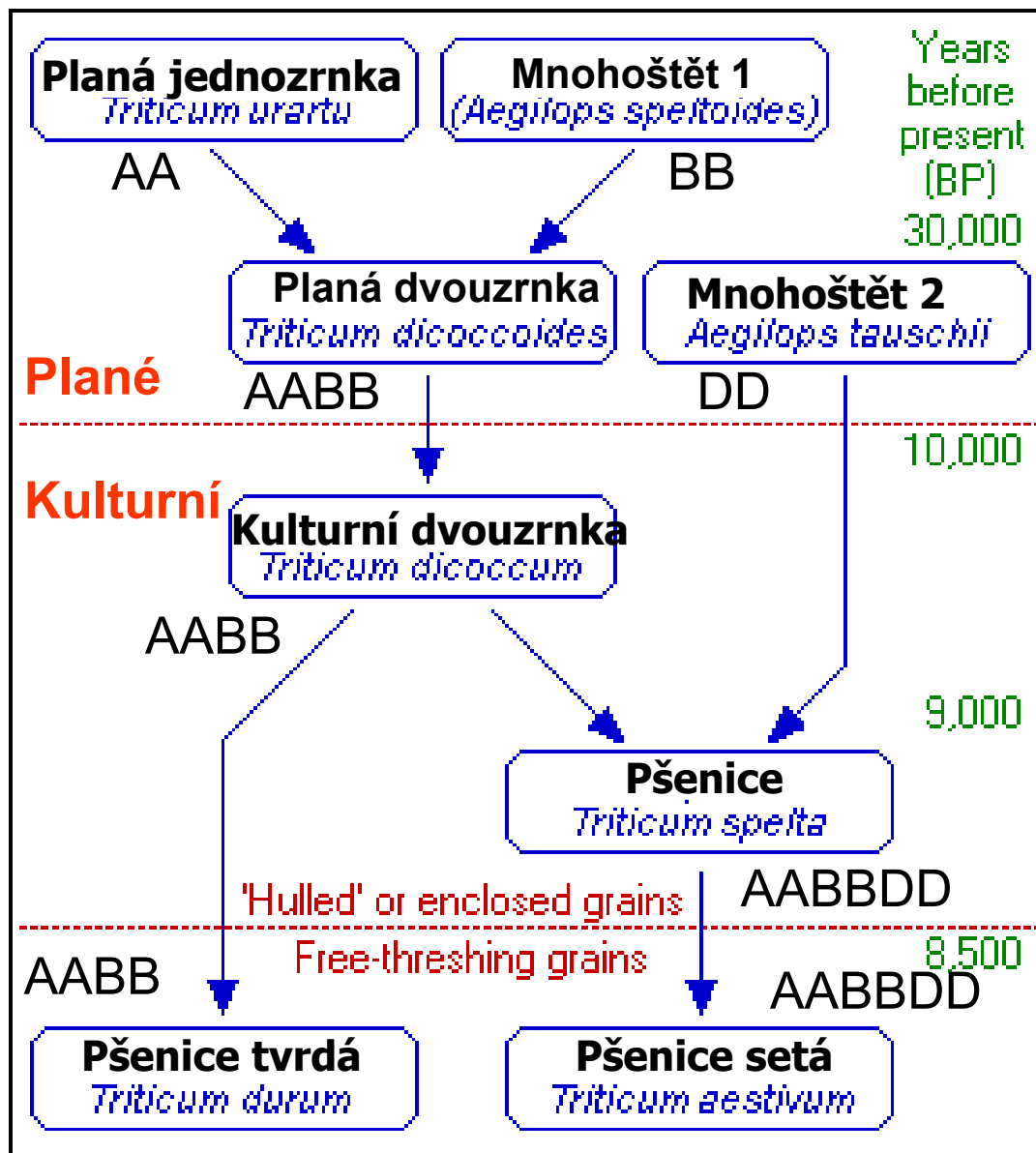
Z. mays ssp. parviglumis



Teosinte

Modern Corn

Pšenice *Triticum aestivum*



Planá jednozrnka

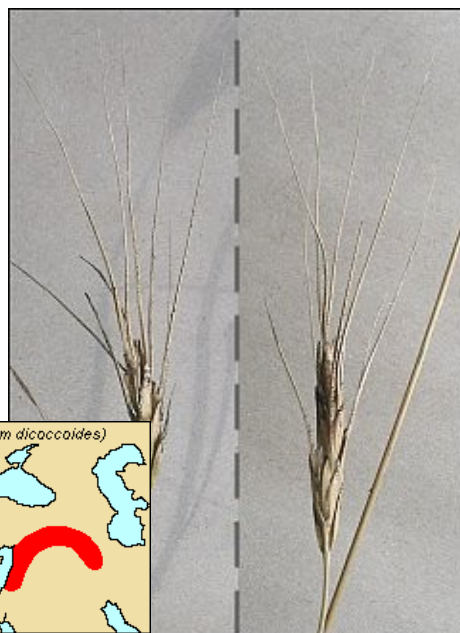


X

Mnohošět 1



Planá dvouzrnka



X

Mnohošět 2



Kulturní
dvouzrnka



Pšenice
tvrdá



Pšenice setá



Šlechtění kulturních druhů je pokračující evoluce



T. aestivum
AABBDD
AABB

x



Secale cereale (RR)



Triticale
(AABBDDRR)
(AABBRR)

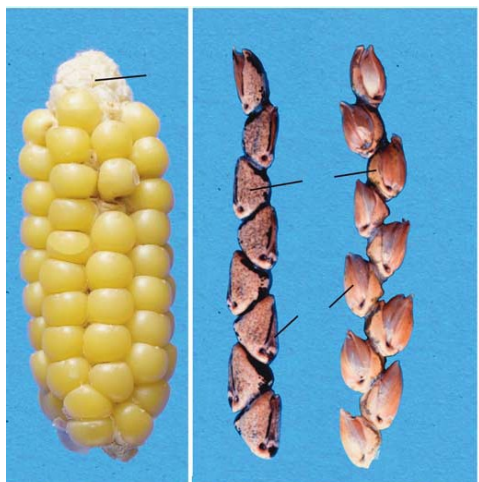
Hlavní domestikační znaky

1. Omezení vypadávání semen
 - nerozpadavá větvena klasu, nepukavost lusků
2. Synchronizace dozrání
3. Minimalizace dormance
4. Jednoletost
5. Změny v rozmnožování
 - ztráta alogamie
6. Změny v chemickém složení a kvalitě užitečných orgánů
7. Bezsemenné plody

Některé geny pro domestikační znaky

Kukuřice

➔ *Tga-1* Teosinte glume architecture – tvorba pevného osemení



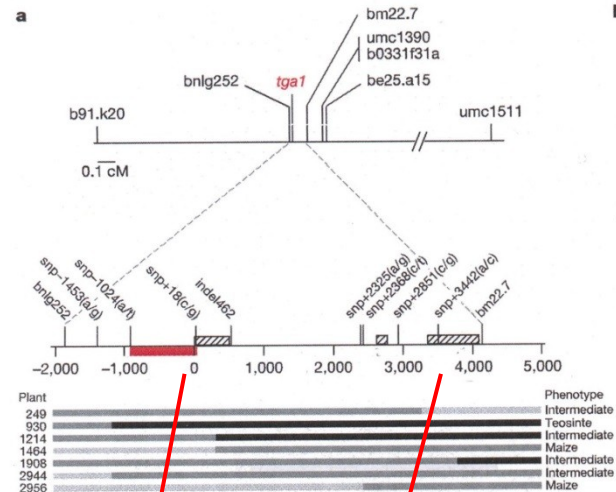
Tga1

tga1

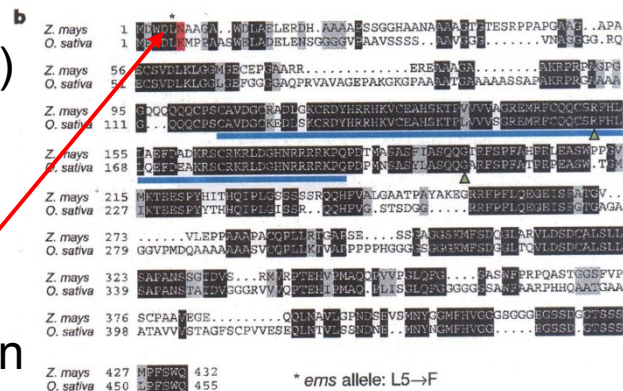
Lokus *tga1* TF SBP squamosa-promoter binding protein (modře)

Protein teosinta vs. kukuřice
Záměna K → N

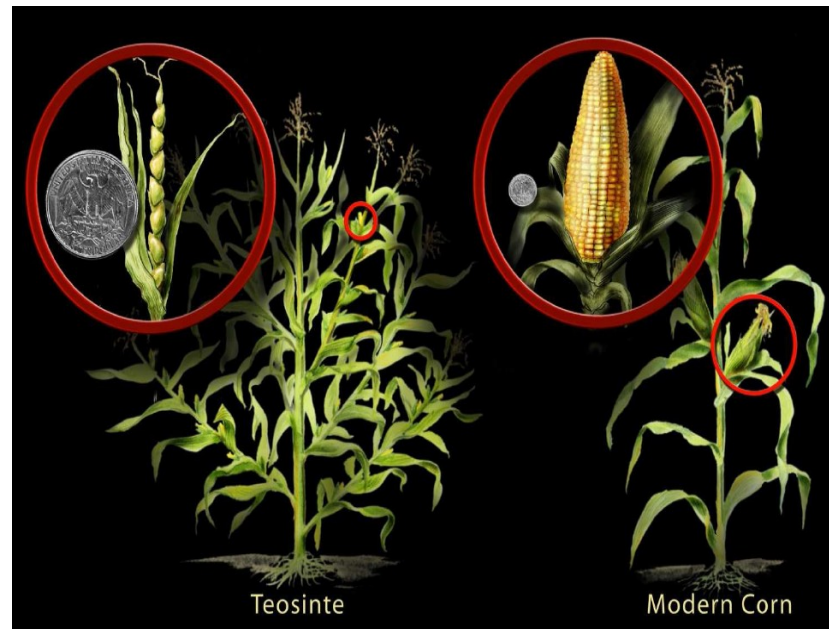
lysine asparagine



promotor 3 exony



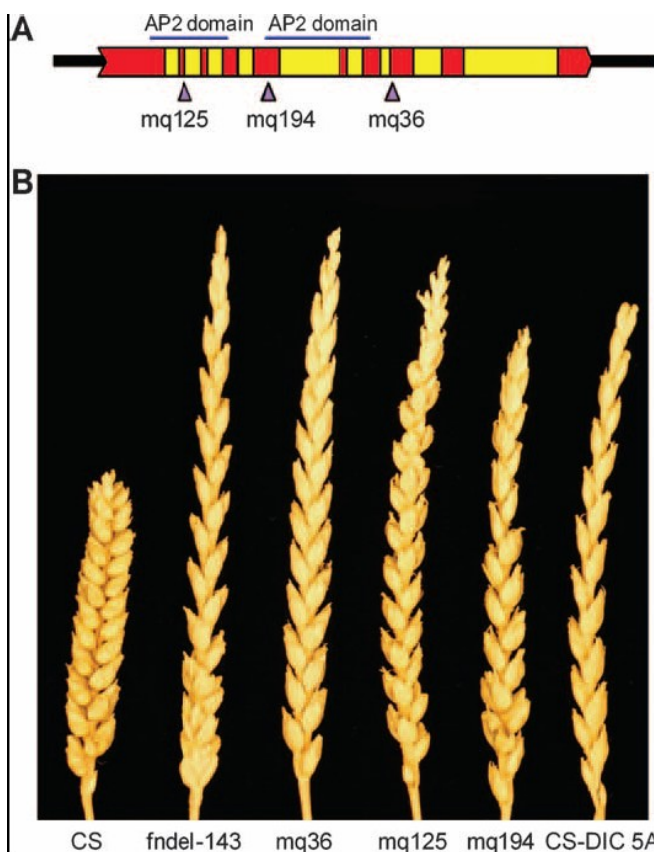
- *Tb-1 Teosinte branched* – architektura rostliny
- Transkripční faktor TCP (pouze u vyšších rostlin)
 - **T** *Teosinte branched* – kukuřice **C** *Cycloidea* – Antirrhinum **P** rýže
 - represe buněčného cyklu
- Dominantní mutace u kukuřice – potlačení větvení



Některé geny pro domestikační znaky

Pšenice

➔ Q – rozpadavost klasu, volná obilka



- ➔ Zelená intron, červená exon, modrá 3 UTR
- ➔ Kulturní genotyp **Q** Exon – isoleucin, pozice 329
- ➔ Planý genotyp **q** valin

	576	617	2123	2189	2452	3531
<i>T. aestivum</i> cv. CS (Q)	▼	▼	▼	▼	█	▼
<i>T. durum</i> (Q)						
<i>T. carthlicum</i> (Q)						
<i>T. polonicum</i> (Q)						
<i>T. spelta</i> (DS5A Iran) (Q)						
<i>T. spelta</i> (DS5A Euro) (q)						
<i>T. spelta</i> (Eur; TA2603) (q)						
<i>T. macha</i> (q)						
<i>T. dicoccoides</i> (q)						
<i>T. dicoccum</i> (q)						
<i>T. urartu</i> (q)						
<i>T. monococcum</i> (q)						

Pleiotropie genu Q

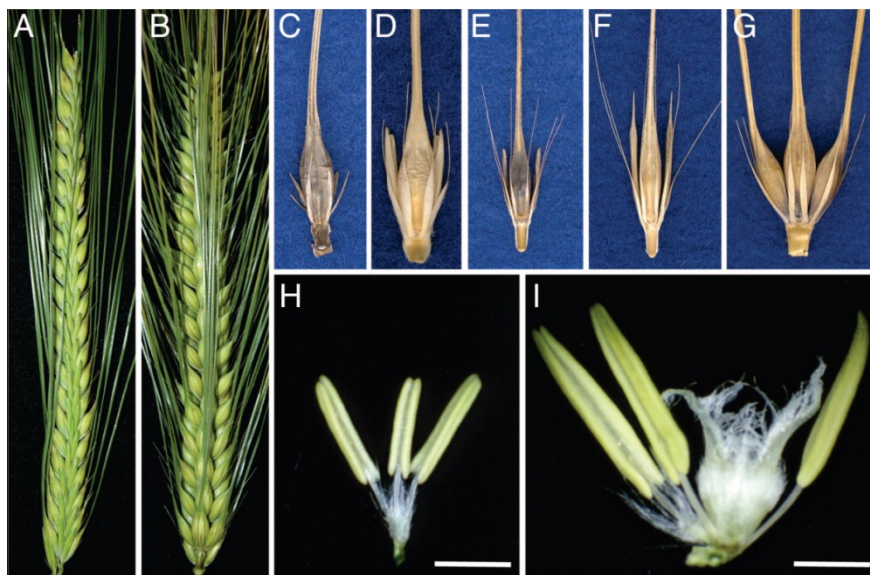
- ➔ Rozpadavost větve klasu
- ➔ Tvar a pevnost plevy
- ➔ Délka klasu
- ➔ Výška rostliny
- ➔ Doba metání

Některé geny pro domestikační znaky

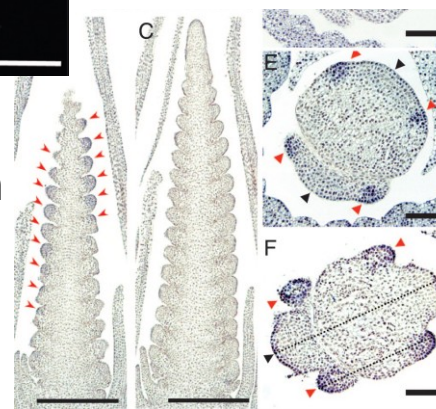
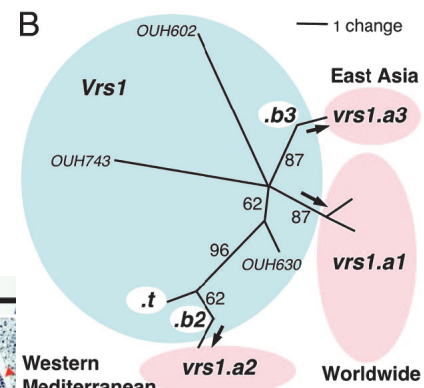
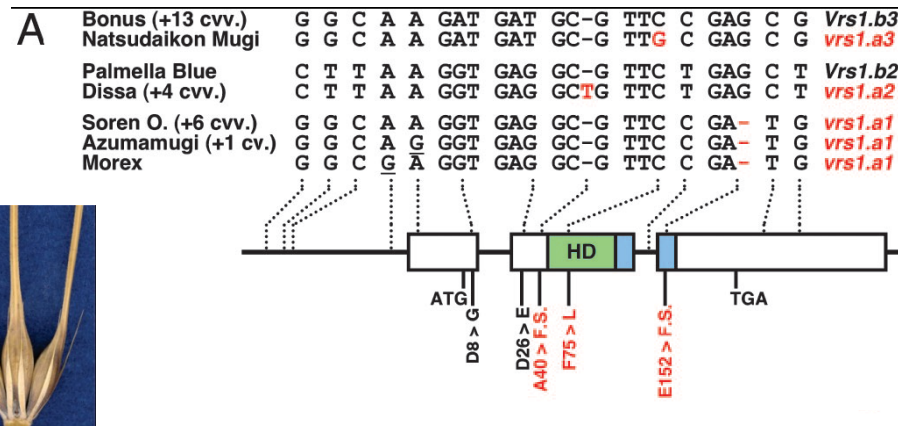
Ječmen

➔ 5 genů:

- *vrs1* – šestiřadost klasu
- *Vrs1* – dvouřadost, chromozom 2H

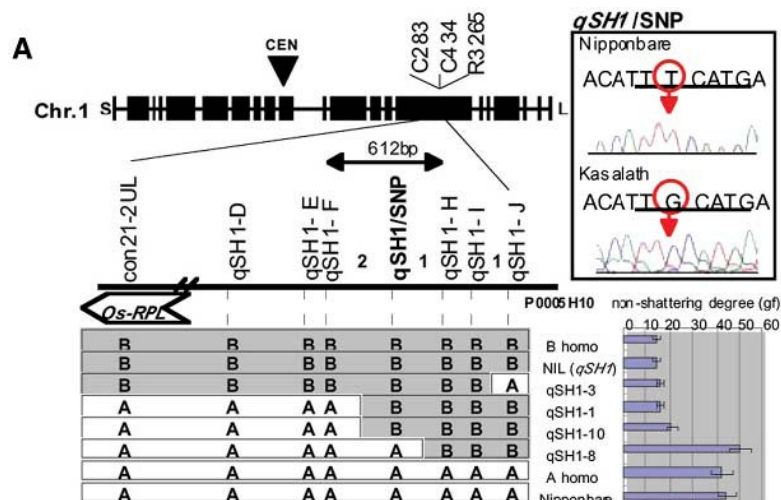
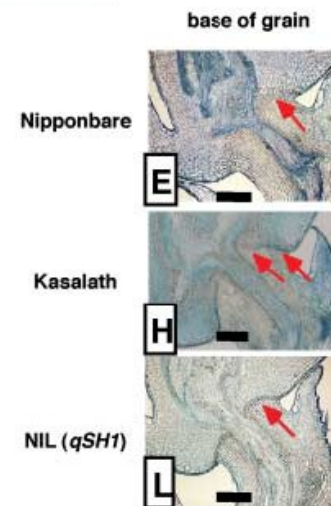
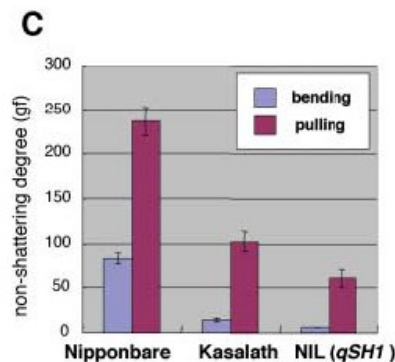
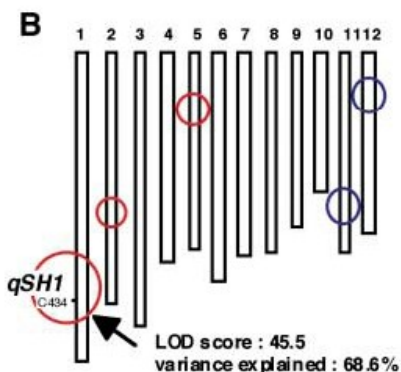


- ➔ Transkripční faktor – leucinový zip
- ➔ *Vrs1* exprese v laterálních primordiích
- ➔ *Vrs1* suprimuje vývoj laterálních větví
- ➔ Mutace – tvorba fertlních klásků v šestiřadém fenotypu



Některé geny pro domestikační znaky Rýže

➔ *Sh4*, *qSh1* Shattering – uvolňování semen



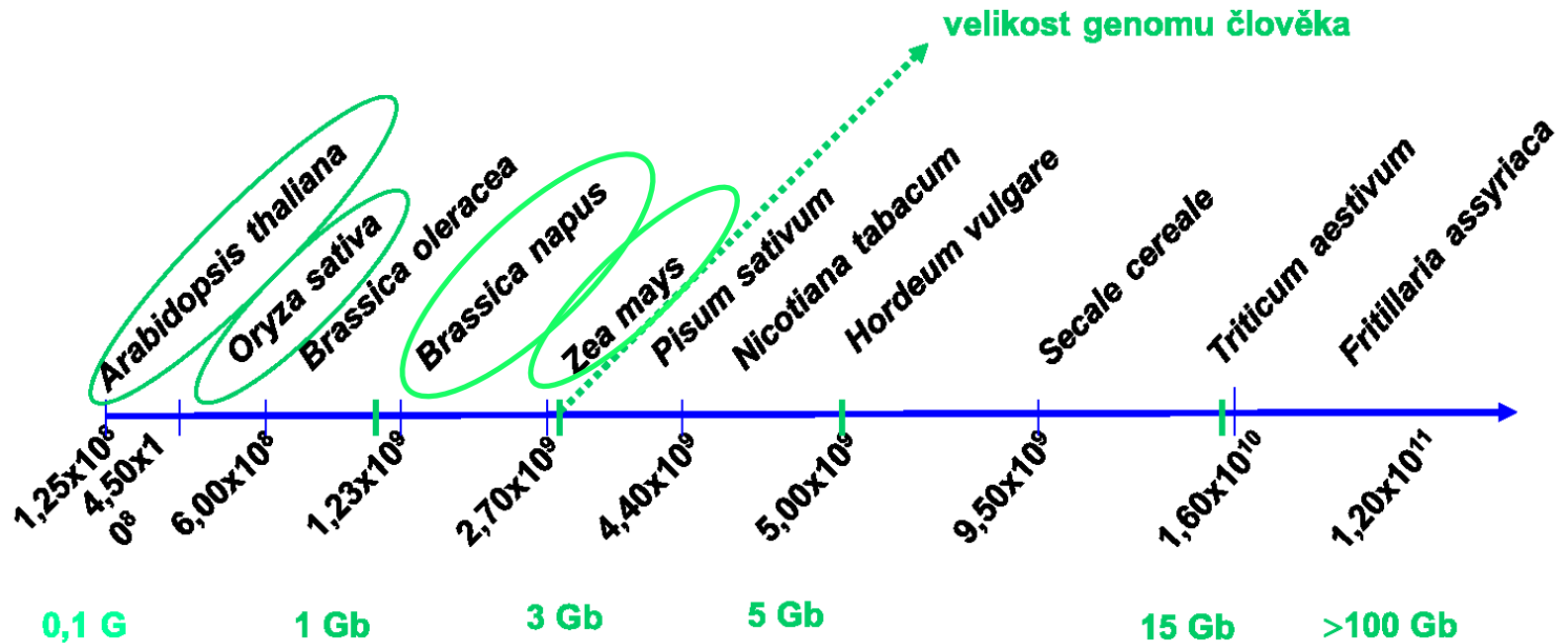
Shrnutí

Evolve krytosemenných rostlin

- ➔ Kdy vznikly
- ➔ Jaká je jejich evoluční linie
- ➔ Co bylo předpokladem jejich evoluce
- ➔ Souvislost s evolucí živočichů a člověka
- ➔ Významné časové body
- ➔ Evolve, domestikace, šlechtění

Rostlinné genomy

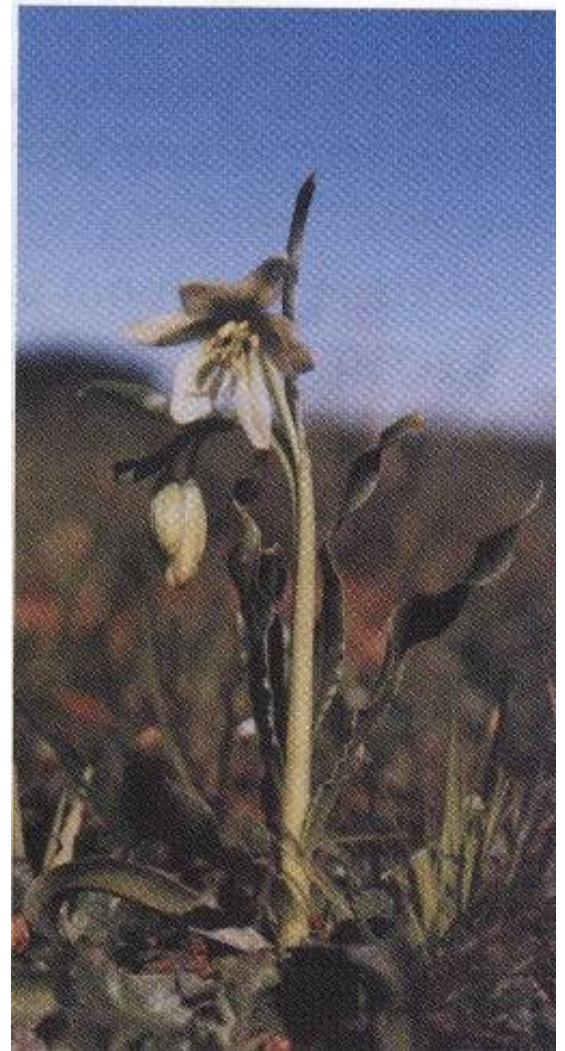
1. Velikost rostlinných genomů
2. Struktura rostlinných genomů a další poznatky



➔ *Arabidopsis thaliana*



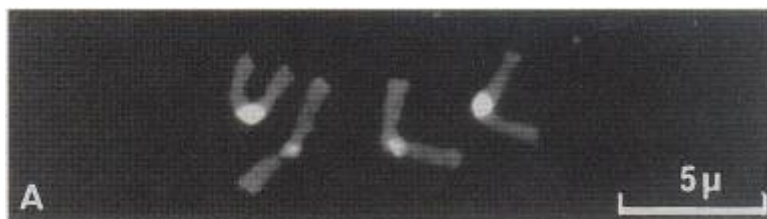
➔ *Fritillaria assyriaca*



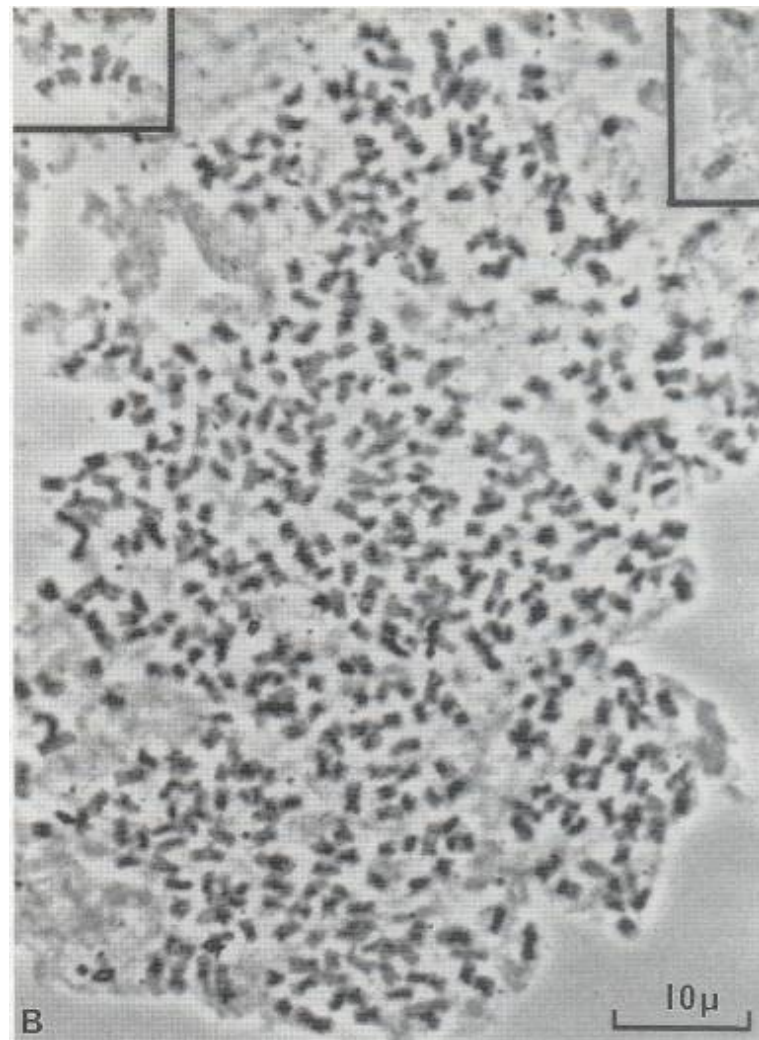
Druh	J/D	n	ploidie	bp
<i>Arabidopsis thaliana</i>	D	5	2	$1,25 \times 10^8$
<i>Oryza sativa</i>	J	12	2	$4,50 \times 10^8$
<i>Brassica oleracea</i>	D	9	2	$6,00 \times 10^8$
<i>Lycopersicon esculentum</i>	D	12	2	$1,00 \times 10^9$
<i>Brassica napus</i>	D	19	2	$1,23 \times 10^9$
<i>Antirrhinum majus</i>	D	8	2	$1,54 \times 10^9$
<i>Vicia sativa</i>	D	6	2	$1,60 \times 10^9$
<i>Solanum tuberosum</i>	D	12	4	$1,80 \times 10^9$
<i>Zea mays</i>	J	10	2	$2,70 \times 10^9$
<i>Pisum sativum</i>	D	7	2	$4,40 \times 10^9$
<i>Nicotiana tabacum</i>	D	24	4	$4,40 \times 10^9$
<i>Hordeum vulgare</i>	J	7	2	$4,90 \times 10^9$
<i>Secale cereale</i>	J	7	2	$9,50 \times 10^9$
<i>Triticum aestivum</i>	J	21	6	$1,60 \times 10^{10}$
<i>Fritillaria assyriaca</i>	J			$1,20 \times 10^{11}$

Záhada C-hodnoty DNA

Extrémní počty chromozomů u rostlin



- Mitotická metafáze v kořenových špičkách
- A) trávy *Zingiber biebersteiniana*
– $2n=4$
- B) Palmy *Voanioala gerardii*
– $2n$ asi 600
- *Haplopappus gracilis*: $2n = 4$
- *Sedum suaveolens*: $2n =$ cca 640
- Velikost chromozomů se mezi druhy liší až 60x



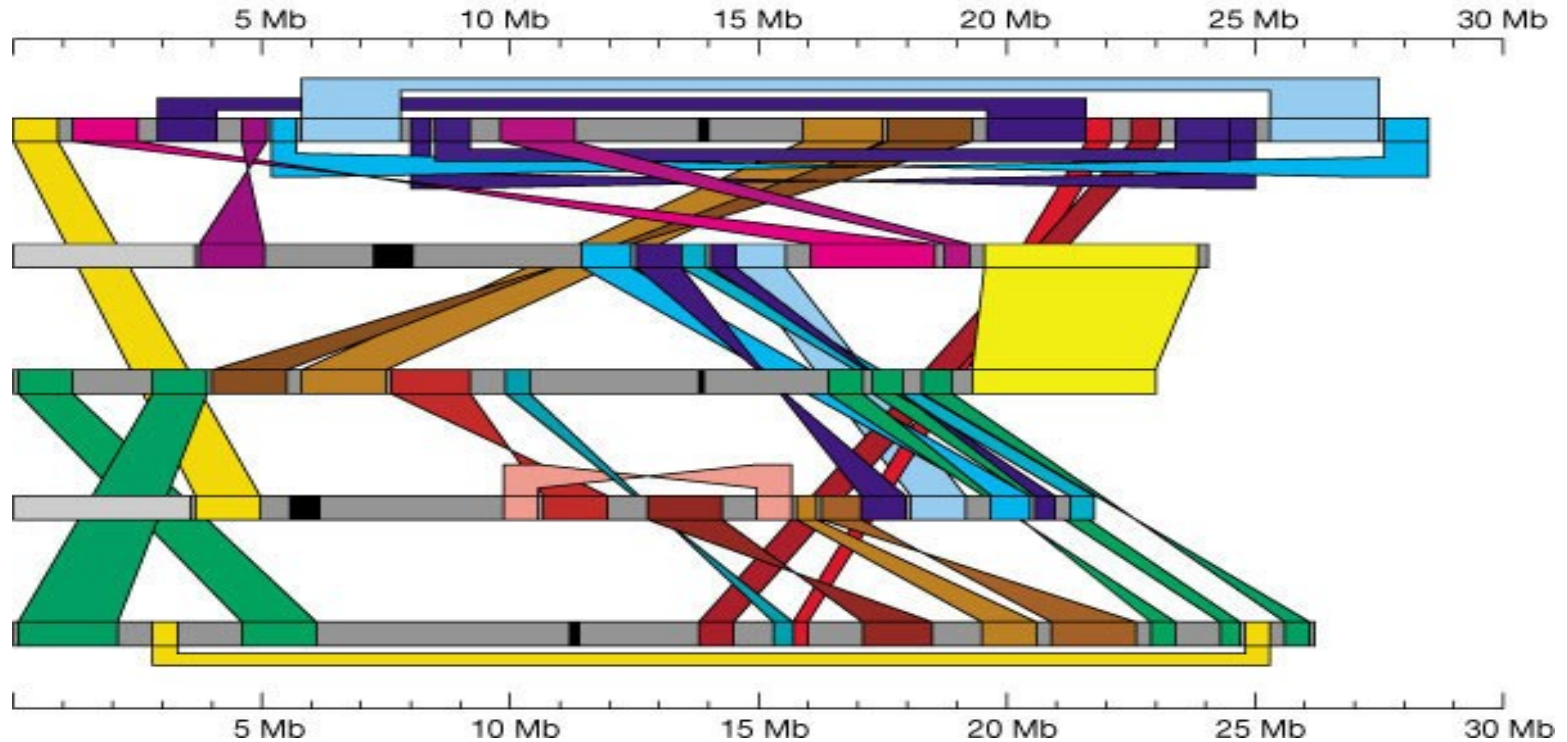
Evoluční mechanismy ovlivňující velikost genomů rostlin

- ➔ Duplikace
- ➔ Spontánní delece a inserce
- ➔ Aktivita transpozonů
- ➔ Přídatné chromozomy
- ➔ Expanze mikrosatelitů
- ➔ Expanze heterochromatinu (např. centromer)

Důsledky → redundance genů u rostlin

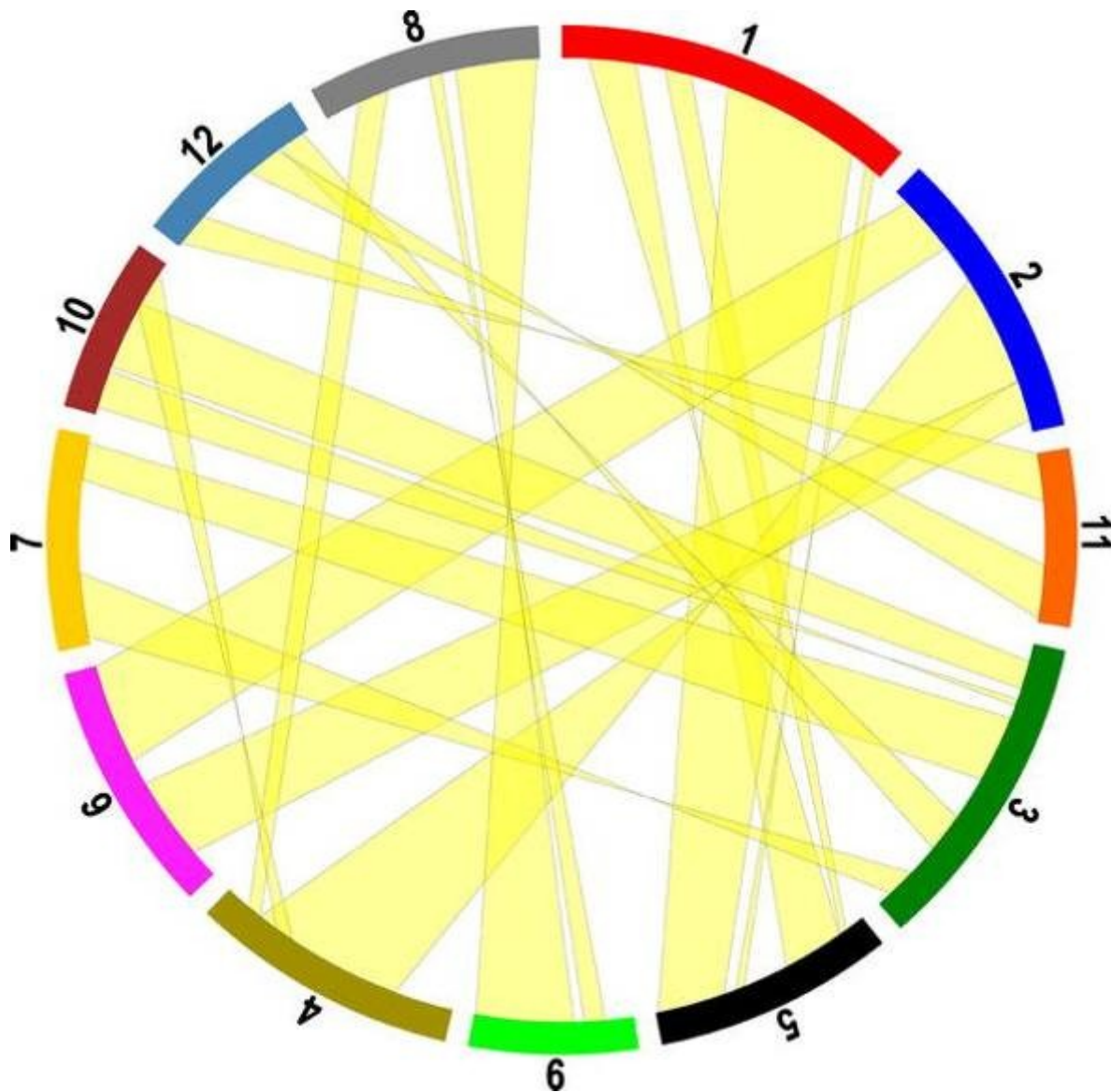
Arabidopsis je dávný tetraploid

- Jako zřejmě většina rostlin

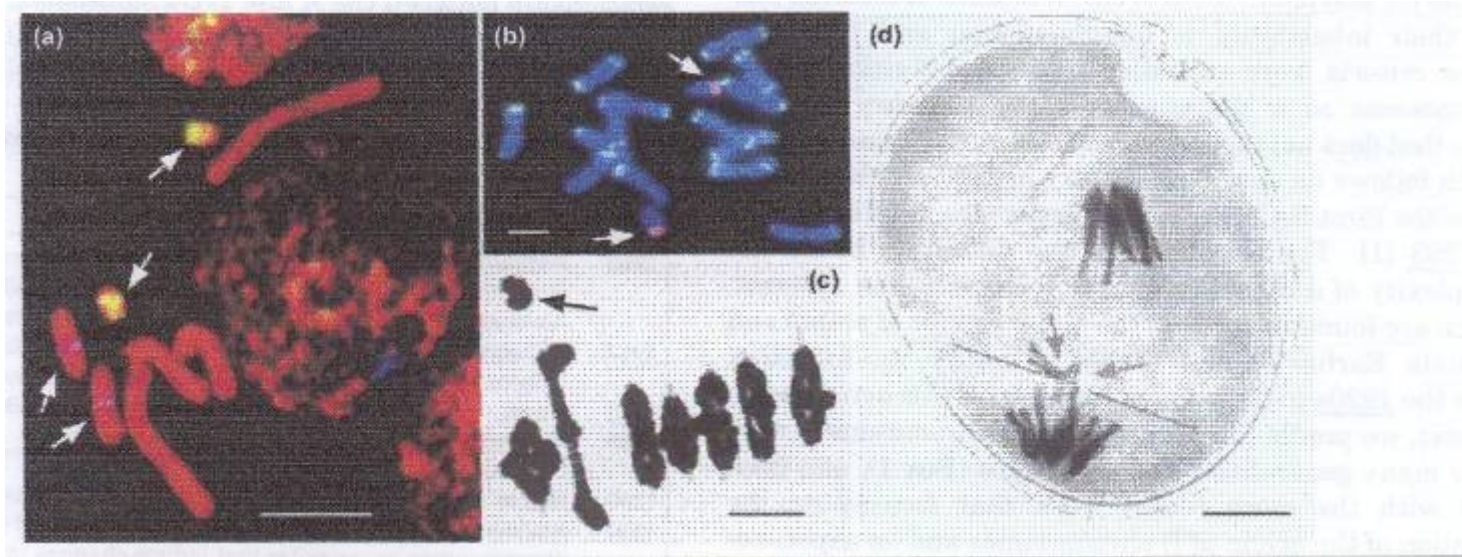


- Duplikované úseky chromozomů tvoří 60 % genomu (67.9 Mb)
- Polyploidizace výrazně zvyšuje plasticitu genomu a zřejmě hrála významnou roli v evoluci rostlin (rostlinných genomů)

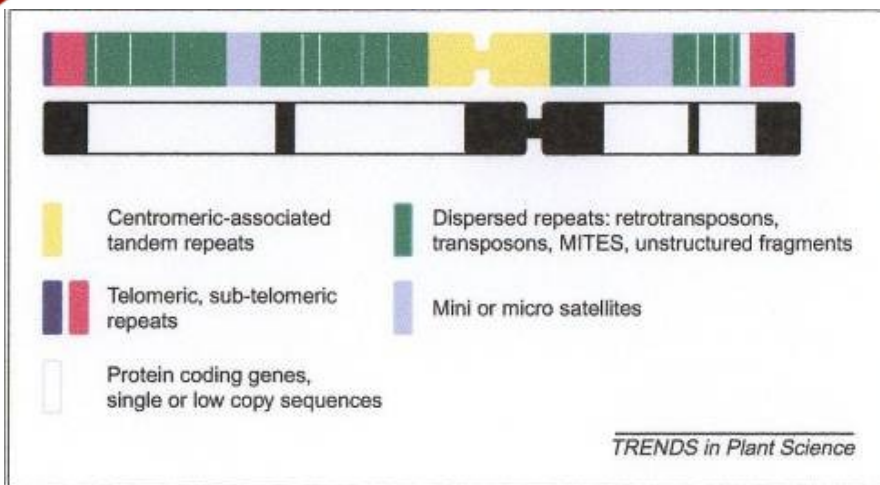
Četné duplikace jsou i v genomu rýže



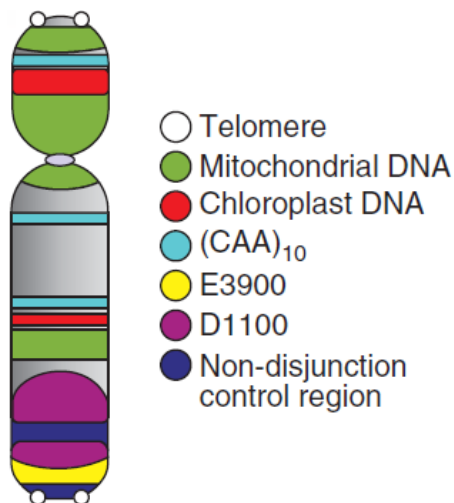
B chromozomy



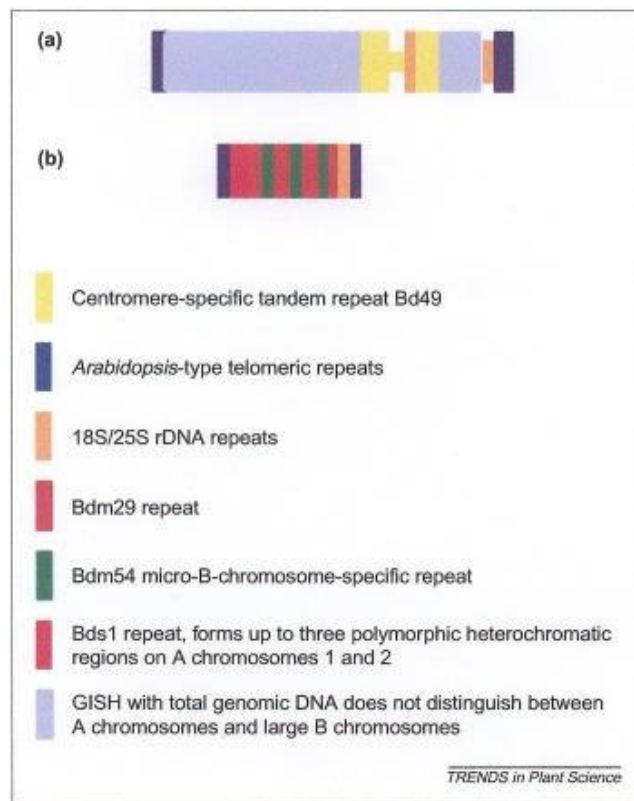
- a) *Brachycome dichromosomatica* (mitóza, 2 B a 2 mikro-B chromozomy)
- b) *Secale cereale* (metafáze, 2 B chromozomy)
- c) *Secale cereale* (metafáze I meiózy, 1 B chromozom, 7 bivalentů)
- d) *Secale cereale* (1. mitóza v pylovém zrně, nondisjunkce B chromozomu)



➔ B chromozom – struktura



- ➔ B chromozom *Secale cereale*
- ➔ oblast nezbytná pro nondisjunkci



Brachycome dichromosomatica

- a) B chromozom
- b) Mikro-B chromozom

Secale cereale

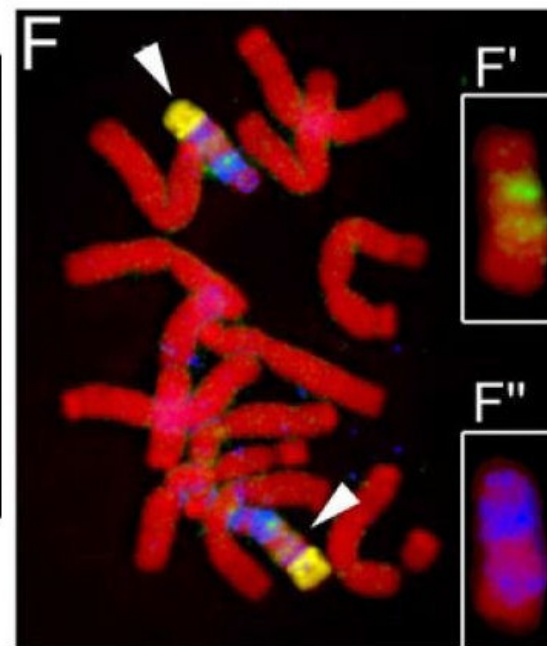
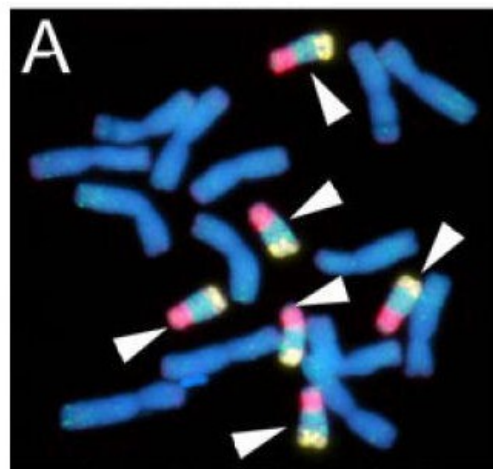
A 6 B chr

3 typy repeticí

F mt DNA modrá

cp DNA zelená

repetice žlutá



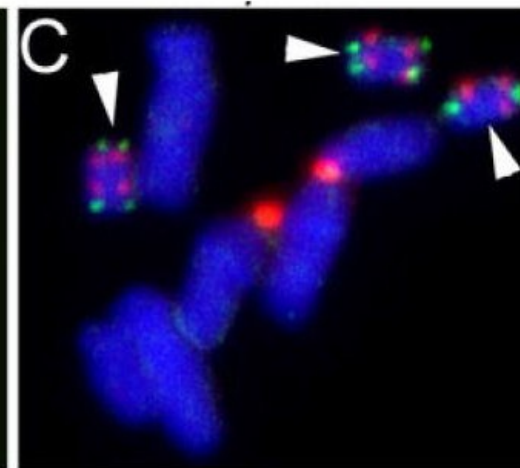
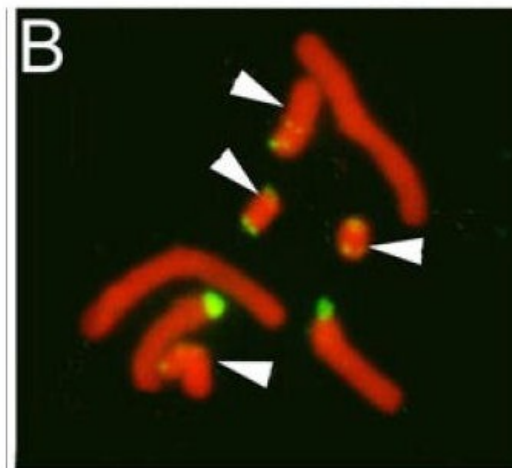
B *Brachycome
dichromosomatica*

45S rDNA zelená

C *Crepis capilaris*

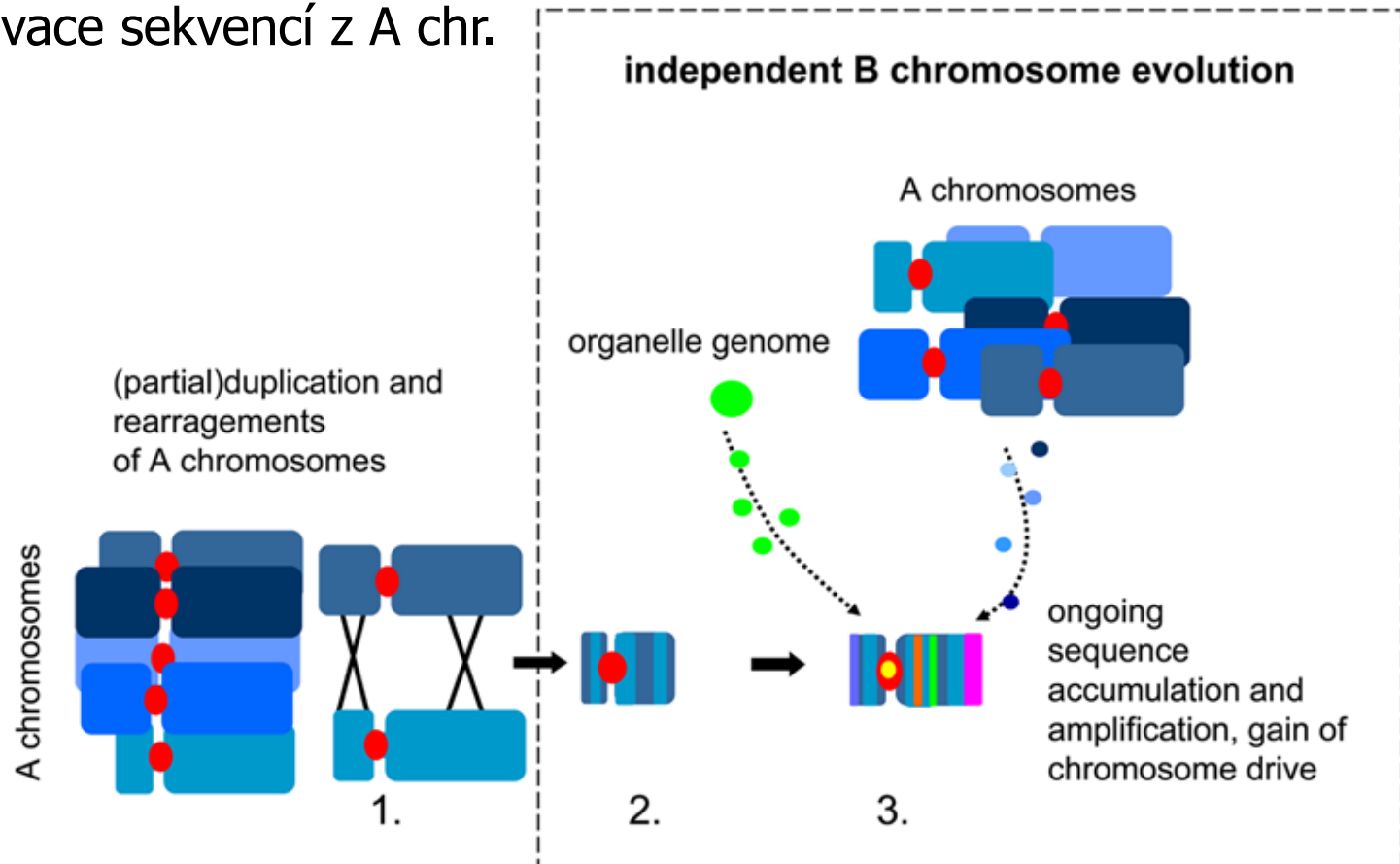
45S rDNA červená

telomery Ath zelená



Evoluce vzniku B chromozomů

1. Duplikace a částečná duplikace A chr., přeuspořádání/translokace
2. Znemožnění párování A – B v meióze, vytváří se proto-B
3. Akumulace organelové DNA a fagmentů z A (genomická houba) amplifikace spec. sekvencí pro B chr.
inaktivace sekvencí z A chr.



Genomika rostlin

Strukturní genomika

1. Velikost rostlinných genomů
2. Struktura rostlinných genomů a další poznatky

➔ Strukturní genomika

- Projekt **The Arabidopsis Genome Initiative** 1996–2000
Nature, December 2000, Vol. 408, pp. 796–815,
www.nature.com
 - *Arabidopsis thaliana* ($1,25 \times 10^8$)
- Projekt **International Rice Genome Sequencing Project**
 - *Oryza sativa* ($4,50 \times 10^8$)
- *Populus trichocarpa*
- *Vitis vinifera*
- *Zea mays*
- *Brassica napus*

Genom *Arabidopsis thaliana*

Projekt **The *Arabidopsis* Genome Initiative** 1996–2000

– Nature, December 2000, Vol. 408, pp. 796-815,
www.nature.com

- Počet genů 25 498 *D. melanogaster* 13 601 genů
C. elegans 19 099 genů
- Počet typů proteinů 11 601
- Jedinečné geny 35 %
- Genové rodiny 65 %
 - s více než 5 členy 37,4 %
- Transpozony 10 %
- Nekódující sekvence 14 %
- Vzdálenost mezi geny prům. 4,5 kb
- 1 gen prům. 205 bp

Porovnání jaderného a mimojaderných genomů *A. thaliana*

	jádro	plastidy	mitochondrie
velikost	125 Mb	154 kb	367 kb
duplikace	60 %	17 %	10 %
počet genů kód. proteiny	25 498	79	58
hustota genů – kb na 1 gen	4,5	1	6,25
geny s introny	79 %	18,4 %	12 %
transpozony	10 %		4 %

➔ *Oryza sativa*

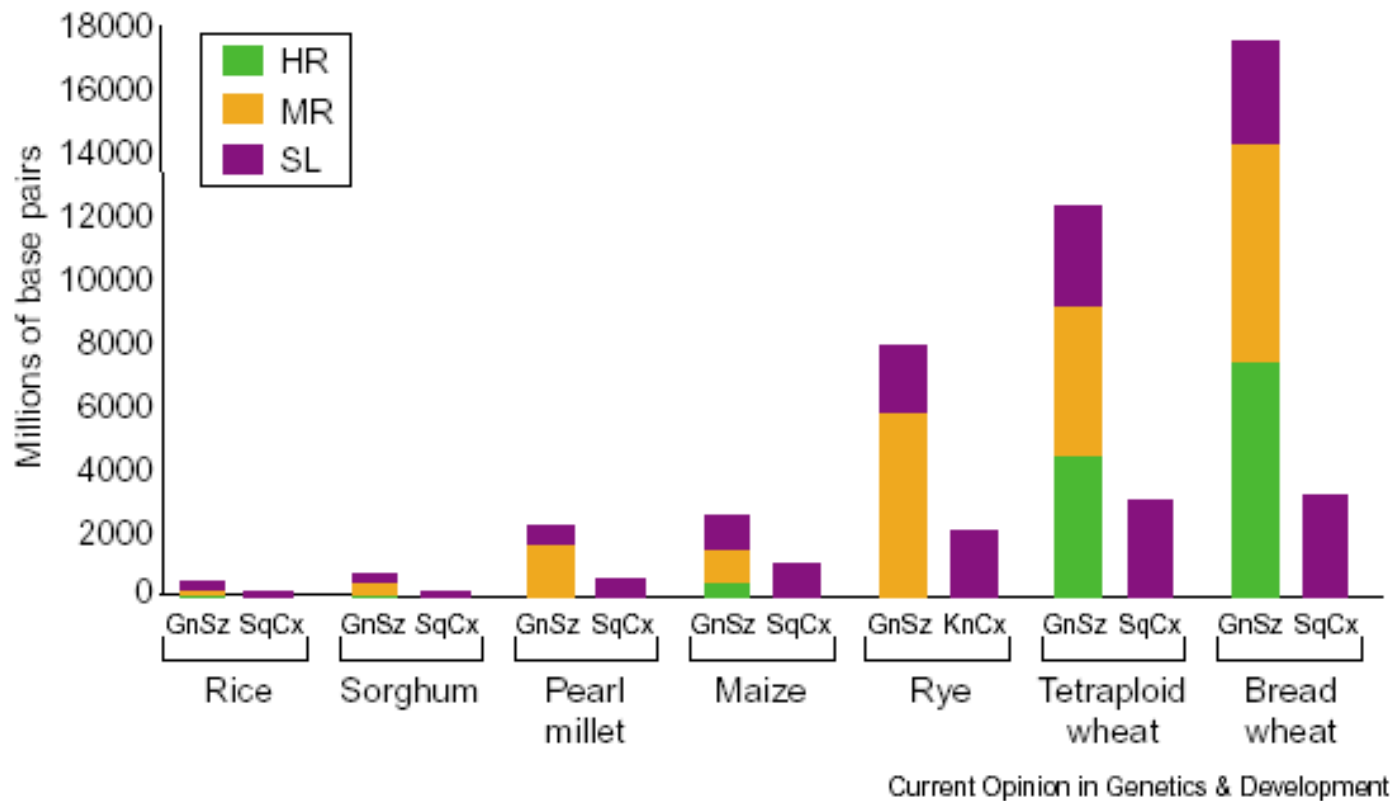
➔ Current Opinion in Plant Biology 6(2), 2003

Jaderný genom

Sekvence jaderného genomu

1. **Kódující** – geny a genové rodiny
 2. **Nekódující** – repetitivní a mobilní
 - RNA není matrice pro syntézu bílkovin
- ➔ Repetitivní
- centromery
 - telomery
 - satelity – tandemové repetice
 - minisatelity (motiv 9 až 20 bp)
 - mikrosatelity (motiv 1 až 5bp)

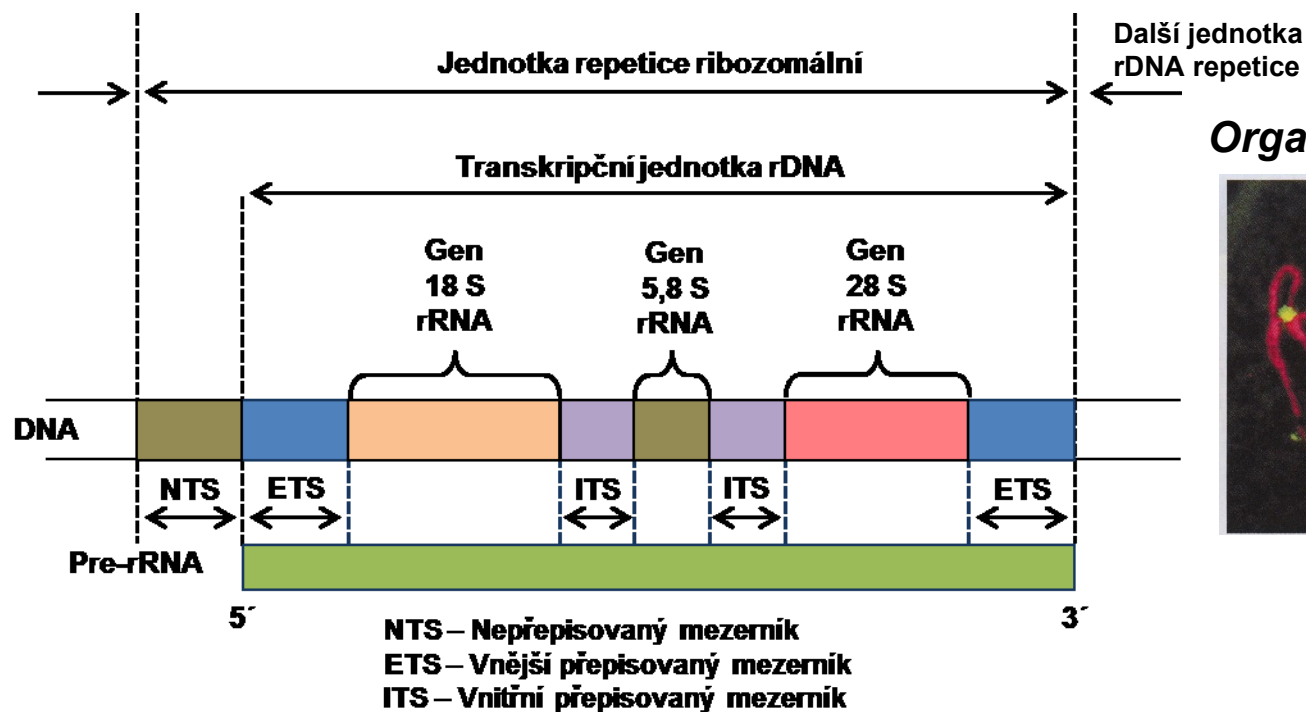
Zastoupení repetitivní DNA v rostlinných genomech



Geny rostlinného genomu

Geny složek genetického aparátu

Geny kódující 18S – 5,8S – 28S rRNA

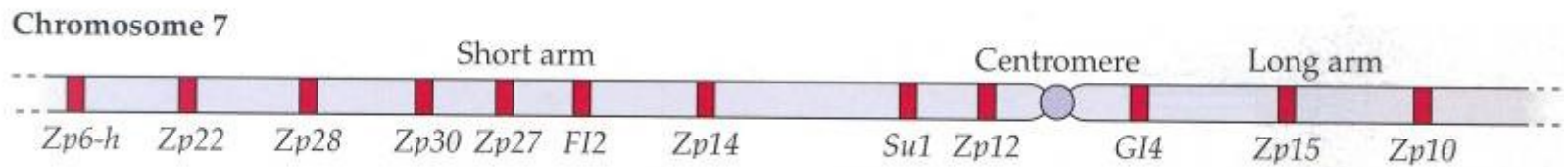


- Geny pro 5S rRNA
- Geny tRNA
- Geny pro histony
- 1 blok genů 10^3 až 10^4 kopií, 7800 až 185 tis. bp
- transkripce jako 1 prekurzor
- postranlačními úpravami 3 typy rRNA
- pomerančovník 125 kopií, hyacint 32 tis. kopií

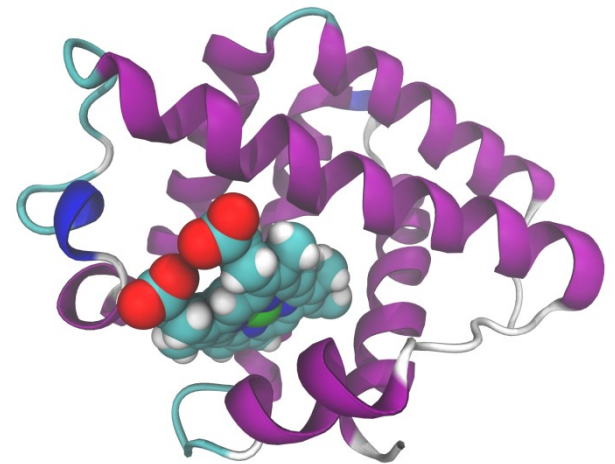
Geny rostlinného genomu

Geny kódující proteiny

- ➔ Geny zásobních proteinů semen a hlíz – albuminy, globuliny, prolaminy, gluteliny, leguminy, viciliny, zeiny

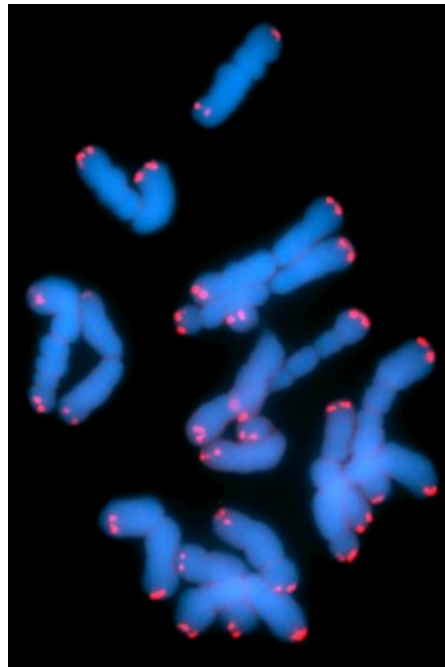


- ➔ Geny pro enzymy fotosyntézy
- ➔ Geny pro stresové proteiny
- ➔ Geny pro leghemoglobin



Telomery

- DNA/proteinové struktury zajišťující stabilitu chromozómových konců
- žito – 12 až 18 % genomu
- 7 bp (TTTAGGG)
- 6 bp (TTAGGG)



Centromery

- Primární konstrikce
- funkce při segregaci chromozomů
- rozpětí 30 až 140 bp
- celková délka až 1 Mb – kukuřice

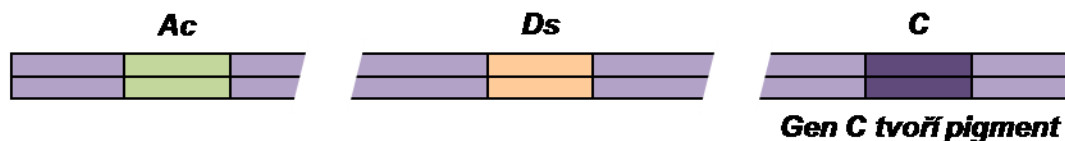


DNA transpozony (struktura a funkce)

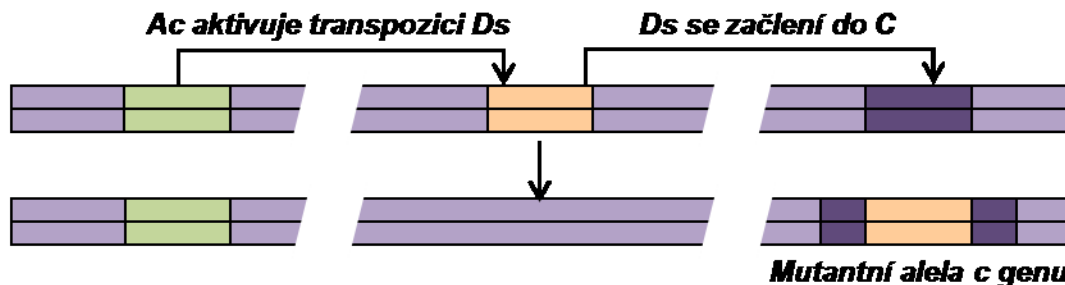
Kukuřice *Ac/Ds* (rodina transpozonů hAT)

➔ Mechanismus transpozice

A) Fialové zrna



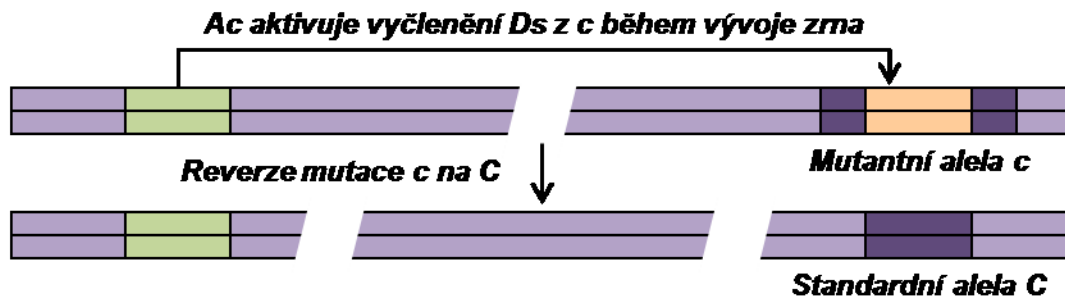
B) Bílé zrna



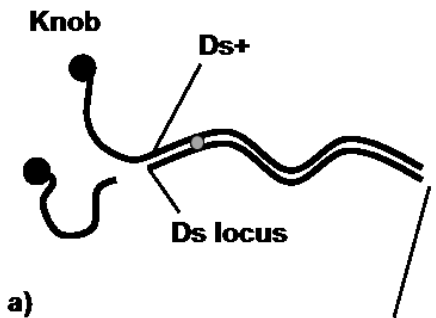
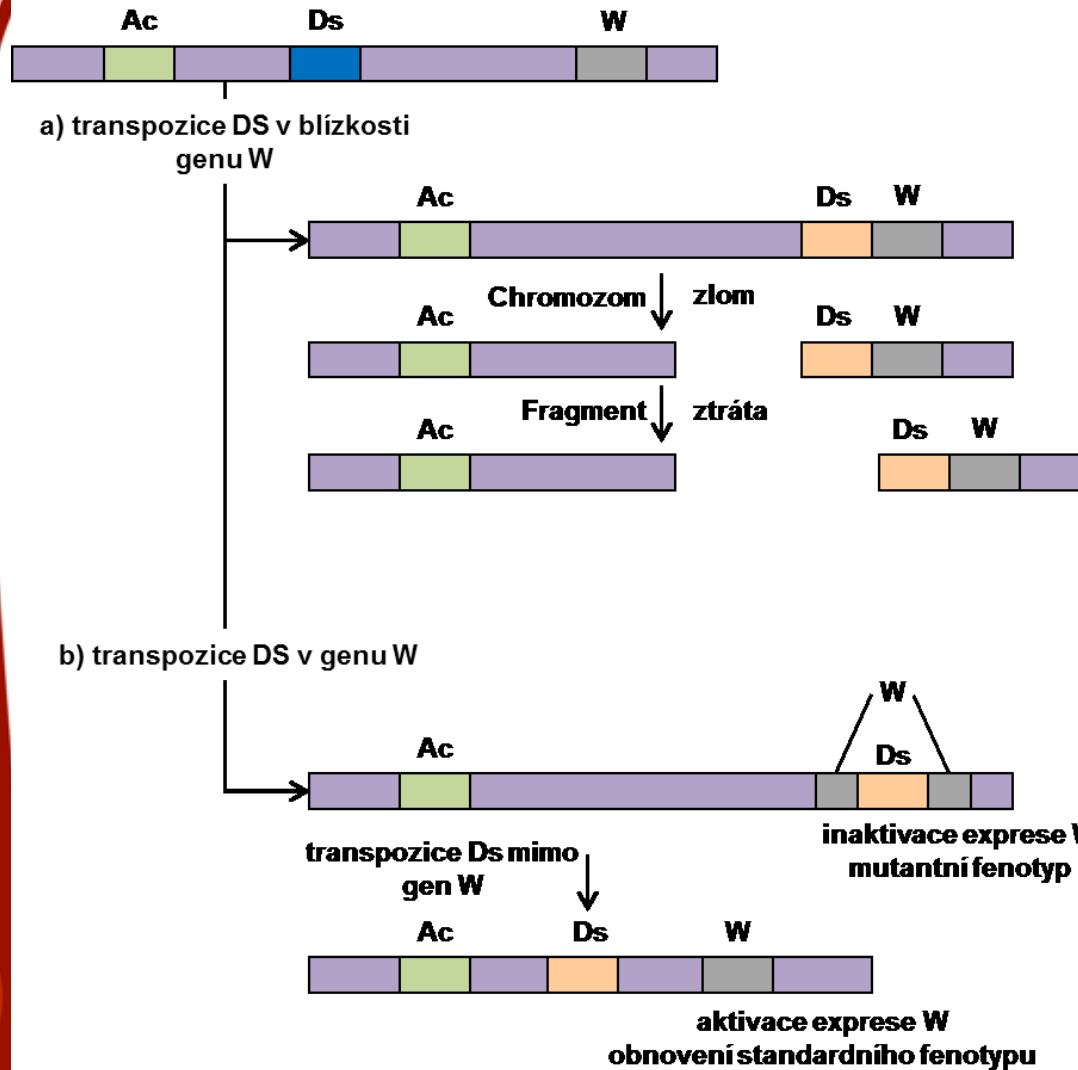
Gen *Colorless*
chromozom 9



C) Skvrnitá zrna

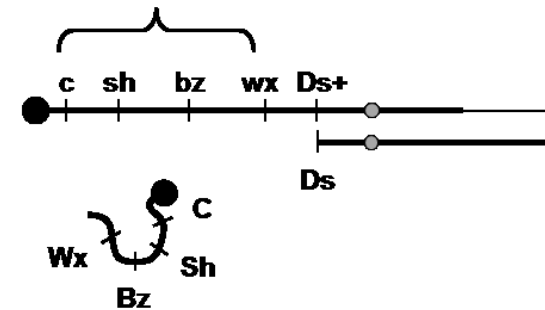


Příčiny nestability fenotypového projevu – shrnutí



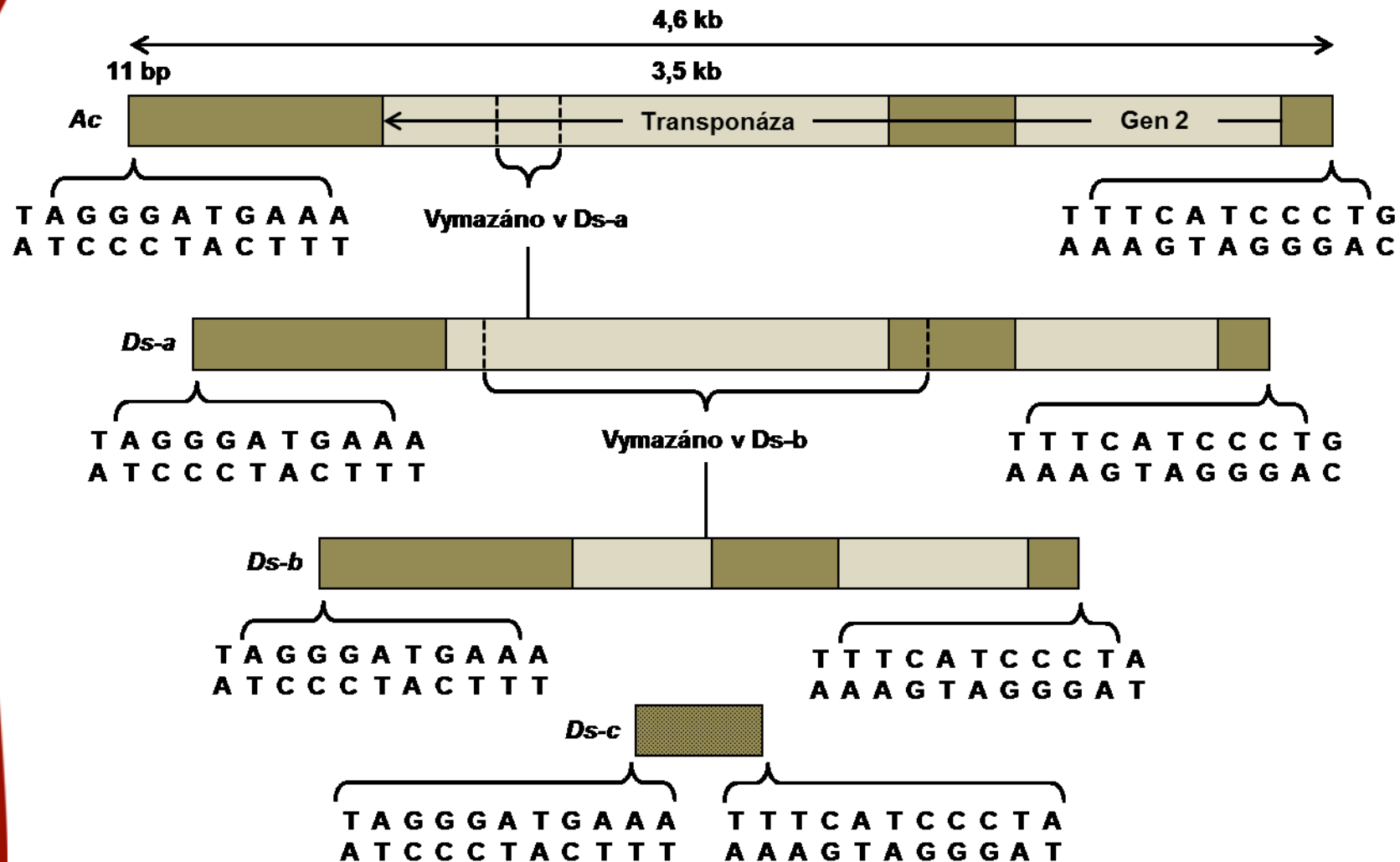
Pár homologických chromozomů 9 v meiozi (kukuřice)

Recesivní fenotyp se projeví

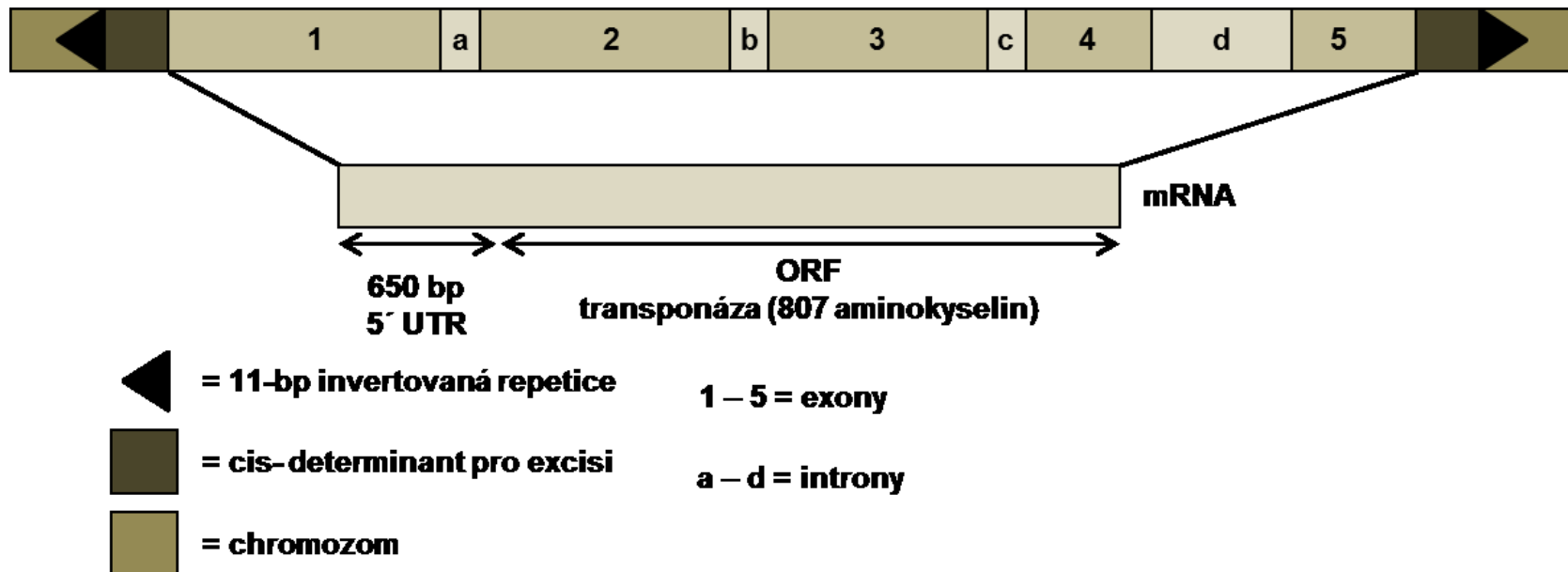


Výsledné pletivo: c (colourless)
sh (shrunken)
bz (brnoze)
wx (waxy)

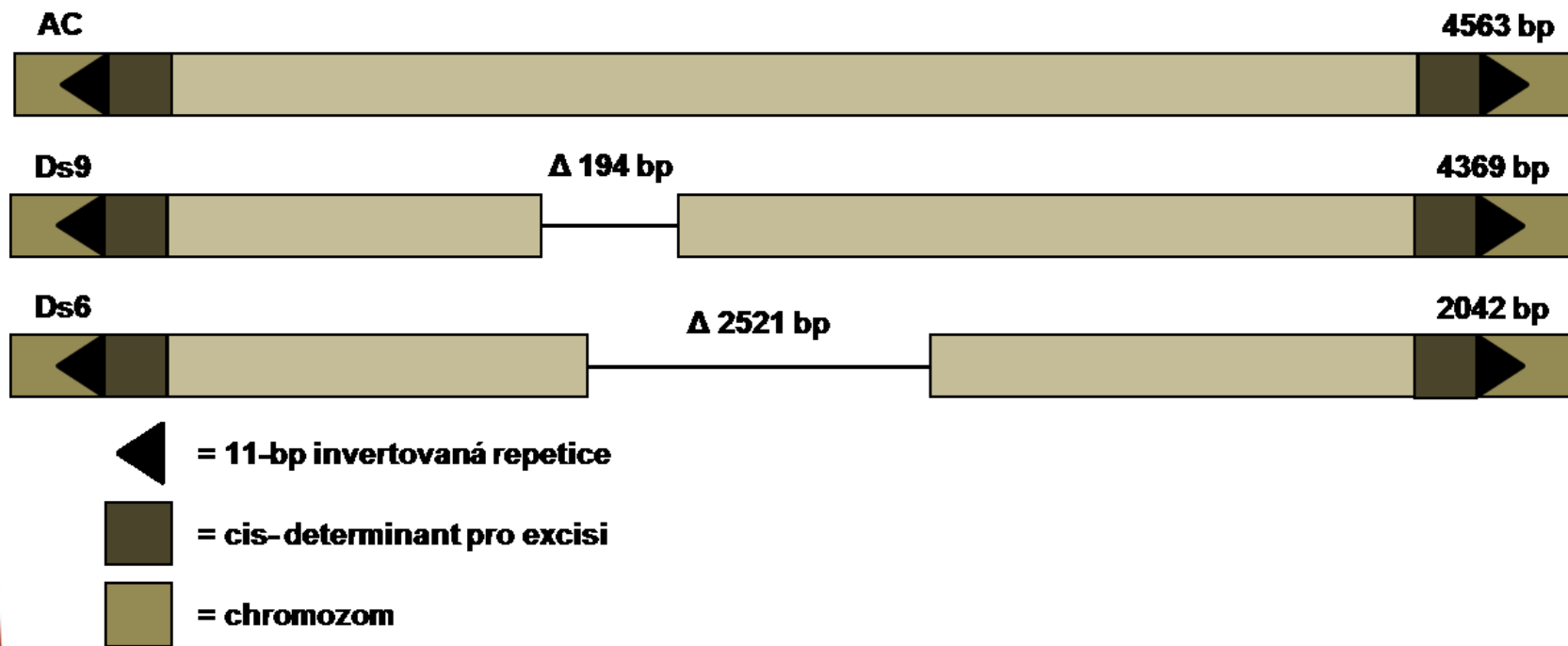
Struktura elementů Ac a Ds u kukuřice



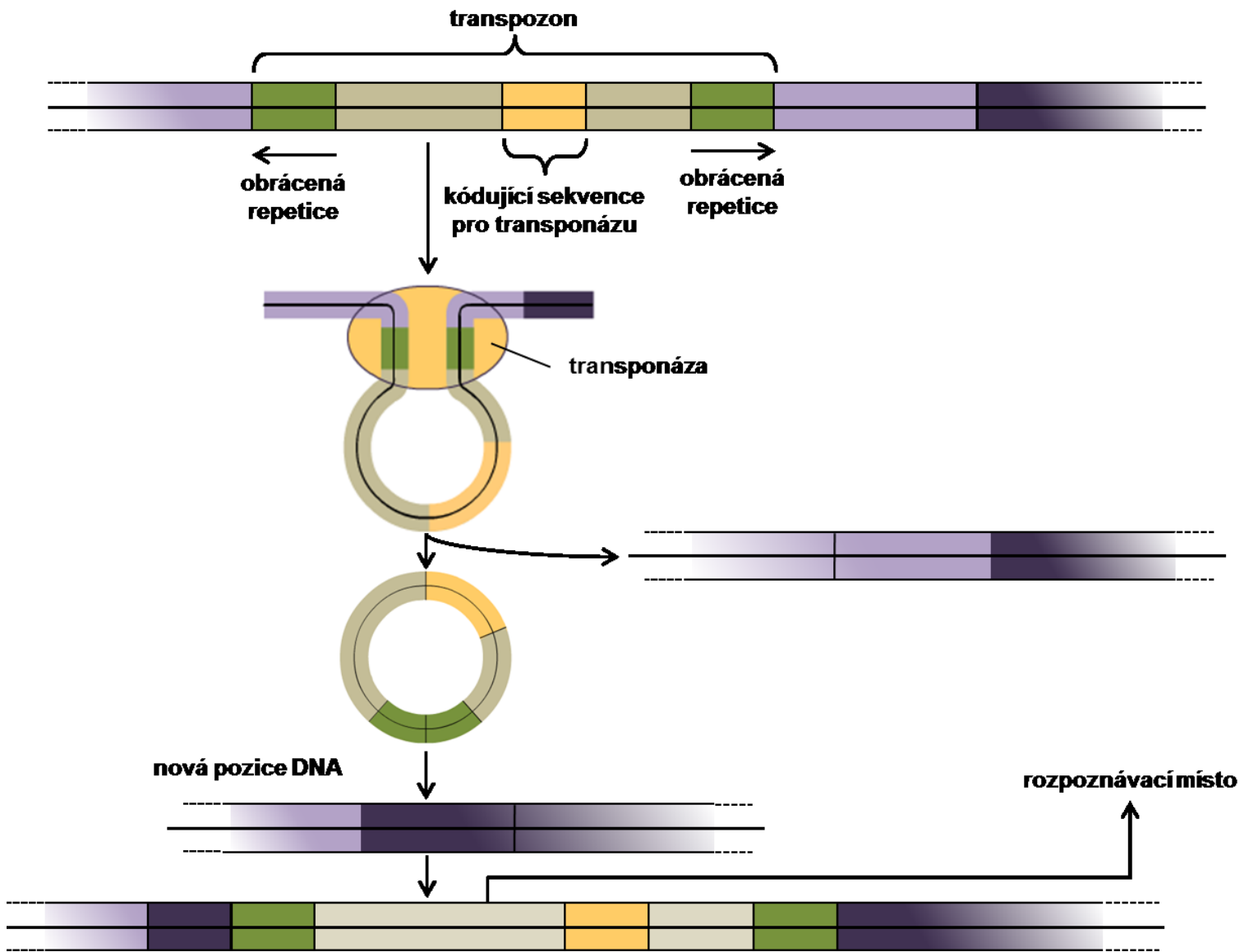
Struktura elementu Ac u kukuřice



Porovnání struktury elementu Ac s elementy Ds

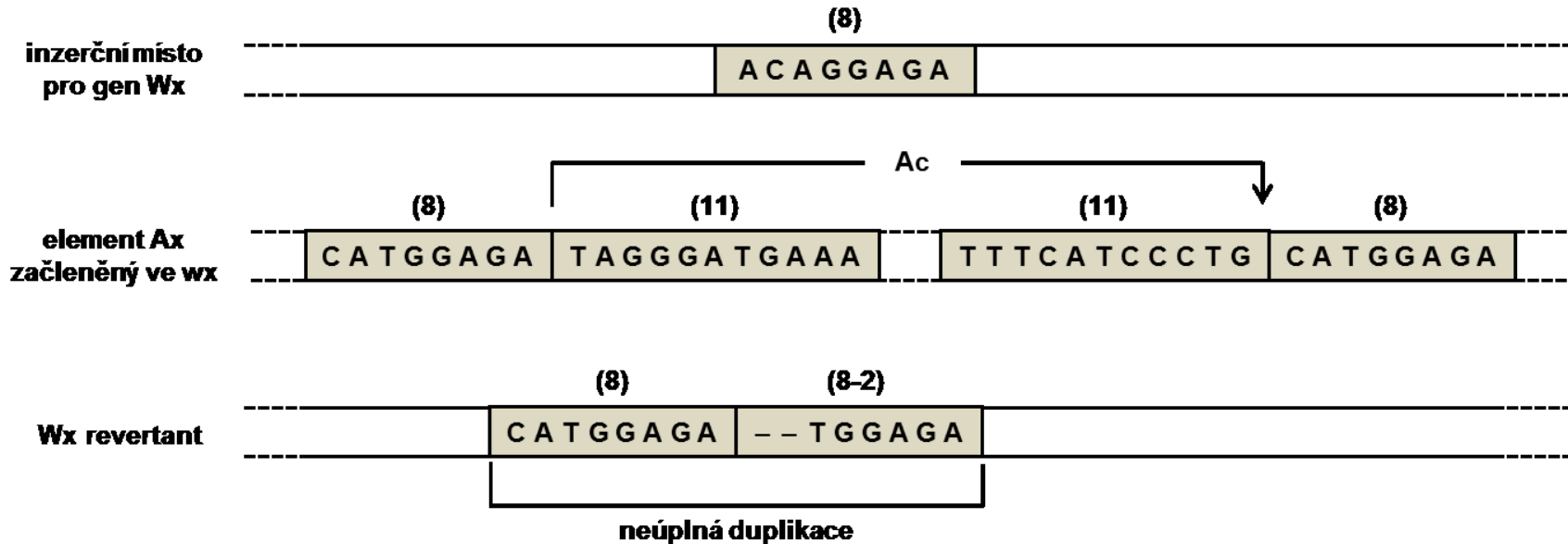


Mechanismus transpozice

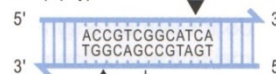


Cílové inzerční místo v genu Wx

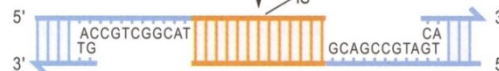
Přítomnost duplikace po excizi elementu Ac



jsou štěpeny v různých místech (šipky).



IS-element je začleněn do mezer vytvořené posunutými zlomy cílové DNA.



Mezery na obou stranách IS-elementu jsou zaplněny syntézou DNA, čímž se v cílovém místě vytvoří duplikované přímé sekvence.

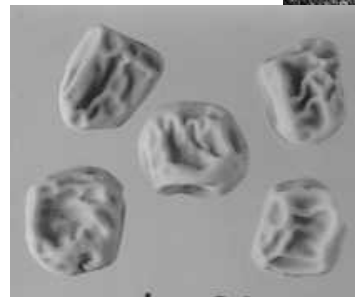
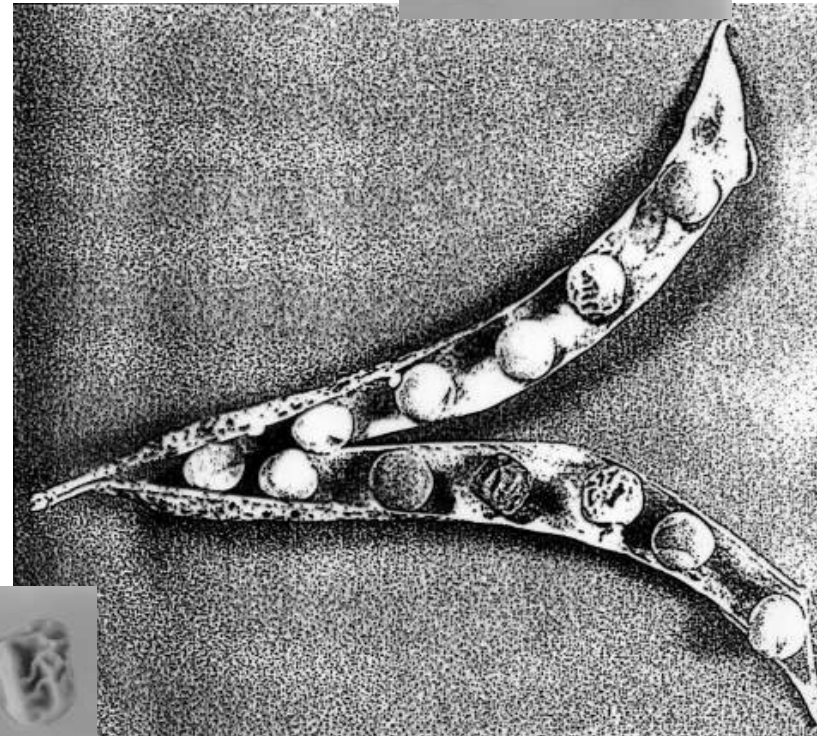


Kukuřice *Zea mays*

- Další identifikované transpozony
- $Sp/m = En/I$ (rodina transpozonů CACTA)
- Mu (rodina TE Mutator)

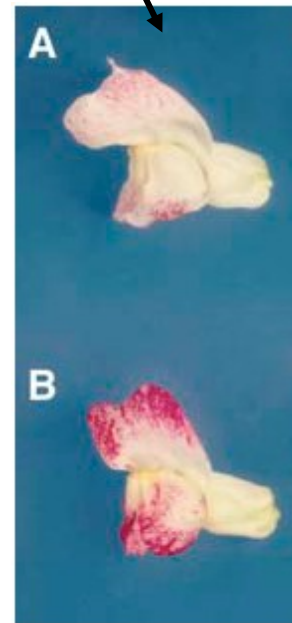
Hrách *Pisum sativum*

- Gen *RUGOSUS*
- Produkt genu enzym
- SBEI (Starch Branching Enzyme)



Hledík *Antirrhinum majus* (rodina transpozonů *hAT*)

- Transpozony v genech *pallida*, *nivea*
 - *Tam1* bílé pozadí, červené skvrny
 - *Tam2* bílé
 - *Tam3* slonovinové pozadí, červené skvrny
 - *Tam7* regulační gen *Deficiens*

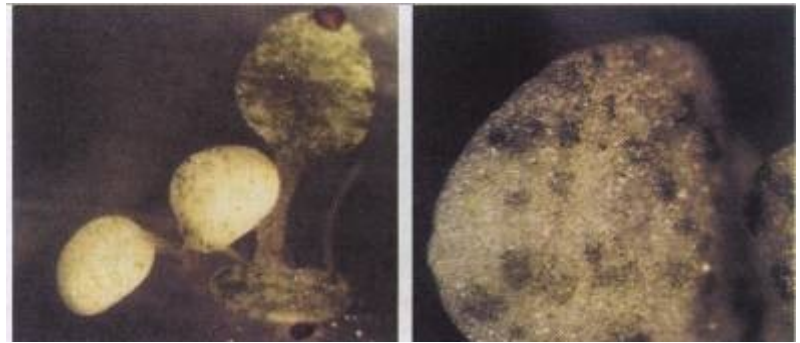


Heterologní transpozice

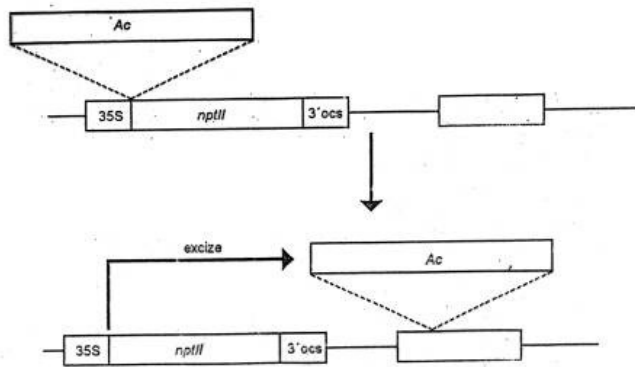
- *Arabidopsis*, rýže, tabák, rajče, petúnie, len, mrkev, brambor, sója

Význam a využití transpozonů

- ➔ Transpozonová inzerční mutageneze
- ➔ Transpozonový tagging

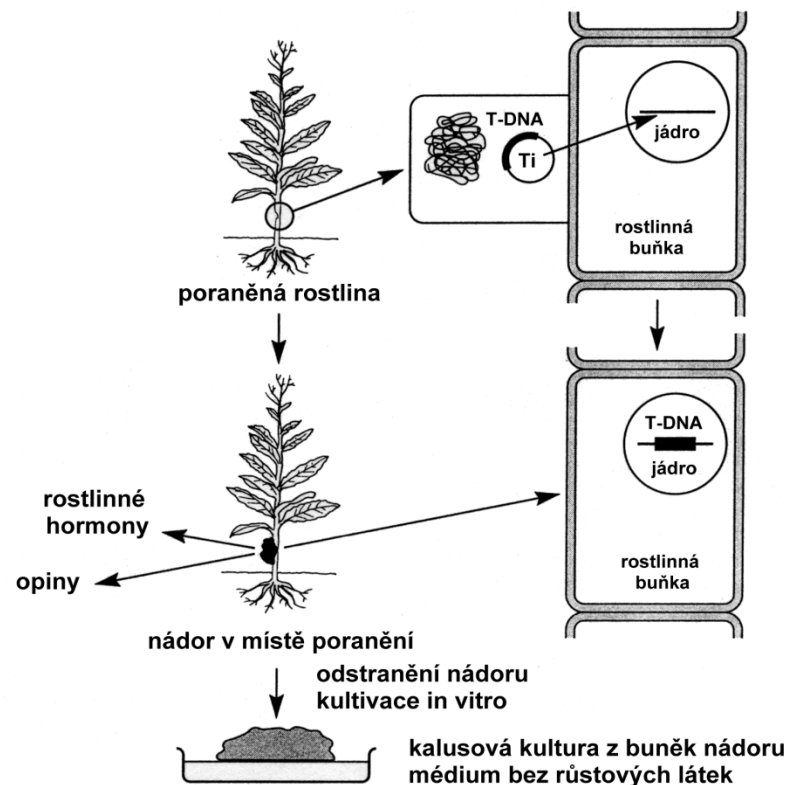
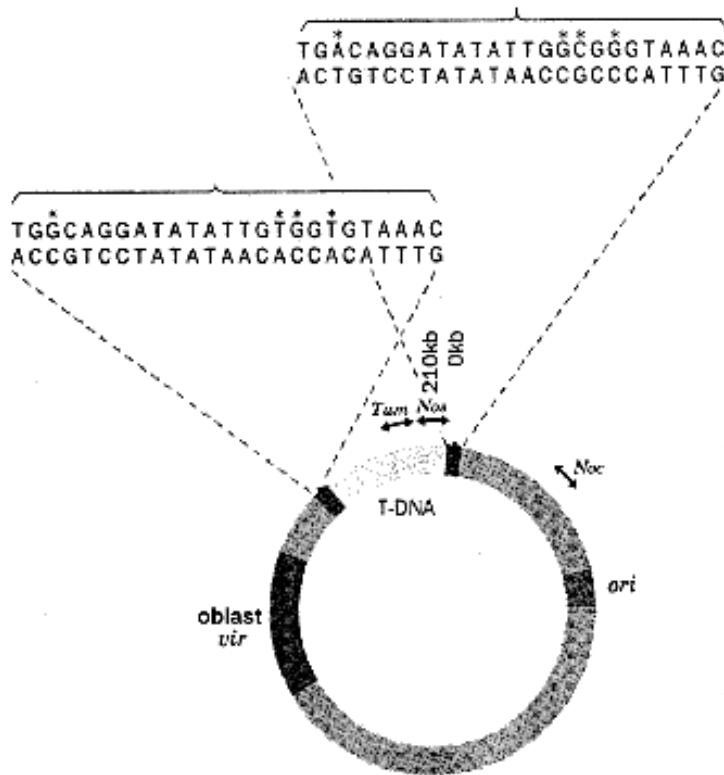


Využití elementu Ac



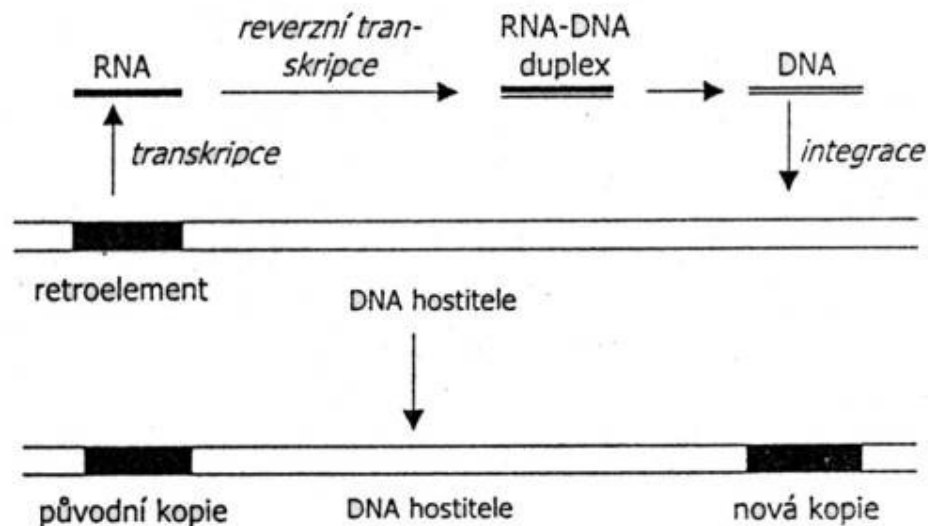
- ➔ Transformace *A. thaliana*
 - gen pro rezistenci k streptomycinu inaktivován Ac. Po somatickém vyčlenění Ac – aktivace genu – zelené sektory.

Ti plazmid *Agrobacterium tumefaciens* a infekce rostlinné buňky

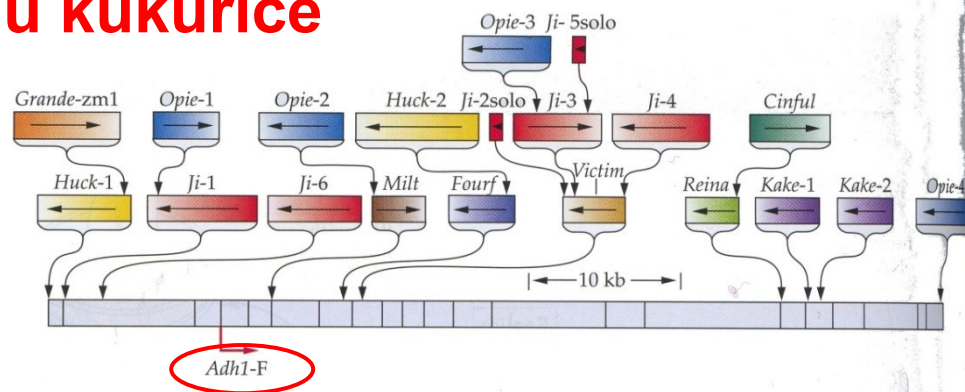


Retroelementy

Schéma retropozice

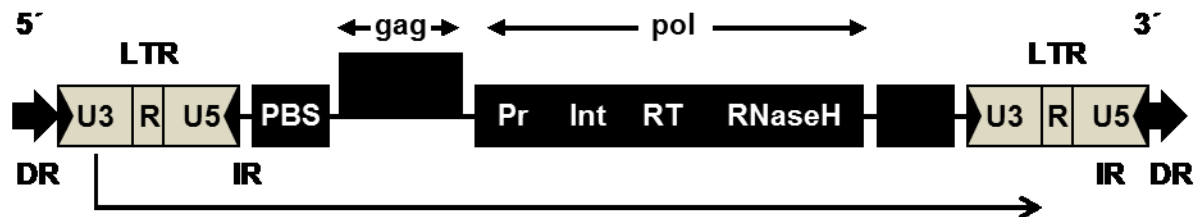


Gen *Adh* u kukuřice

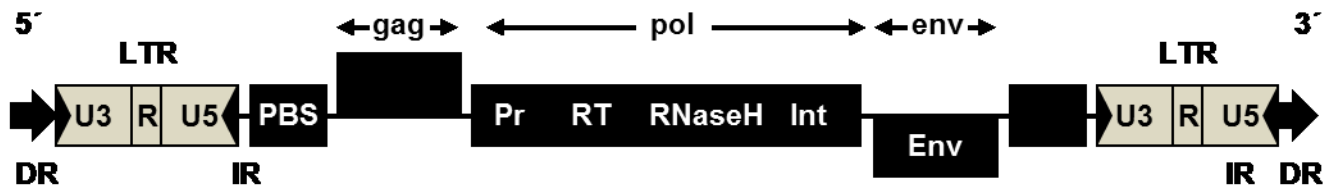


Srovnání struktury jednotlivých skupin retroelementů

(a) Retrotranspozon Tyl-copia



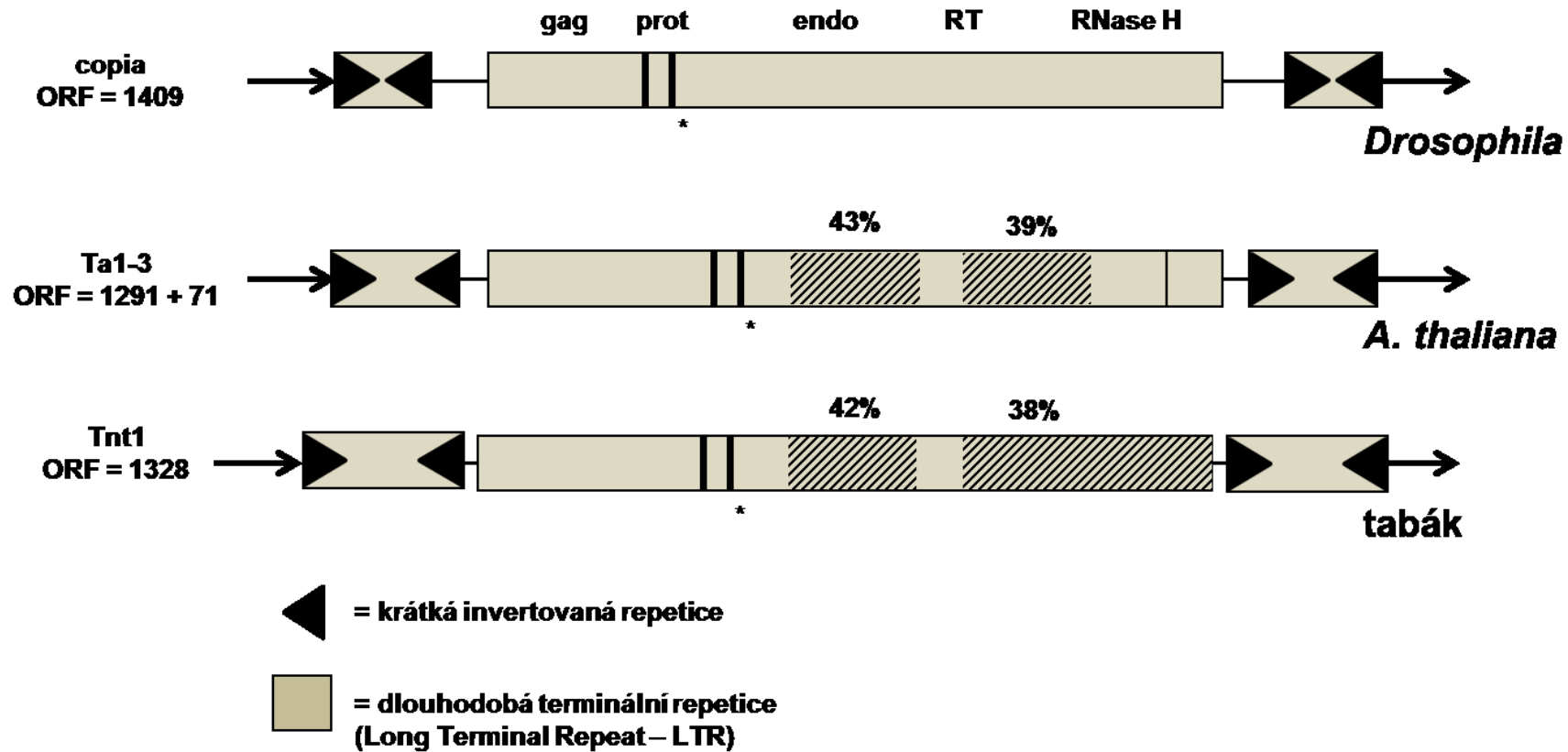
(b) Retrotranspozon gypsy a retroviry



(c) Retropozony bez LTR



Struktura retrotranspozonů typu *copia*



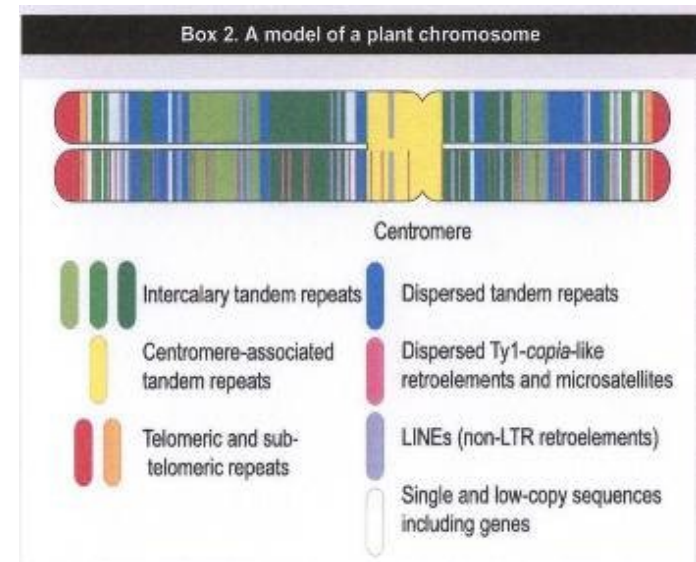
Výskyt retrotranspozonů a retropozonů

➔ Výskyt retrotranspozonů

– Tabák	<i>Tnt1</i>	počet kopií 100
– Huseníček	<i>Ta1 copia</i>	100
– Kukuřice	<i>Ty1 copia</i>	100 tis. 50–80 % genomu
– Rýže	<i>Tos17</i>	
– Bob setý	<i>Ty1 copia</i>	1 mil.
– Hrách setý	<i>Ty3 gypsy</i>	5 tis.

➔ Výskyt retropozonů

- LINE – long interspersed nuclear element
- kukuřice, rýže, pšenice, huseníček, tabák
- SINE – short interspersed nuclear element



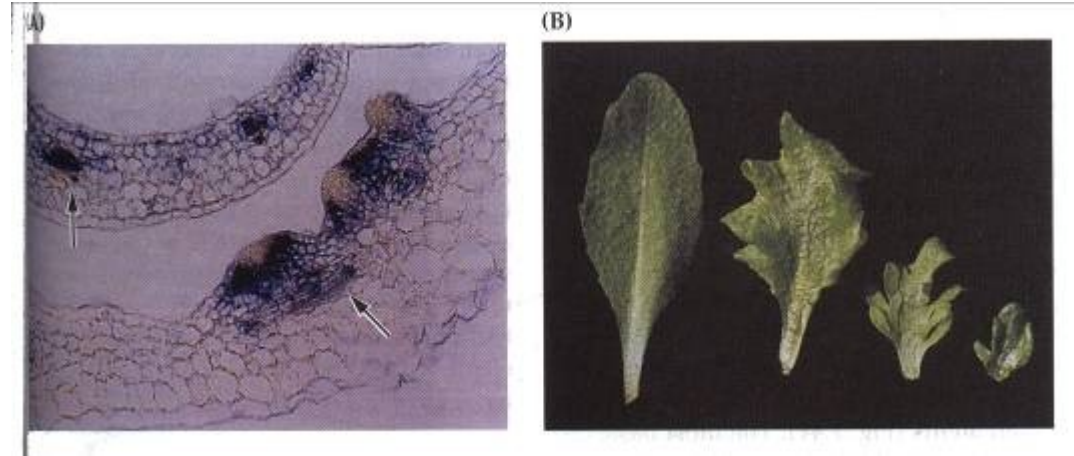
Regulace exprese genů u rostlin

- ➔ **Podle vývojového programu**
 - geny jsou aktivní pouze v určitých pletivech a orgánech – orgánová a buněčná regulace
- ➔ **Vlivy prostředí**
 - geny jsou aktivní na základě určitého podnětu

Orgánová a buněčná regulace



➔ ***Knotted1*** kukuřice



➔ ***Knat1*** *Arabidopsis*

Rostlinné hormony

- ➔ **Auxiny** – buněčné dělení, prodlužování a diferenciaci buněk
- ➔ **Cytokininy** – buněčné dělení, růst buněk, oddalují stárnutí buněk, otevírání průduchů
- ➔ **Gibereliny** – růst rostlin, regulace klíčení semen a kvetení
- ➔ **Kyselina abscisová** – regulace vývoje a klíčení semen, funkce průduchů, odpověď na vodní deficit
- ➔ **Etylén** – klíčení semen, růst klíčnicích rostlin, odpověď na poranění, zrání plodů

Podněty z prostředí

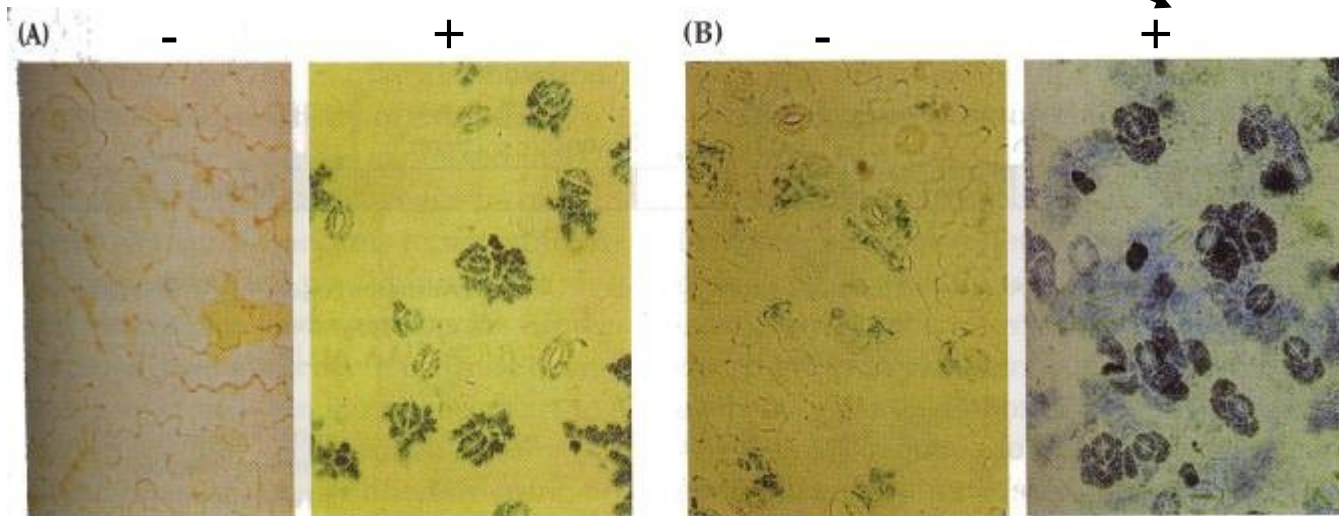
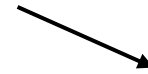
➤ Charakterizace sekvencí potřebných pro expresi genu

➤ Reportér *GUS*

Sucho



ABA



Transgenní *A. thaliana*

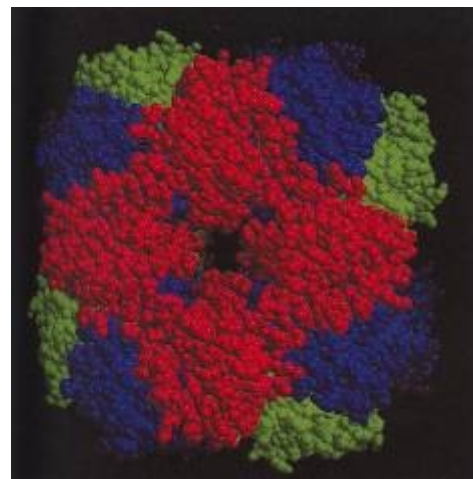
➤ Expres transgenu responzivního na podněty sucha – fúze promotoru genu s reportérovým genem *GUS* (detekovaný signál v průduchách).

➤ Expres tohoto transgenu je indukována také ABA, která je součástí dráhy přenosu signálu z jádra do průduchů v podmínkách sucha.

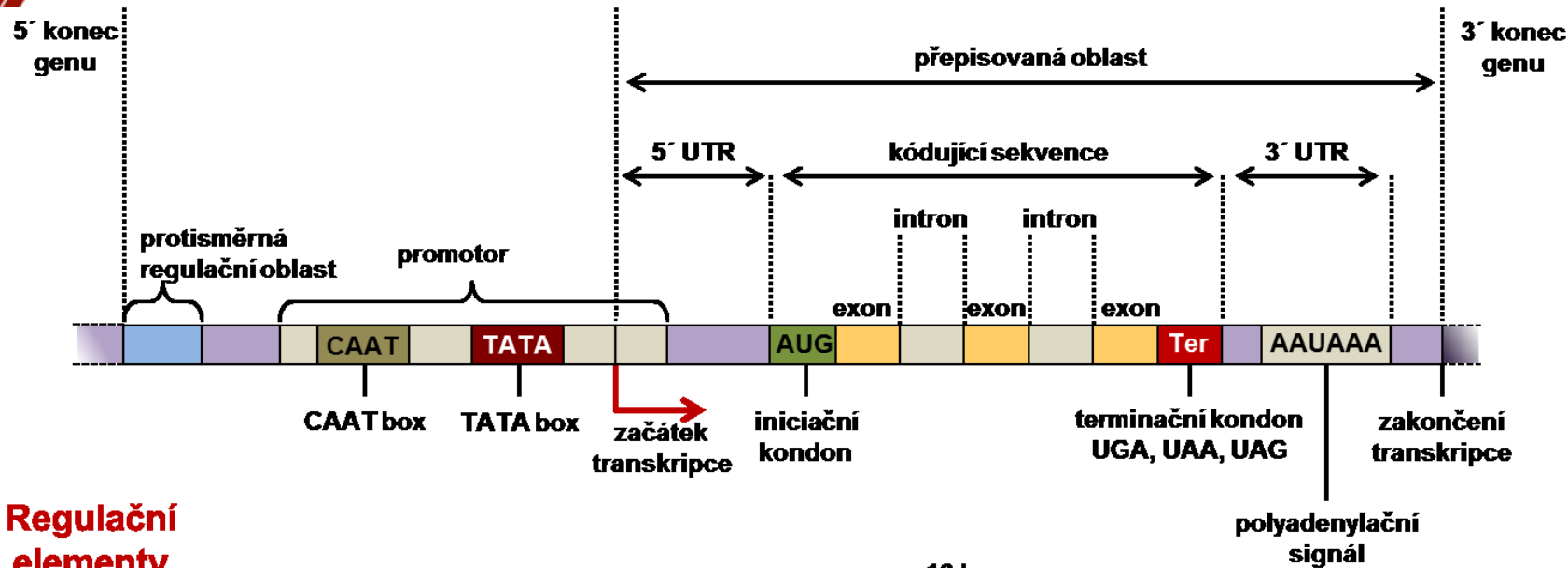
Světlo

- ➔ **Funkce:** absorpce světla cytoplazmatickým proteinem fytochromem
- ➔ Konformační změny fytochromu – biologická aktivace a změny v dalších proteinech, některé z nich aktivují gen *rbcS*
- ➔ Aktivace genů pro klíčové enzymy fotosyntézy

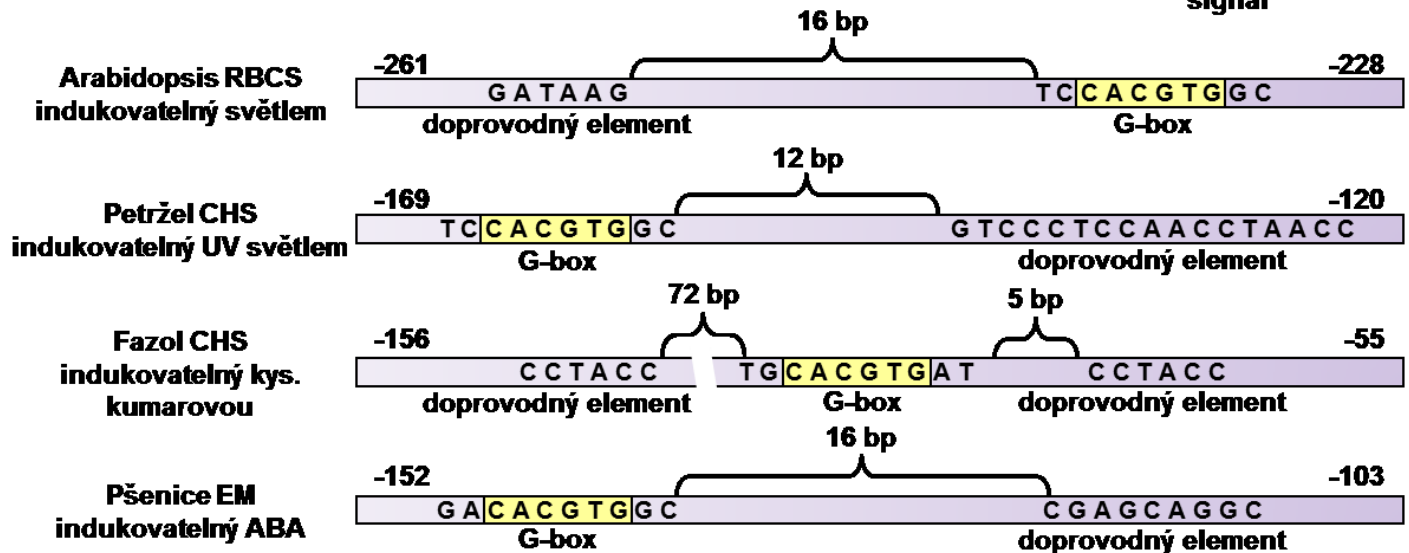
- ➔ RBC
 - Enzym ribulózo-1,5-bifosfát karboxyláza
 - Rubisco
 - Multiproteinový komplex
 - Geny *rbcS*, *rbcl*



Molekulární řízení transkripce genů

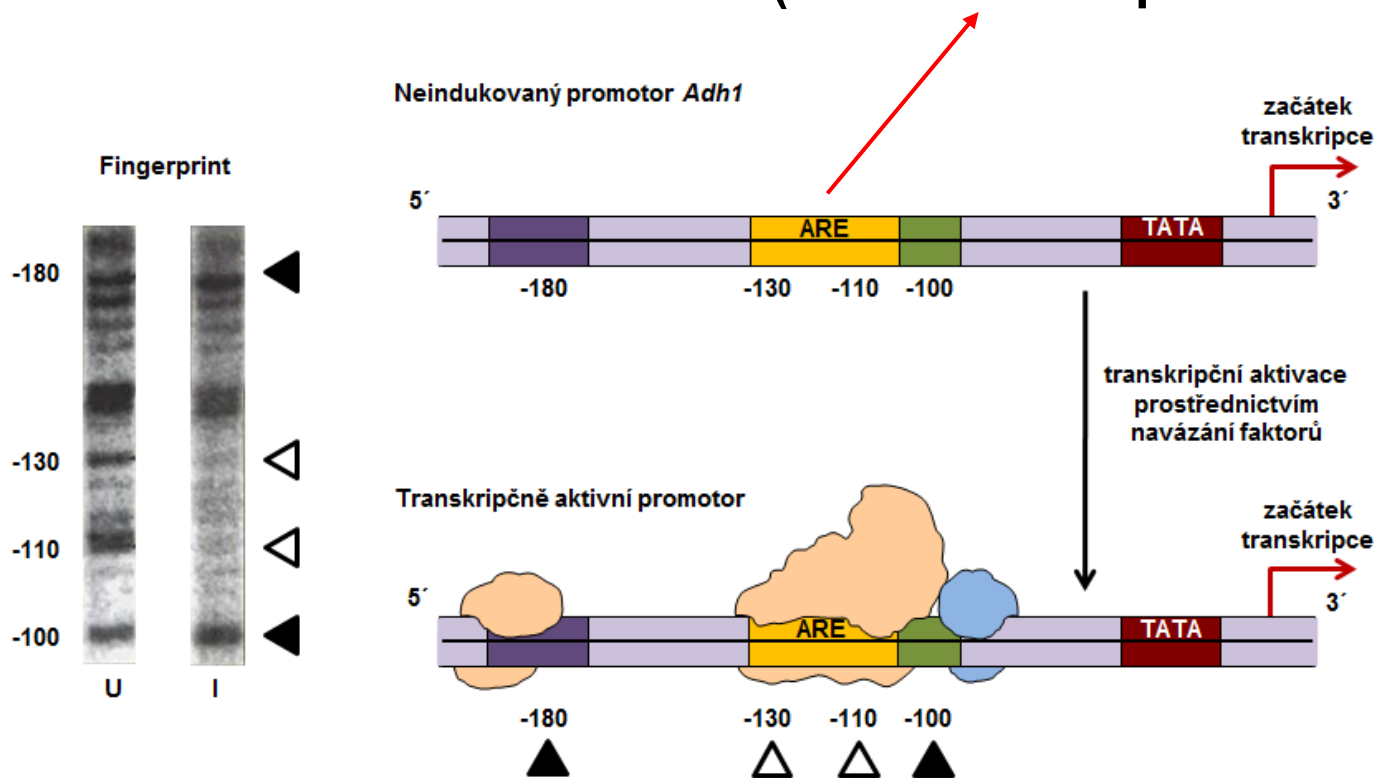


Regulační elementy promotorů rostlin



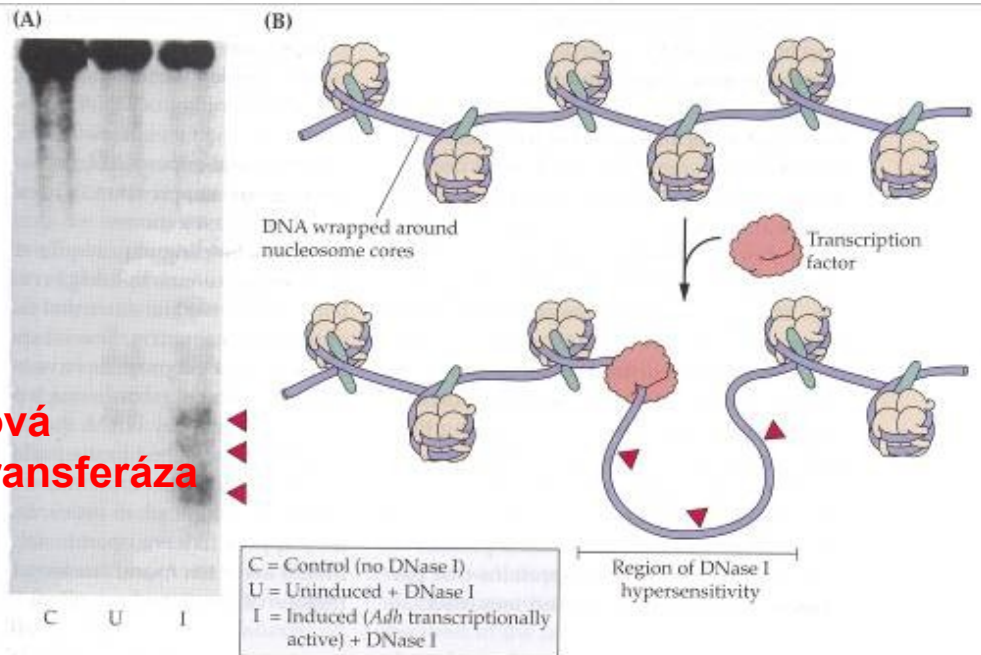
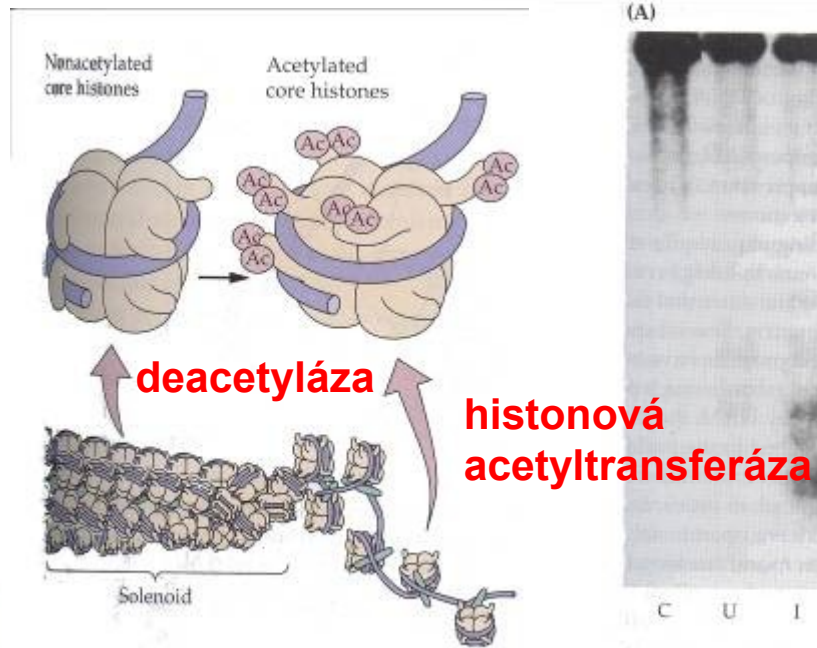
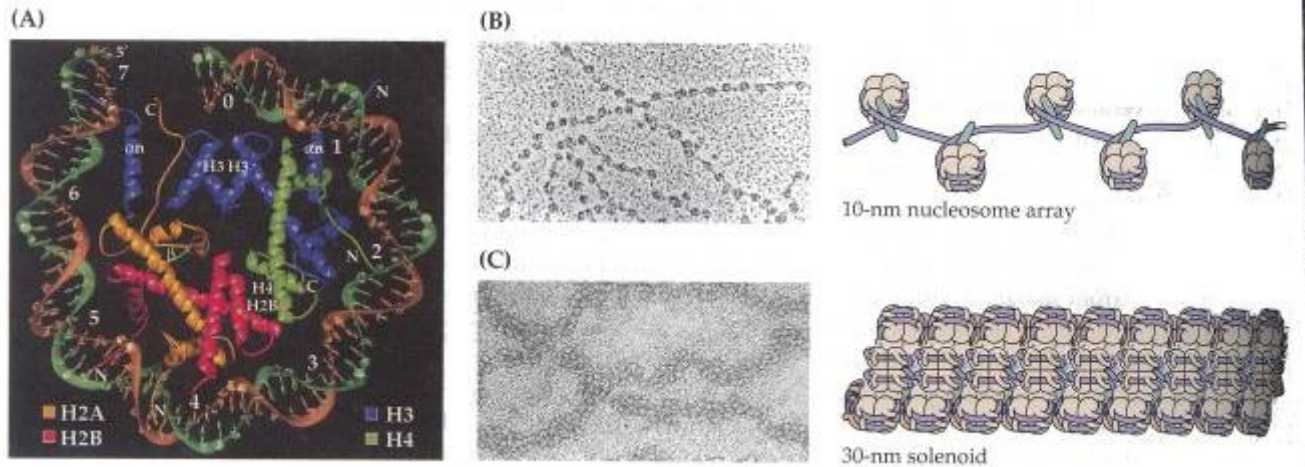
- Několik cis-elementů promotoru genu *Adh1* kukuřice
- Regulují transkripci genu jako odpověď na nedostatek kyslíku v prostředí

Element ARE (anaerobic response element)



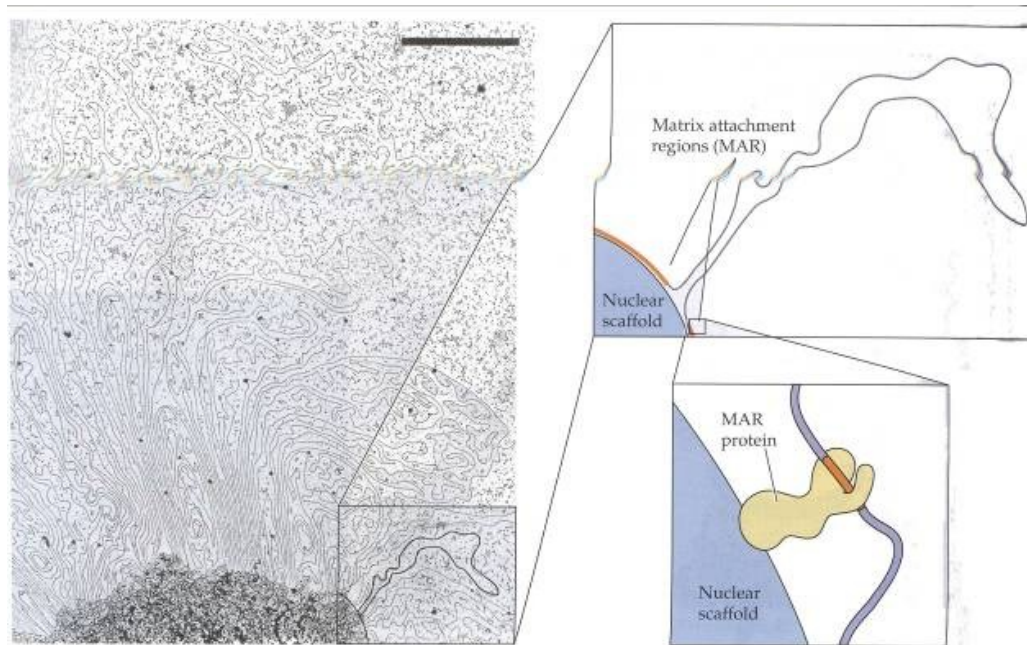
Transkripční faktory

Funkce chromatinu v genové expresi

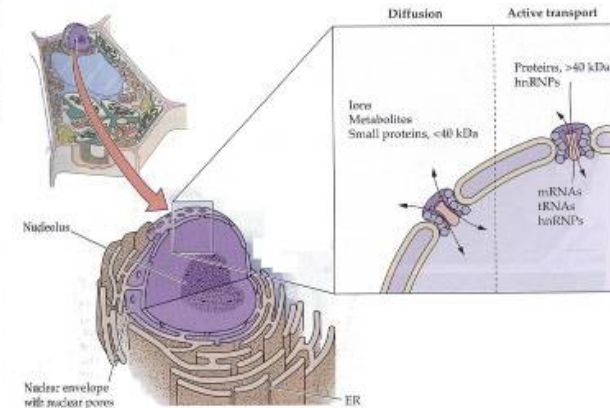


Matrix attachment regions

- Smyčkové domény chromatinu 5 až 200 kb
- MAR bohaté na motiv AT (200 až 1000 bp)
- Funkce ve strukturní organizaci genomu
- Usnadňují transkripci genů nebo skupin genů prostřednictvím tvorby méně kondenzované struktury chromatinu



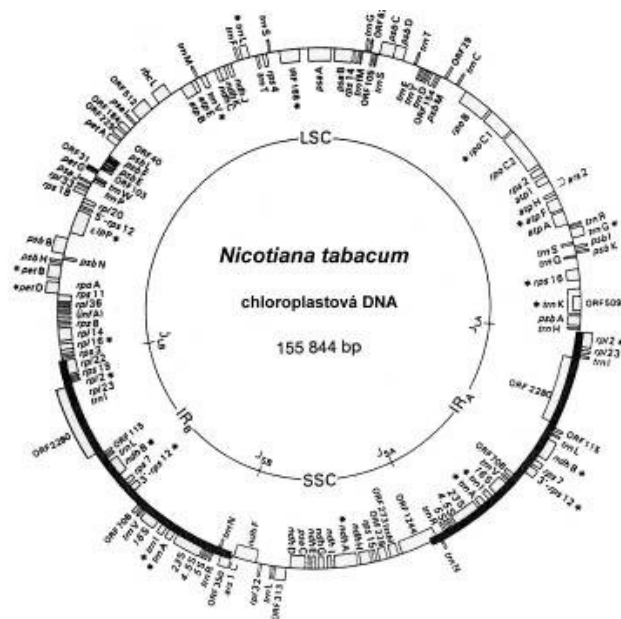
MAR obklopují kódující oblasti genů, jsou spojeny s regulačními elementy



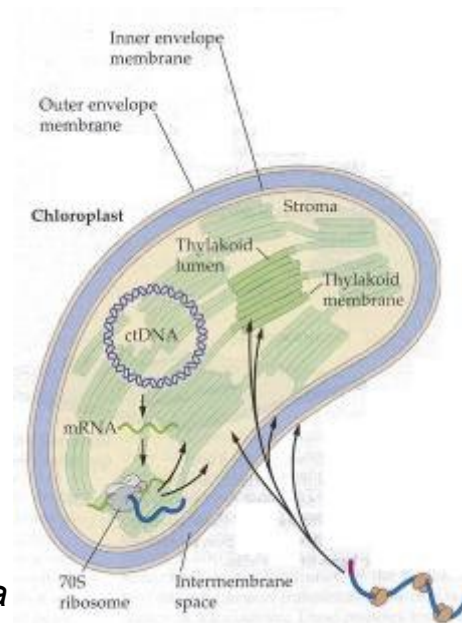
Mimojaderný genom

Chloroplastová DNA (cpDNA)

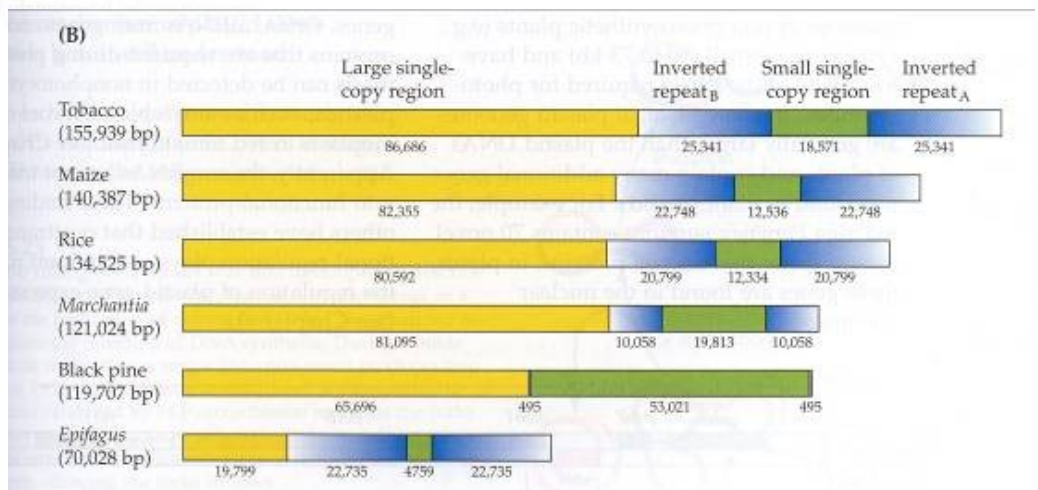
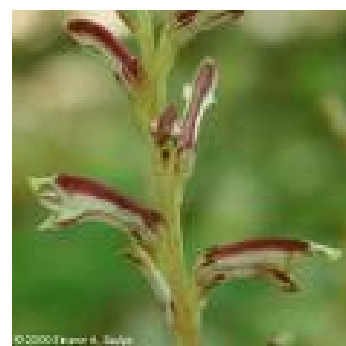
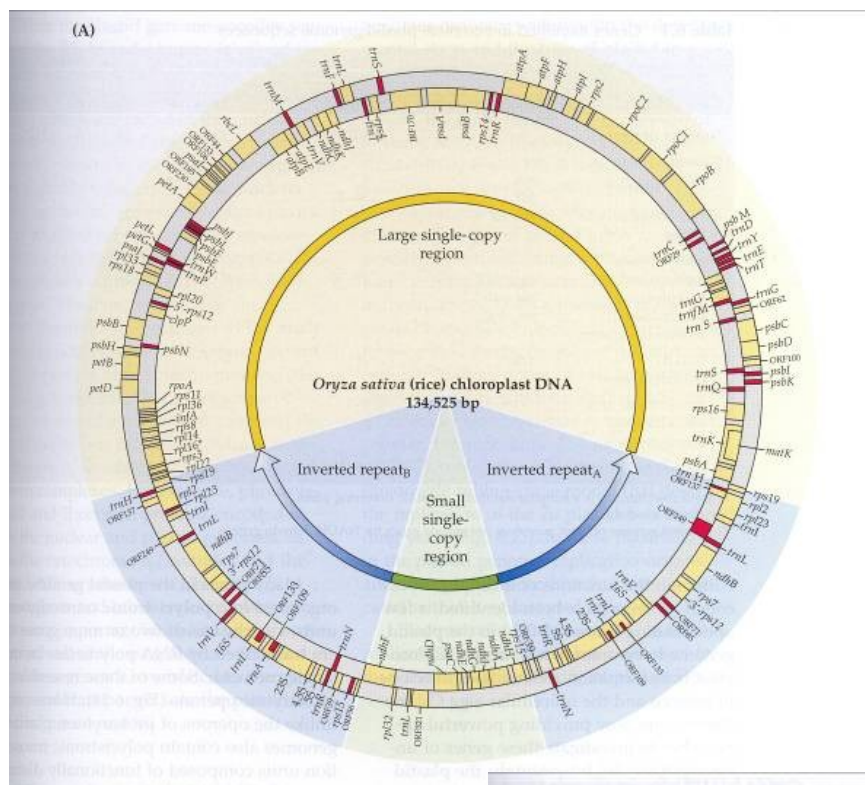
- Dvouřetězcový kružnicový chromozom
- Lokalizace – chloroplasty v mnoha kopiích
- Velikost 120 až 160 kb
- Struktura



- Sekvenovaná cpDNA
 - *Nicotiana tabacum*
 - *Marchantia polymorpha* (porostnice mnohotvárná)
 - *Oryza sativa*
 - *Triticum aestivum*
 - *Zea mays*
 - *Pinus thumbergii*
 - *Spinacia oleracea*
 - *Medicago truncatula*
 - *Lotus japonicus*



Epifagus



Organizace cpDNA

Table 6.1 Genes identified in complete plastid genome sequences

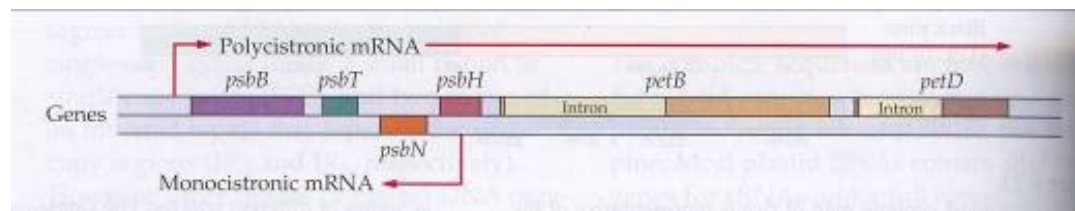
Gene products	Gene acronym	Plants		Algae	
		Photosynthetic plants	<i>Epifagus</i> ^a	<i>Euglena</i>	<i>Porphyra</i> ^b
Number of genes		101-150	40	82	182
Genetic system					
rRNA	<i>rrn</i>	4	4	3	3
tRNA	<i>trn</i>	30-32	17	27	35
Ribosomal protein	<i>rps, rpl</i>	20-21	15	21	46
Other		5-6	2	4	18
Photosynthesis					
Rubisco and complexes of the thylakoid membrane system	e.g., <i>rbcl</i> , <i>psa, psb, pet, atp</i>	29-30	0	26	40
NADH dehydrogenase ^c	<i>ndh</i>	11	0	0	0
Biosynthesis and miscellaneous functions		1-5	2	1	40
Number of introns		18-21	6	155	0

^a*Epifagus* (beechdrops) is a nonphotosynthetic, parasitic flowering plant.

^b*Porphyra* is a red alga.

^cThe plastid genome of black pine does not encode genes for NADH dehydrogenase.

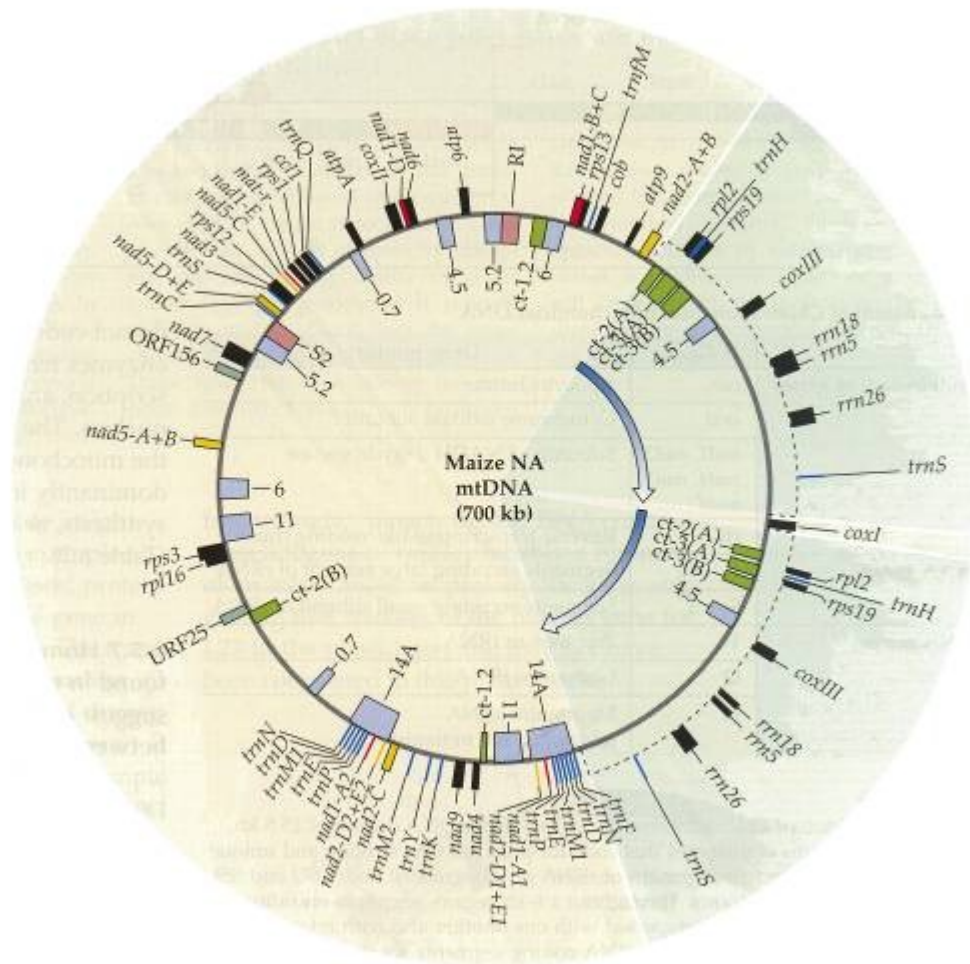
- ➔ Uspořádání genů chloroplastového operonu a transkripce



Koordinace buněčných kompartmentů

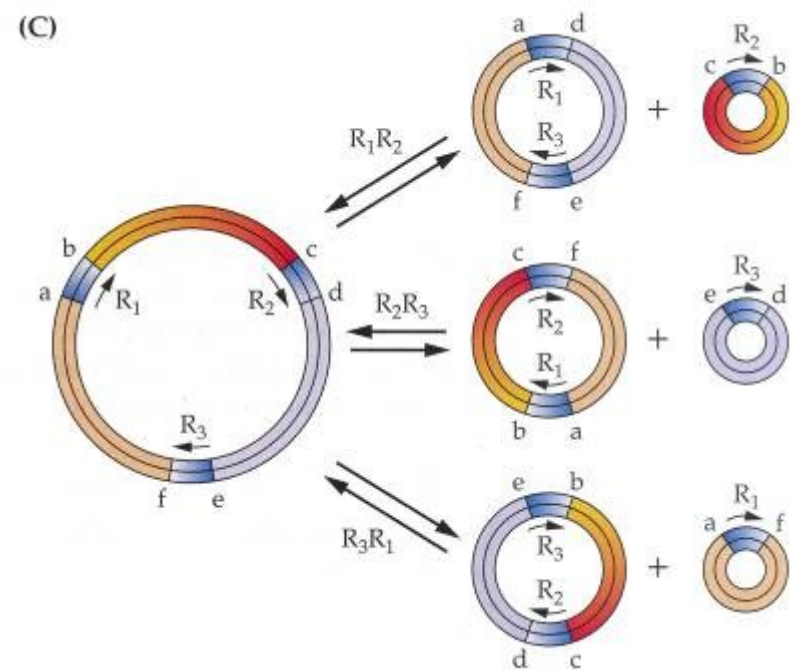
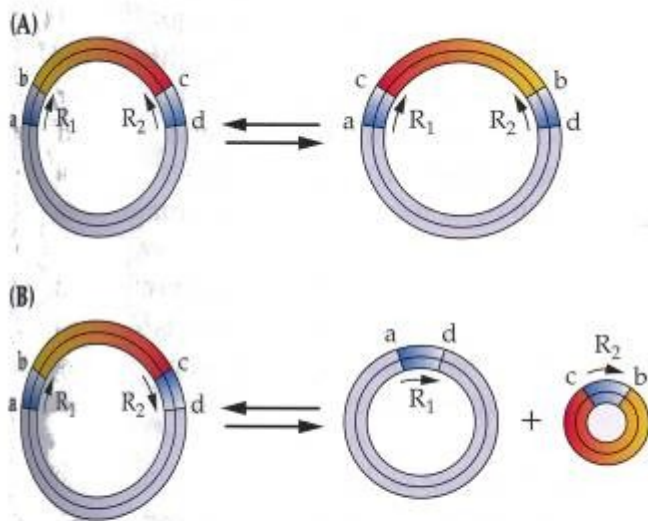
Mitochondriální DNA (mt DNA)

- ➔ Několik subgenomových kružnicových struktur
- ➔ Velikost
- ➔ Lokalizace
- ➔ Struktura

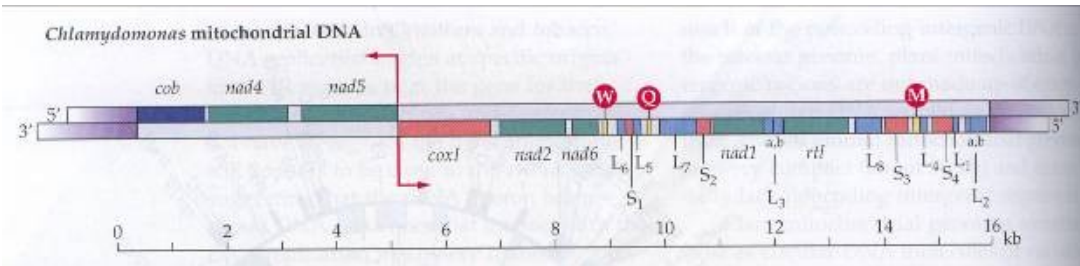


Subgenomové struktury a jejich tvorba

➔ Tři typy tvorby subgenomových struktur



Geny mt genomu



➤ První osekvenovaná mt DNA

➤ Rýže

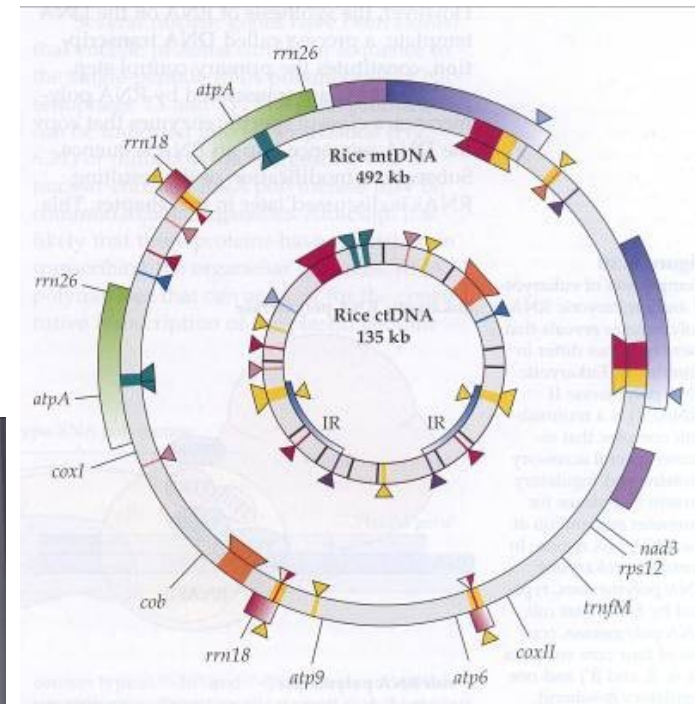
- cp DNA
- mt DNA

Gene content of *Chlamydomonas* mitochondrial DNA

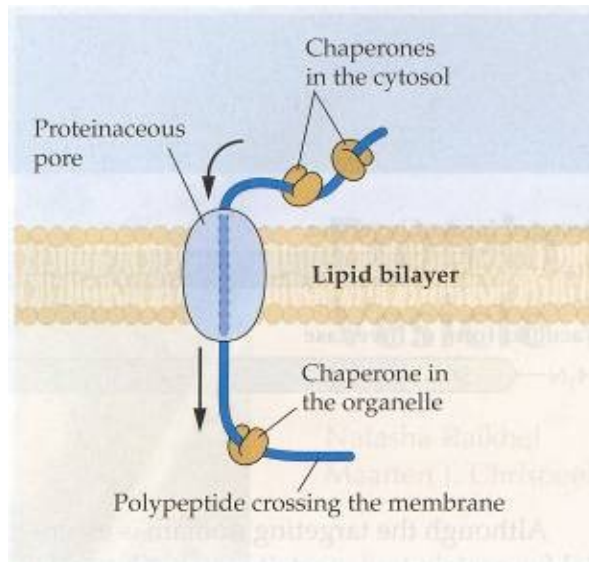
	Gene	Gene product
Protein-coding genes	<i>cob</i>	Apocytochrome
	<i>coxI</i>	Cytochrome oxidase subunit I
	<i>nad1</i> , <i>nad2</i> , <i>nad4</i> , <i>nad5</i> , <i>nad6</i>	Subunits of NADH dehydrogenase
	<i>rnl</i>	Reverse transcriptase-like reading frame
	<i>L</i> ₁ - <i>L</i> ₈	Segments encoding large subunit of rRNA
rRNA genes	<i>S</i> ₁ - <i>S</i> ₄	Segments encoding small subunit of rRNA
	W	Tryptophan tRNA
tRNA genes	Q	Glutamine tRNA
	M	Methionine tRNA (elongator, not initiator)

Table 6.2 Types of genes identified in the maize mitochondrial genome

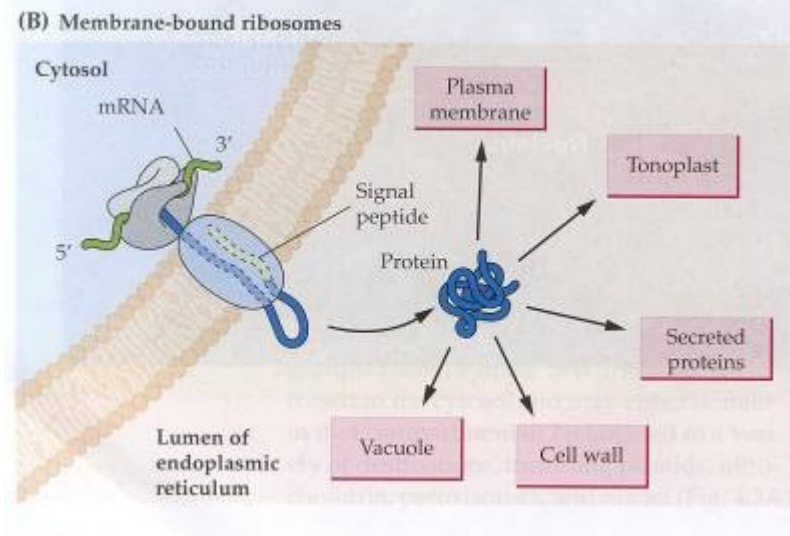
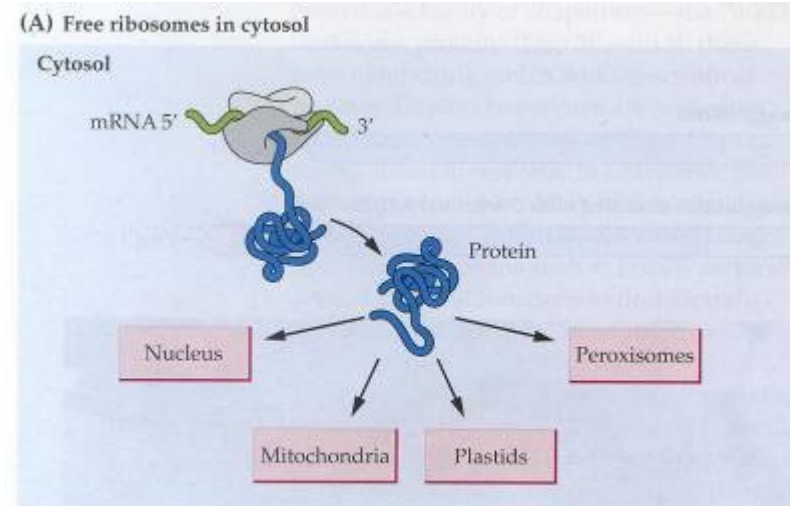
Gene products	Gene abbreviations	Function
rRNAs	<i>rrn18</i> , <i>rrn26</i> , <i>rrn5</i>	Protein synthesis
tRNAs	<i>trn</i>	Protein synthesis
Ribosomal proteins	<i>rps</i> , <i>rpl</i>	Protein synthesis
NADH dehydrogenase	<i>nad</i>	Respiratory electron transport
Cytochrome c oxidase	<i>cox</i>	Respiratory electron transport
Apocytochrome	<i>cob</i>	Respiratory electron transport
F ₁ F ₀ -ATPase proteins	<i>atp</i>	ATP synthesis



Transport proteinů do organel

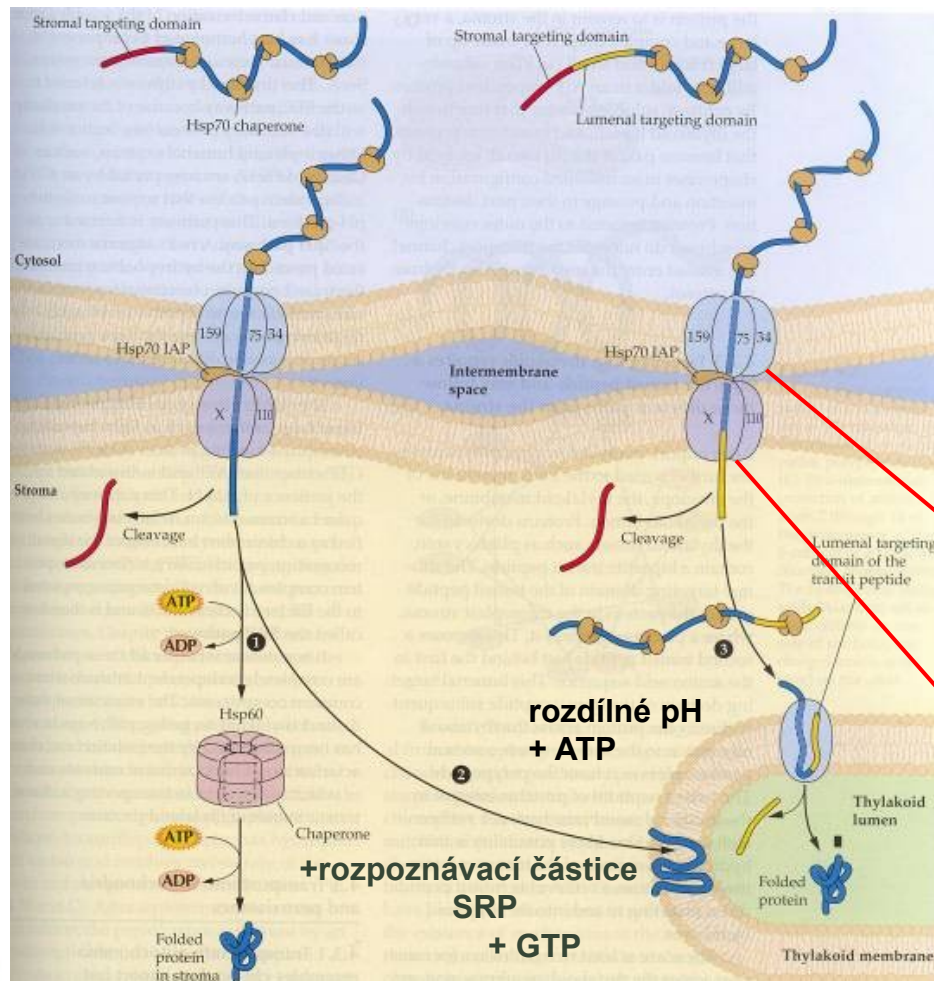


- Transport proteinů přes lipidické dvojvrstvy umožňují chaperony.
- Vážou polypeptidy a transportují je přes póry v cytoplazmatické membráně.
- Udržují proteiny v rozmotaném stavu na jedné straně membrány a pomáhají jim vytvářet prostorovou strukturu na straně druhé.



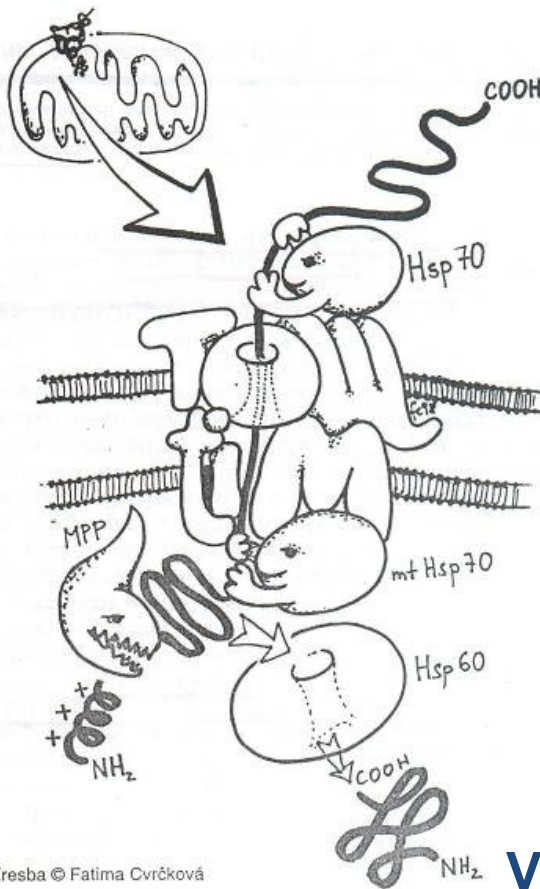
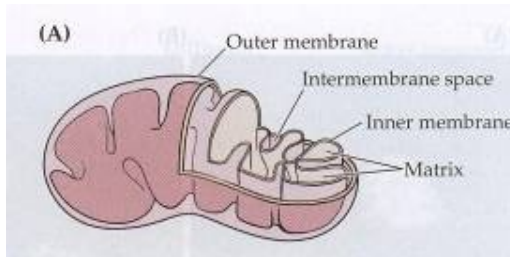
Proteiny kódované cpDNA i jadernými geny a transport v rámci chloroplastů

Mechanismus transportu proteinů z cytoplazmy do chloroplastů



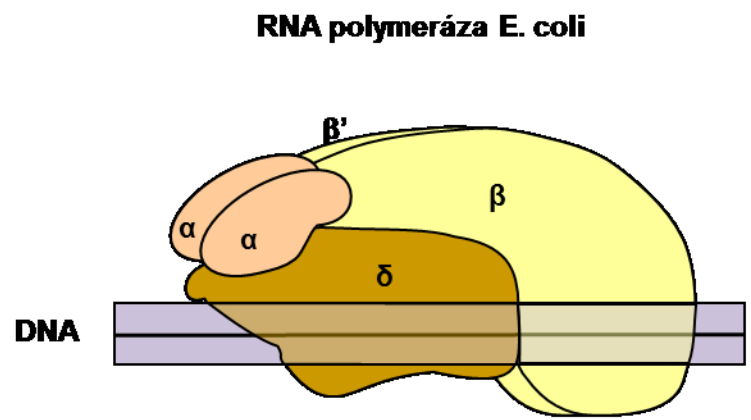
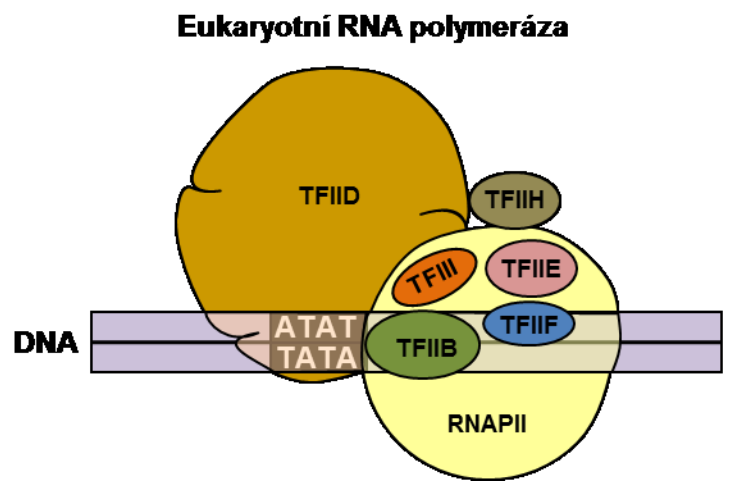
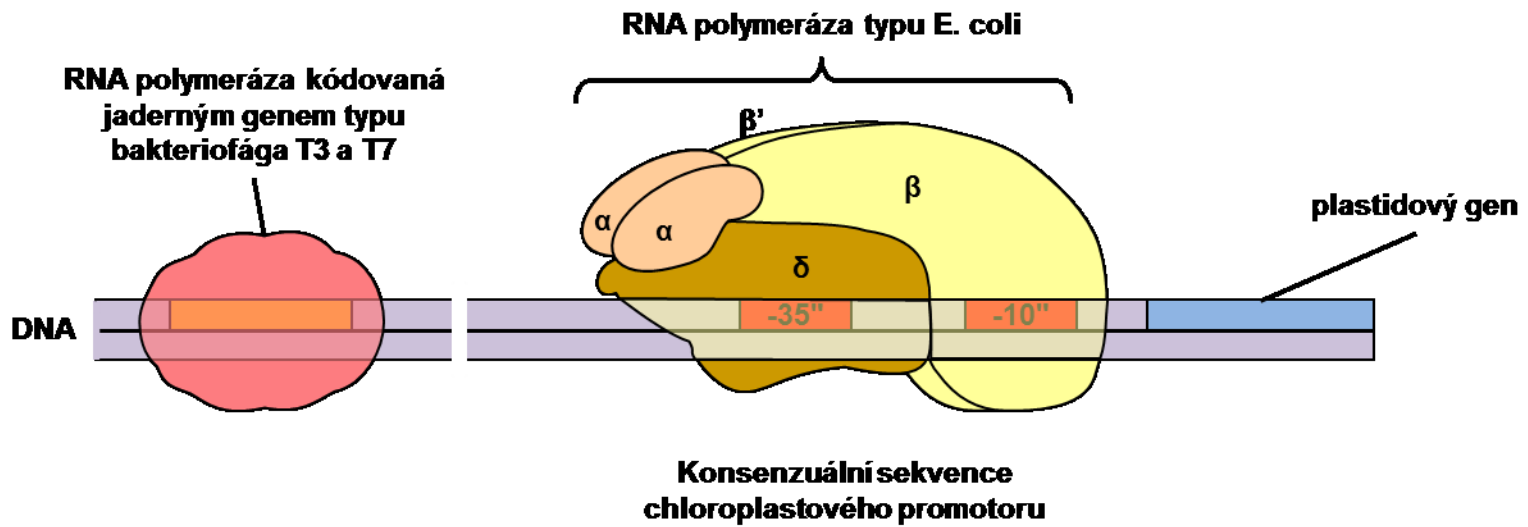
- Chaperony v cytosolu + signální sekvence
- Transport do stromatu a do lumen thylakoidů
- Transportní aparát přes
- Membrány:
 - TOC *Translocon of the outer membrane of the chloroplast*
 - TIC *Translocon of the innermembrane of the chloroplast*

Transport proteinů do mitochondrií



- Cytoplazma: preprotein + signální sekvence uchopeny systémem chaperoninů a pomocných proteinů, dopraveny k vnější mit. mem.
- TOM (Translocase of the Outer Membrane)/TIM (Translocase of the Inner Membrane)
- Vnitřní strana: chaperonin HSP70, odštěpení signální sekvence pomocí proteinázy

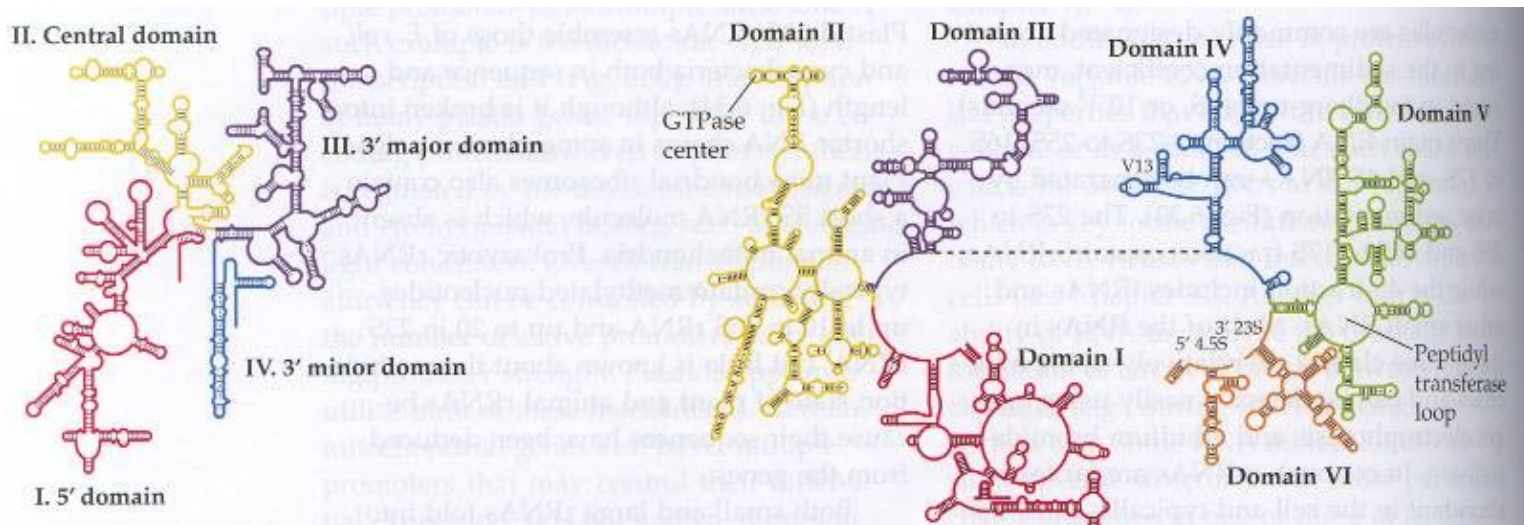
Srovnání chloroplastové RNA polymerázy eukaryot a prokaryot



rRNA chloroplastů

Sekundární struktura rRNA v chloroplastech tabáku

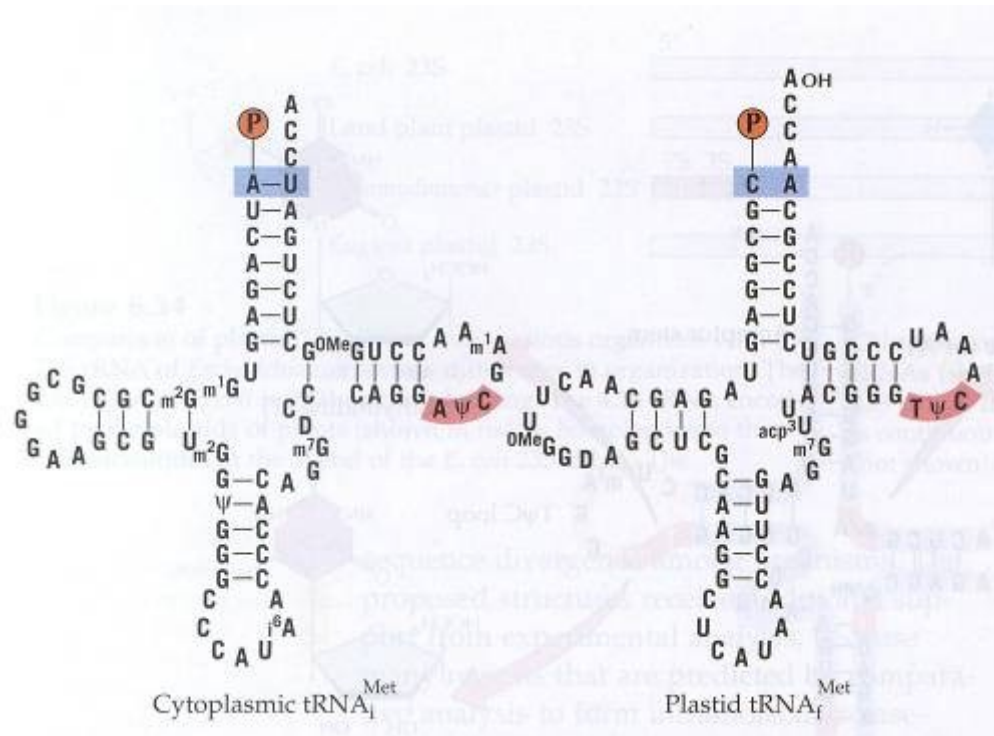
- Menší podjednotka ribozomů
- Větší podjednotka ribozomů
- 16S rRNA se 4 doménami
- 23S a 4,5S rRNA se 6 doménami; doména V je místem pro tRNA k podjednotce 50S



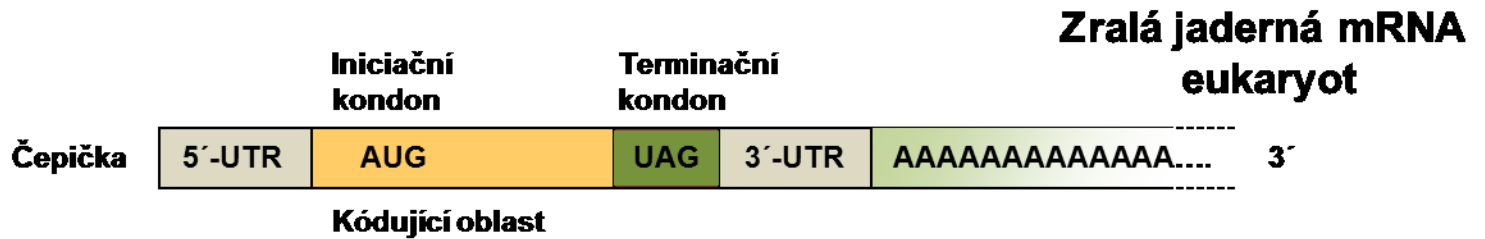
tRNA chloroplastů

➔ Cytoplazmatická tRNA^{Met} fazolu

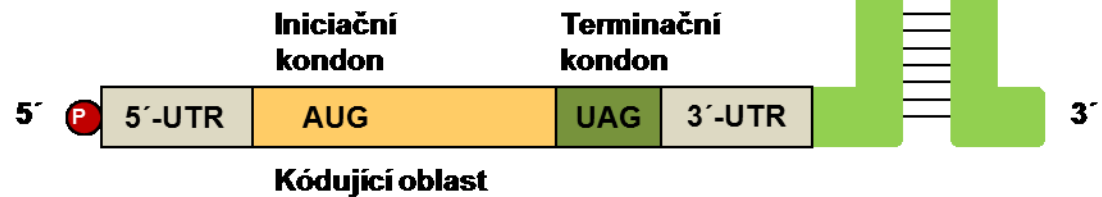
➔ Chloroplastová tRNA^{Met}



Zralá chloroplastová mRNA



Chloroplastová mRNA je podobná prokaryotické. **Není modifikována na 5'konci.** Typická vlásenka na 3' konci, **stabilita transkriptu, regulační funkce.**



Genomika rostlin

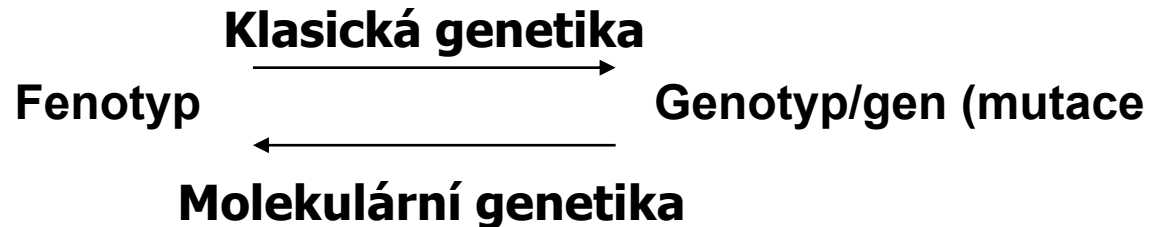
Funkce genů

➔ Funkční genomika

- Projekt „Arabidopsis 2010 Program“ 2001–2010
- Plant Physiology, June 2002, Vol. 129, pp. 394-437,
www.plantphysiol.org
- Nástroje studia funkcí rostlinných genů

Nástroje funkční genomiky

Mutageneze



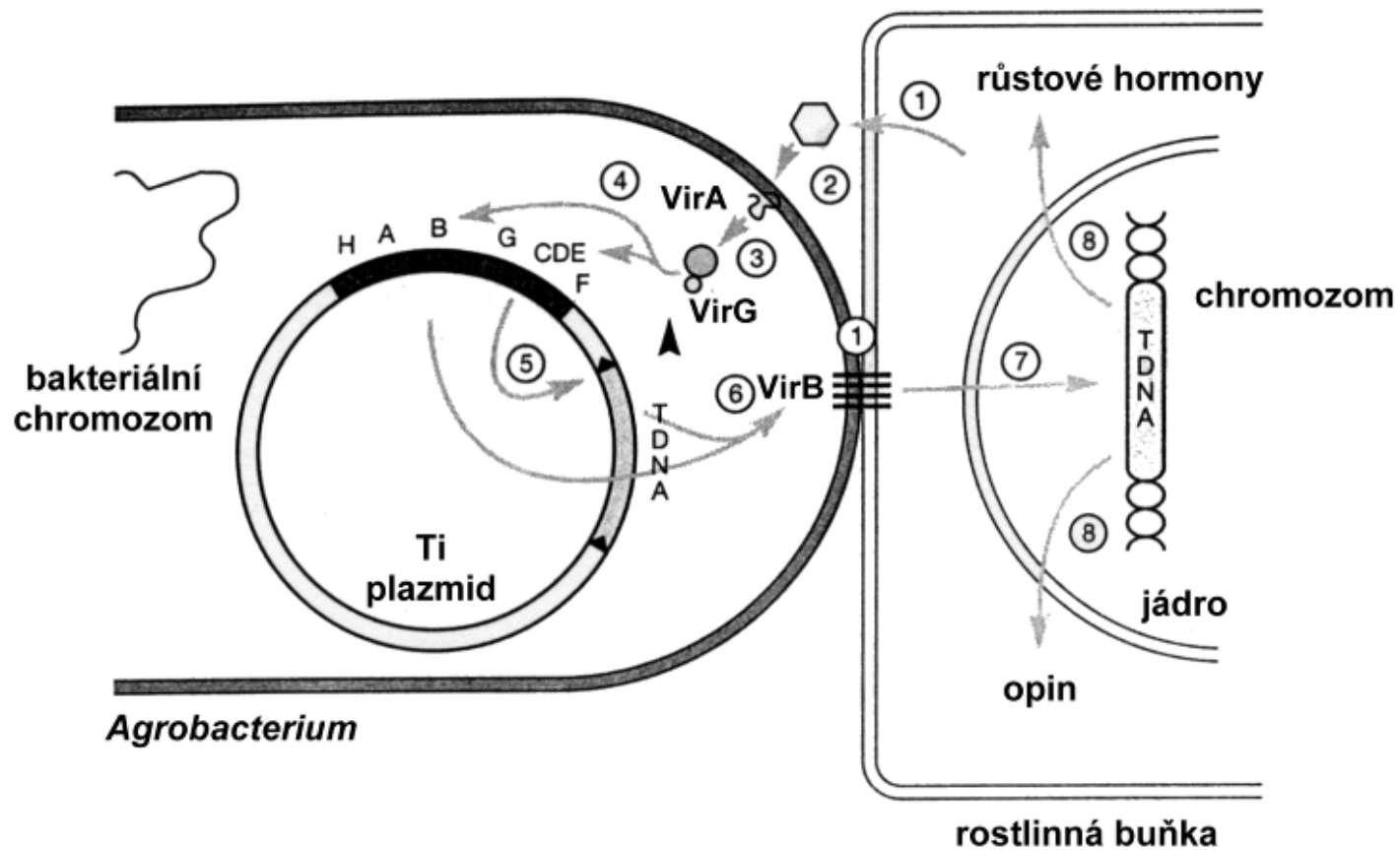
➔ Typy mutagenů

- chemomutageny
 - přístupy přímé i reverzní genetiky
- fyzikální mutageny
- biologické mutageny
 - T-DNA
 - transpozony
 - přístupy reverzní genetiky
 - retroelementy

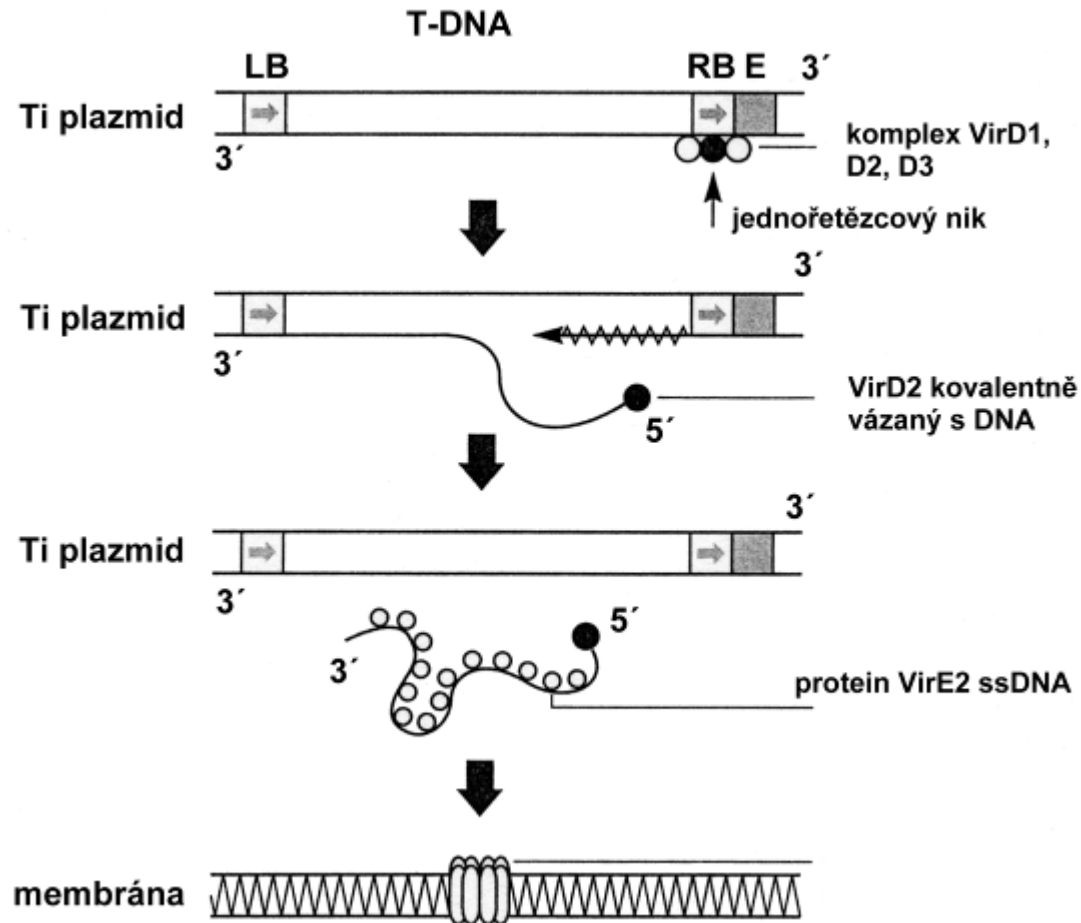
Inzerční mutagenese

T-DNA tagging

- ➔ Infekce rostlinné buňky při transformaci *A. tumefaciens*



Model tvorby jednořetězcové T-DNA *A. tumefaciens*



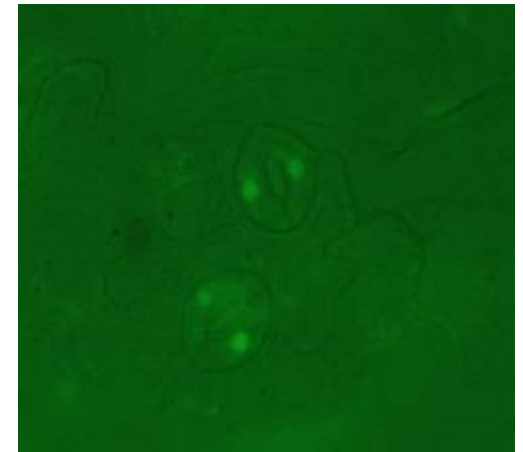
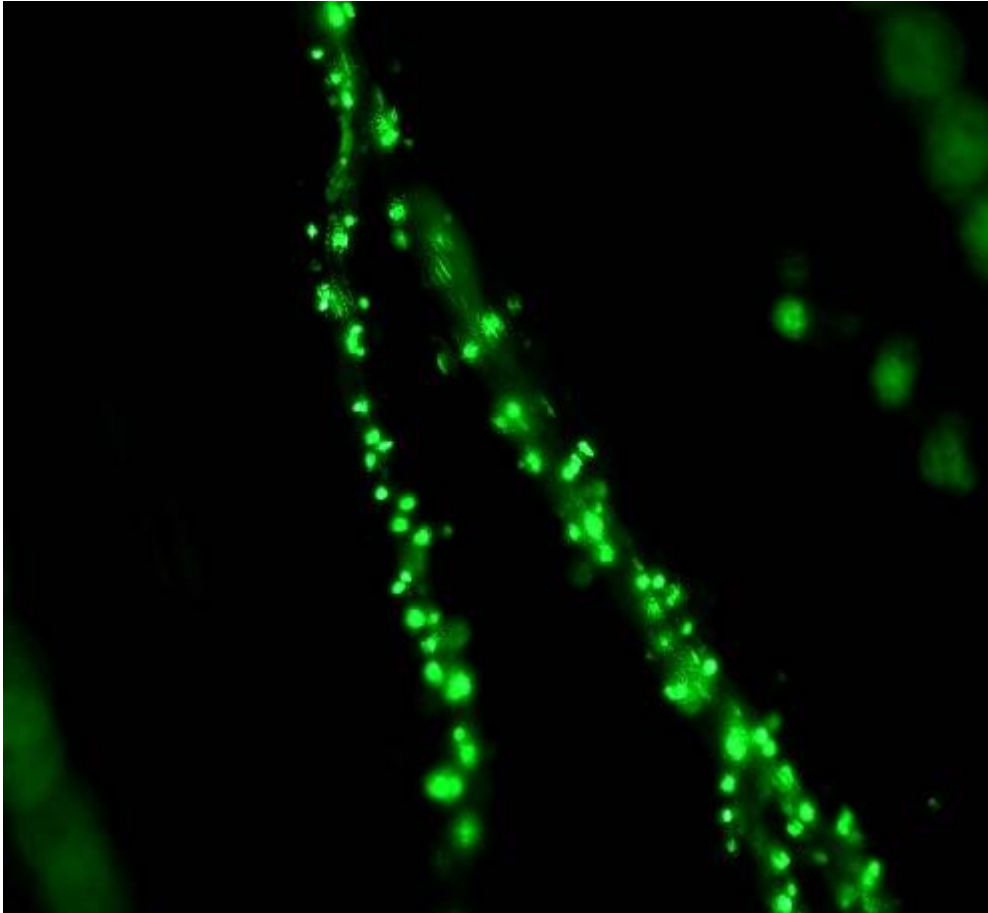
Metody transformace rostlinných pletiv

- ➔ Semena, embrya, listové disky, kořeny, protoplasty vakuová infiltrace
 - *Arabidopsis thaliana*
 - *Medicago truncatula*

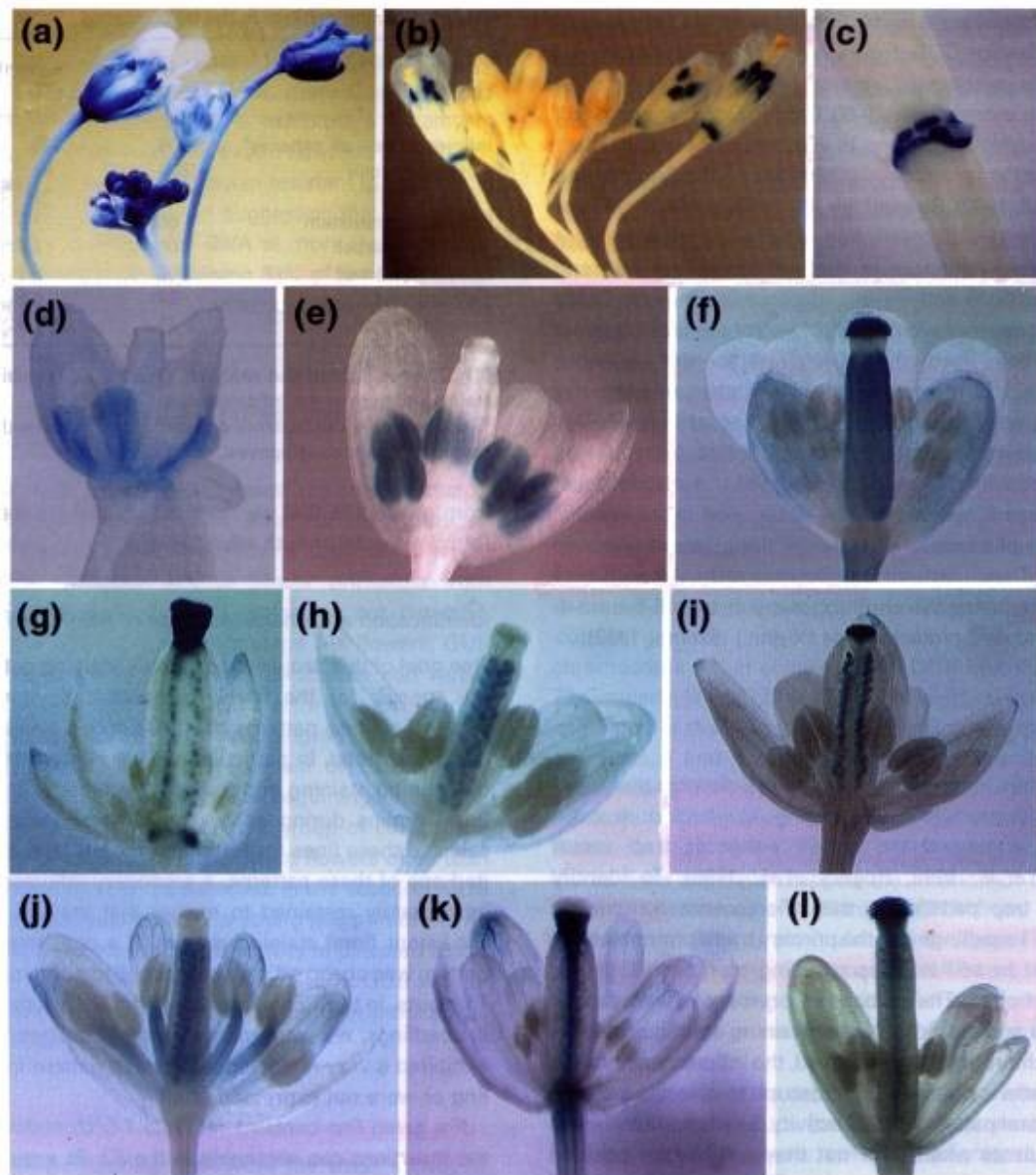
Markerové geny

- ➔ Selektovatelné
 - *NPT* (neomycin fosfotransferáza)
 - *HPT* (hygromycin fosfotransferáza)
 - *BAR* (rezistence k herbicidu fosfinotricinu)
- ➔ Signální = reportérové
 - *GUS*, *GFP*

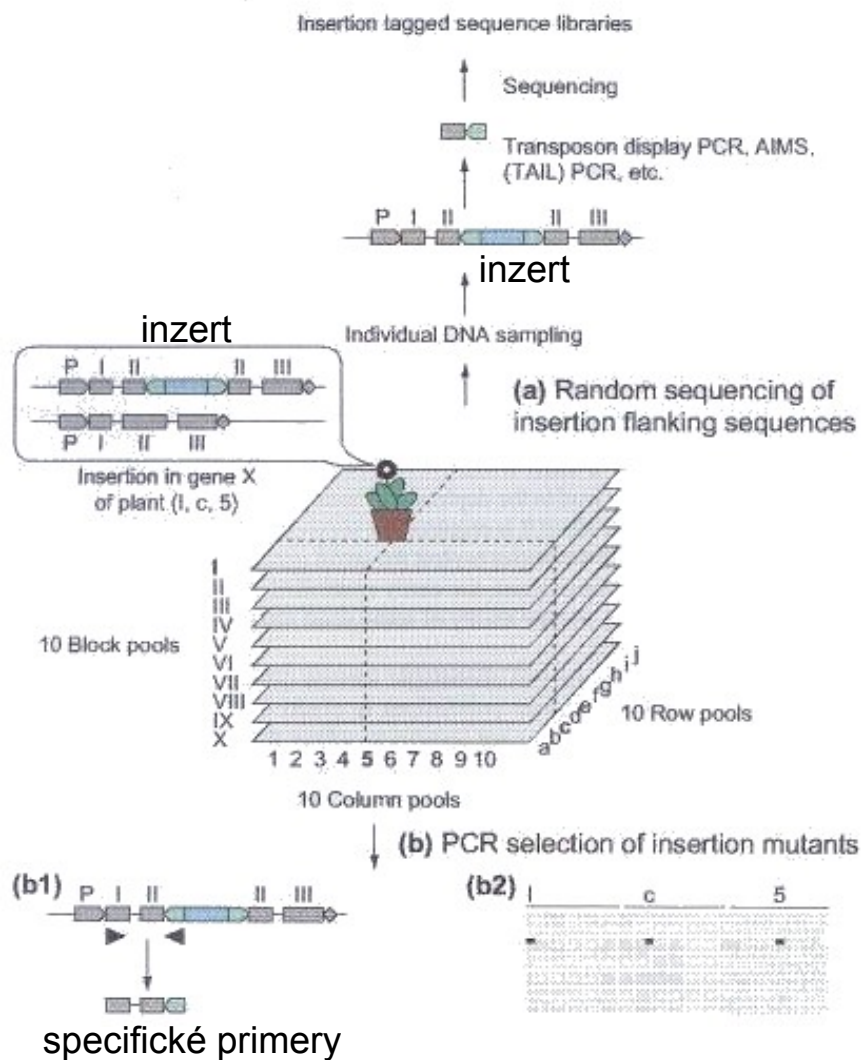
Expres GFP



Funkce genu GUS



Identifikace inzerčních míst přístupem reverzní genetiky



1. Inzerční mutageneze
2. Organizace rostlin
3. Izolace DNA
4. Specifická PCR
5. Inzerce v genu X rostliny I, c, 5
6. Klonování genu

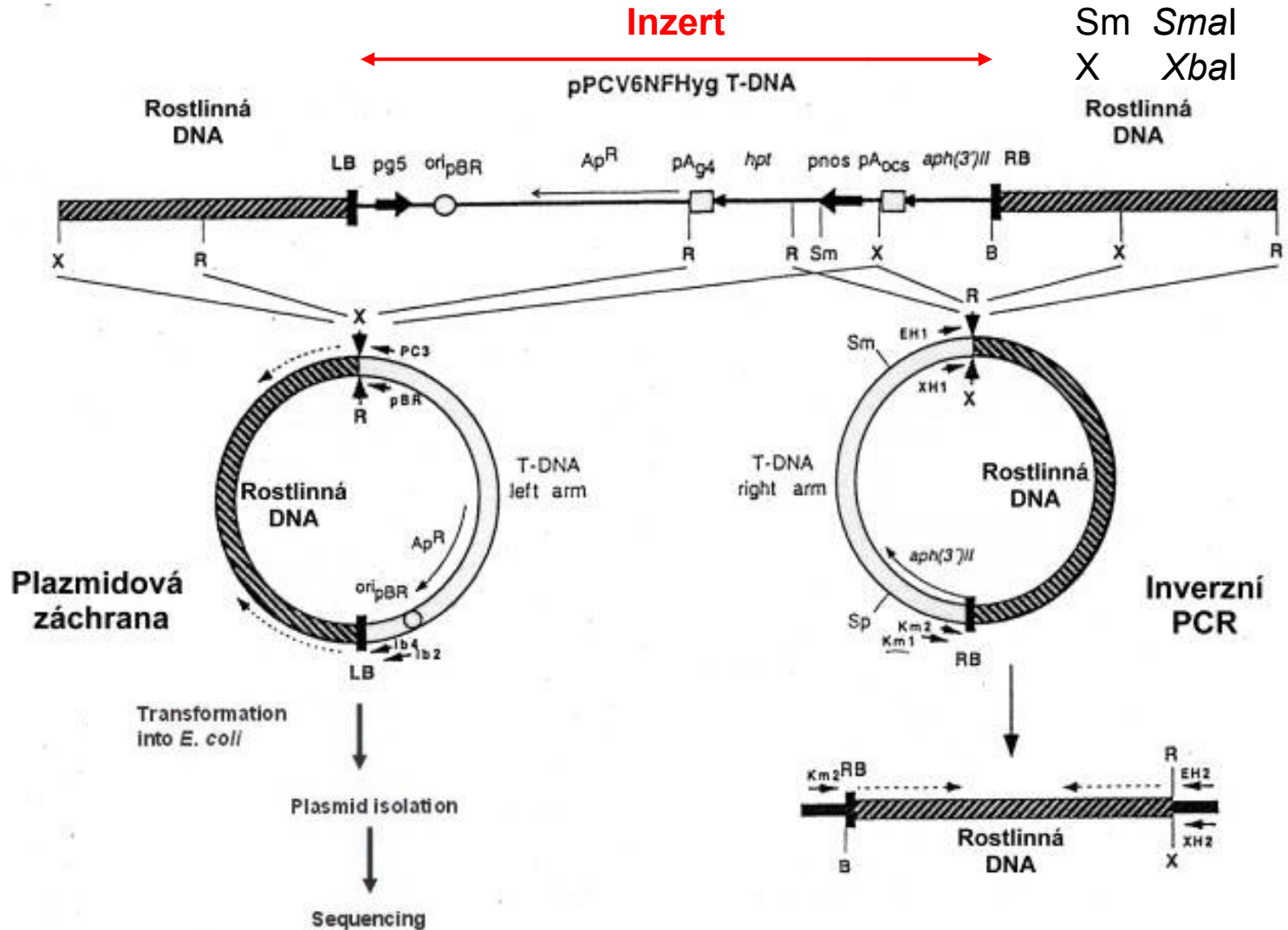
Ad 6) Izolace rostlinného genu

Zkratky restriktáz

R *EcoRI*

Sm *SmaI*

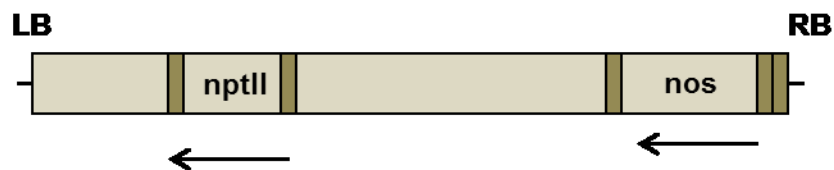
X *XbaI*



Využití T-DNA mutageneze

Vektory

Nespecializovaný vektor



Specializovaný vektor – pasivní

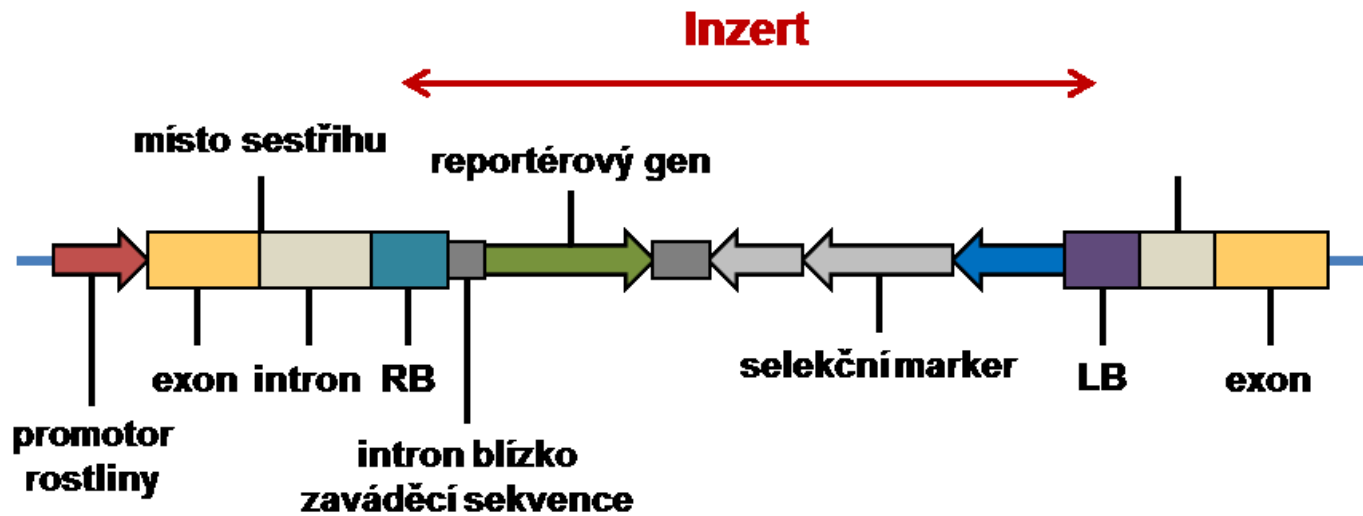


Specializovaný vektor – aktivní



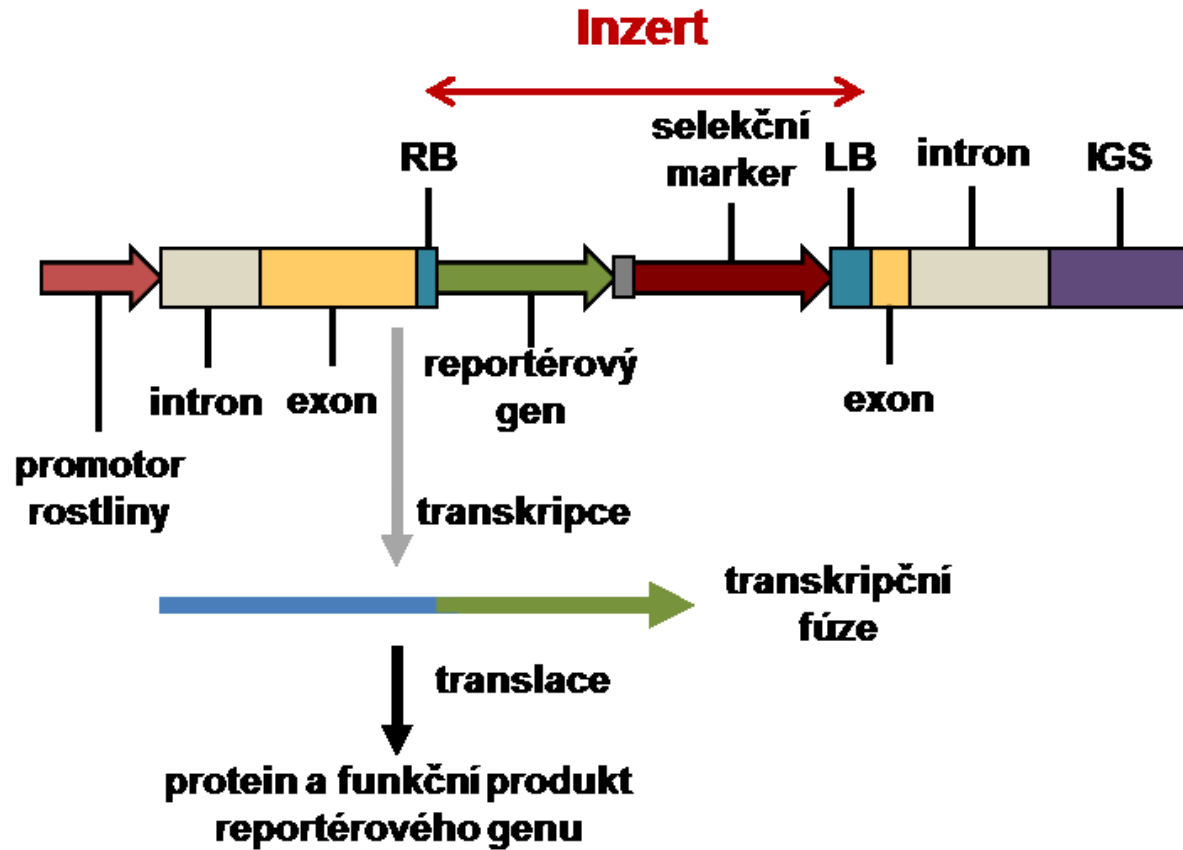
Specializované vektory

Past na geny



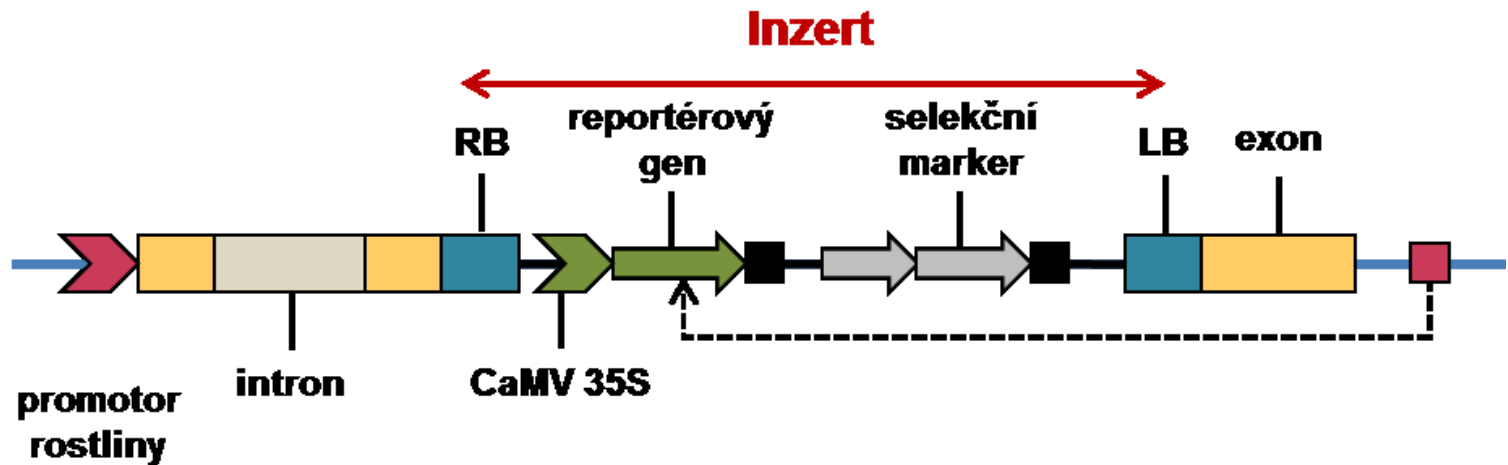
Specializované vektory

Past na regulační sekvence – promotor



Specializované vektory

Past na regulační sekvence – zesilovač



Výsledky inzerční mutagenese

Modelové druhy

- *Arabidopsis* – velké kolekce inz. mutací od 90. let
 - SALK: asi 150 tis. T-DNA linií (ekotyp Columbia)
 - GABI: 60 tis. (ekotyp Columbia)
 - Feldmann: 4,9 tis. (ekotyp Wassilevskaja)
 - Semenná banka ABRC: 175 tis. (ekotyp Columbia)
- Teoreticky **180 tisíc nezávislých inzercí** s 95% pravděpodobností detekce určité specifické inaktivované alely genu o velikosti 2,1 kb.
- Redundance genů v genomu
- Mutace letální, nebo vedou ke sterilitě v homozygotní konstituci. Proto je tato pravděpodobnost jen 80%. Doposud nebylo asi **2000 genů zasaženo žádnou inzercí**.

Izolace genů a jejich funkční charakterizace

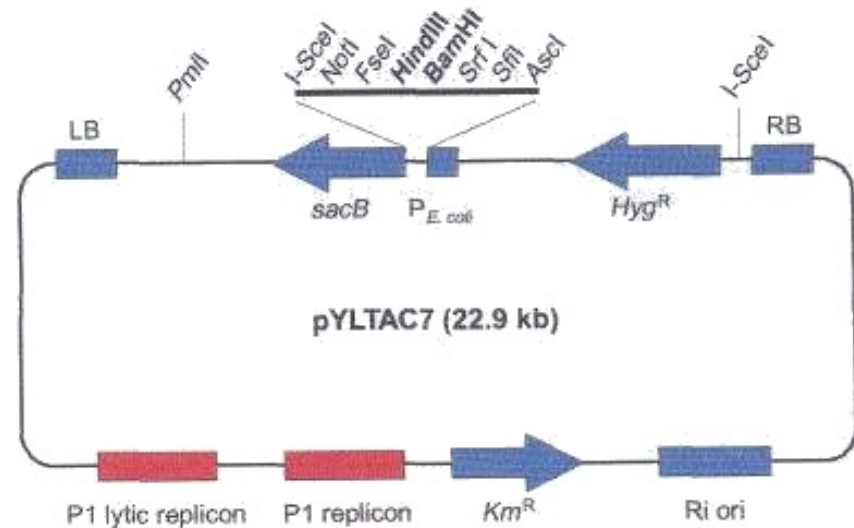
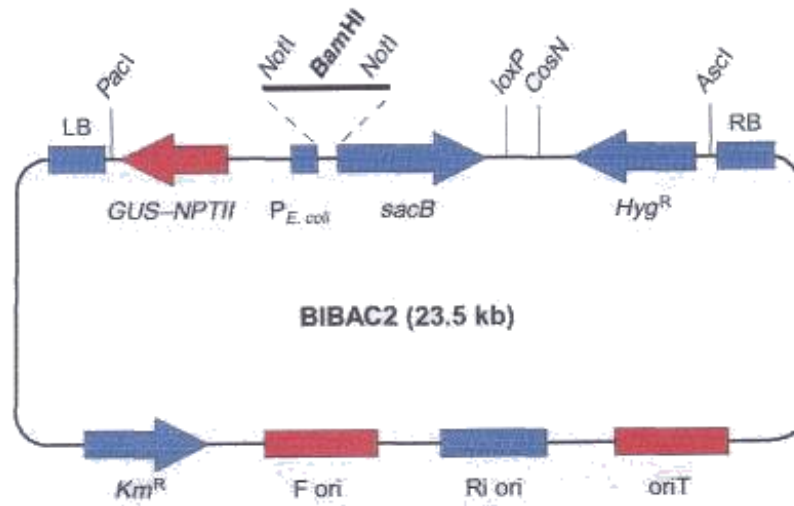
Přímá genetika – několik desítek genů

- ➔ *G1* vývoj trichomů 1989
- ➔ *Gi* signály fytochromů 2000
- ➔ *Dfl1* kontrola auxinů

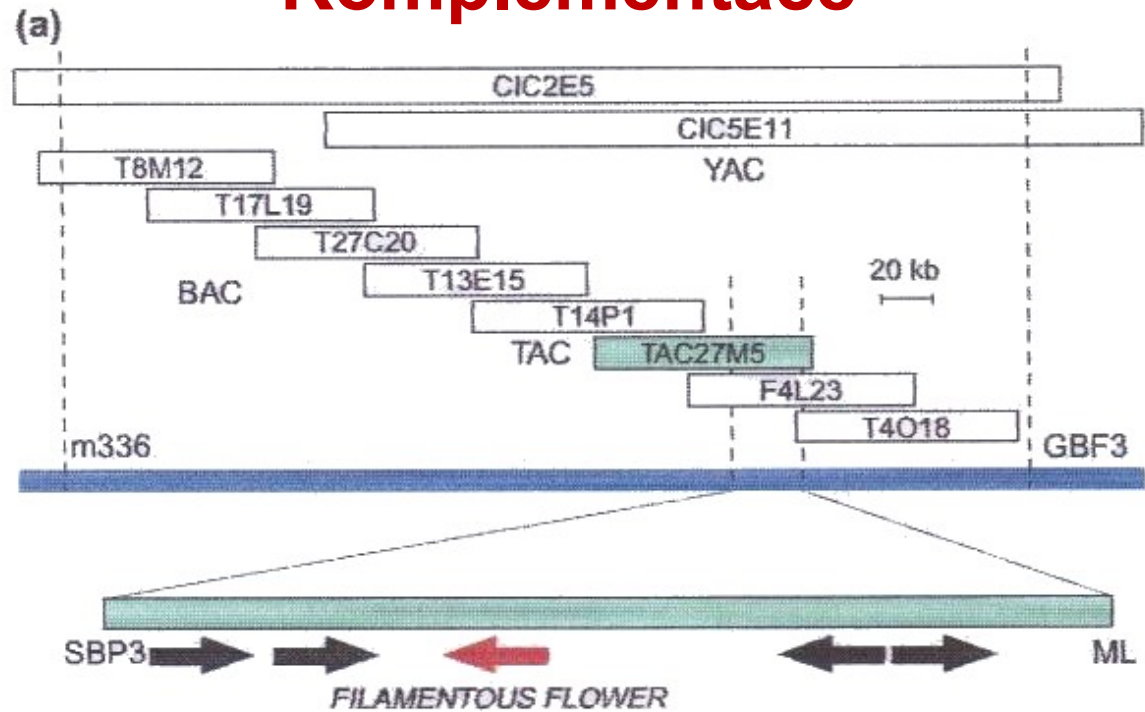
Reverzní genetika – hlavní podíl identifikovaných genů

- ➔ Genová rodina *ACTIN* celkem 63 genů
- ➔ Aktivační tagging - asi 20 genů

Speciální typy vektorů



Komplementace



(b)



Wild type



filamentous flower mutant

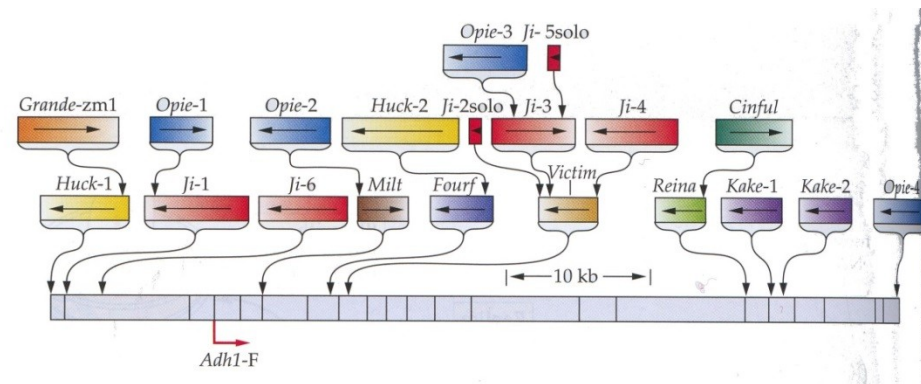


Mutant complemented with TAC27M5

Kulturní duhy

Kukuřice

- čtyři rodiny retrotranspozonů: *Huck*, *Ji*, *Opie* a *Zeon*.



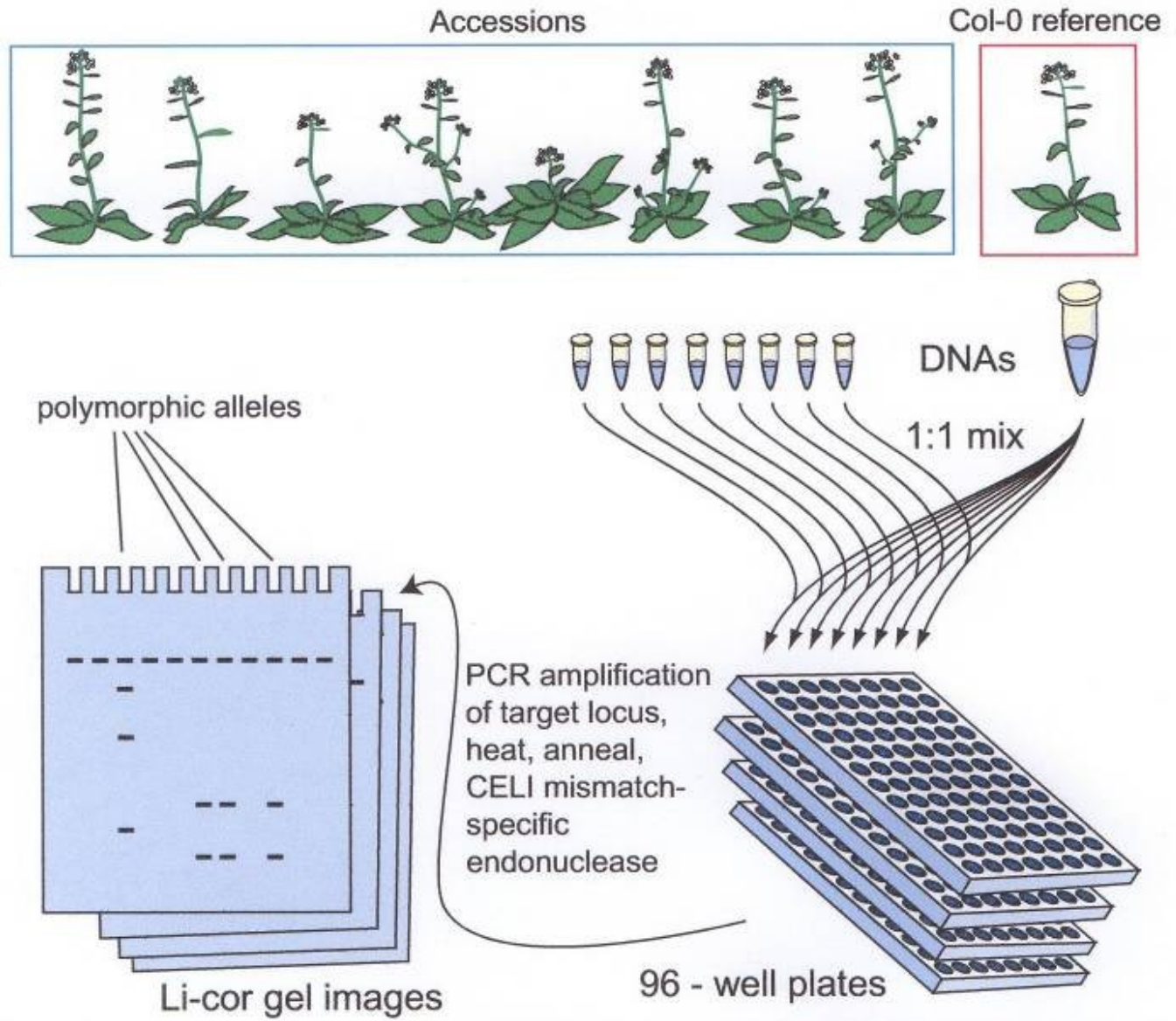
- **Transpozony** – *Ac/Ds*, *Mu* více než 100 kopií – kolekce inz. linií (45 tis.)
- Izolace genů
- 1. gen *bronze* – pro klíčový enzym syntézy antokyanů
- *An1*, *Zag1* – vývoj květů

Rýže

- Transpozony *Ac/Ds* kukuřice
- T-DNA 20 tis. linií, 25 tis. inzercí v genech
- Retrotranspozony
 - *Tourist*, *Stowaway*, *Gaijin*, *Tos17*

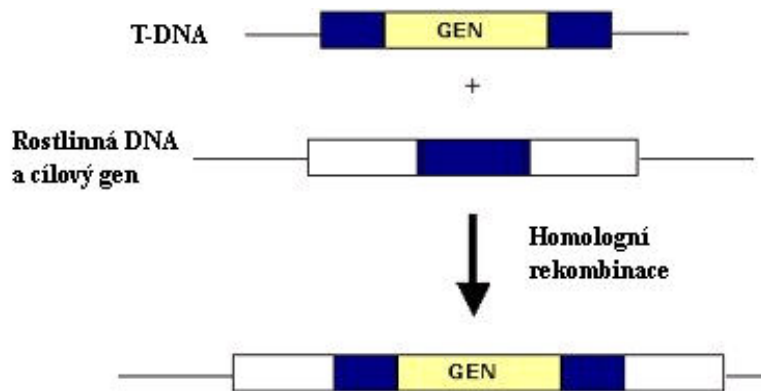
Klasická mutageneze – chemomutageny

- ➔ **TILLING** (*Targeting Induced Local Lesions in Genome*)
- ➔ **Detekce bodových mutací**
- ➔ **Detekce konkrétních genů**
- ➔ **Metodický přístup reverzní genetiky**
- ➔ **Detekce polymorfizmů v přírodních populacích (ekotilling)**
- ➔ ***Arabidopsis thaliana*, kulturní plodiny (ječmen)**

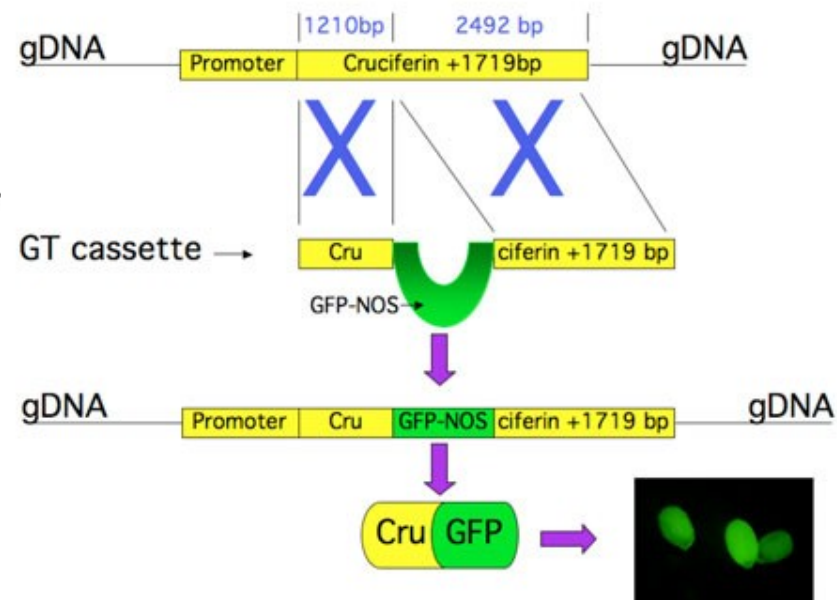


Další metody identifikace funkcí rostlinných genů

- ➔ Homologní rekombinace „*Gene targeting*“
- ➔ U rostlin se využívá v menším rozsahu



Gene targeting in Arabidopsis



Techniky založené na umlčování specifických genů

➔ Především RNA interference

➔ *A. thaliana* – Projekt AGRİKOLA

- *Arabidopsis*
- Genomic
- RNA Interference
- Knock-Out
- Line Analysis

➔ Tvorba 20 tisíc RNAi konstruktů

➔ Z kolekce 21 120 GST (Gene Specific Tag) *Arabidopsis*

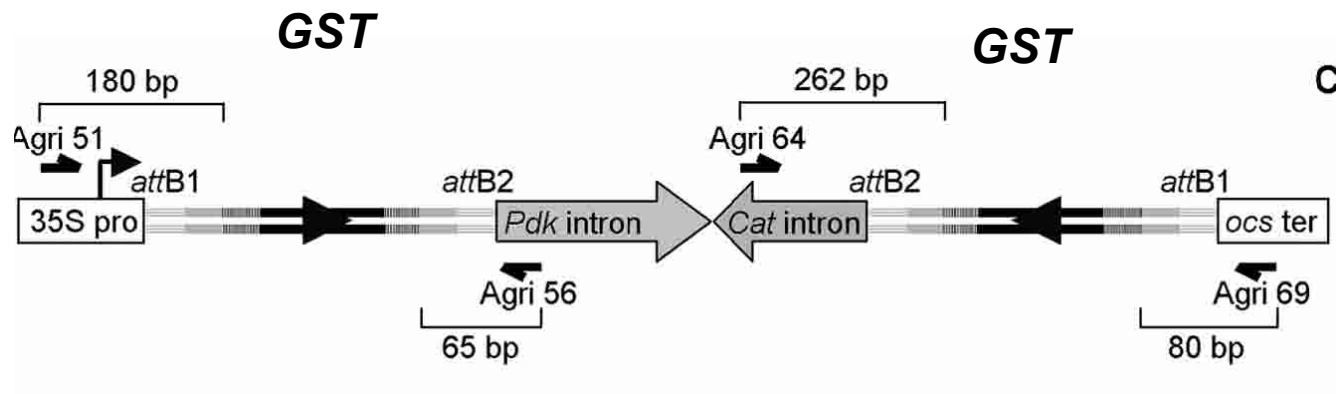
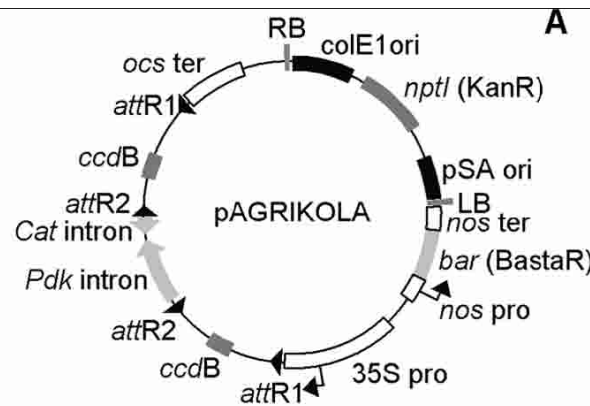
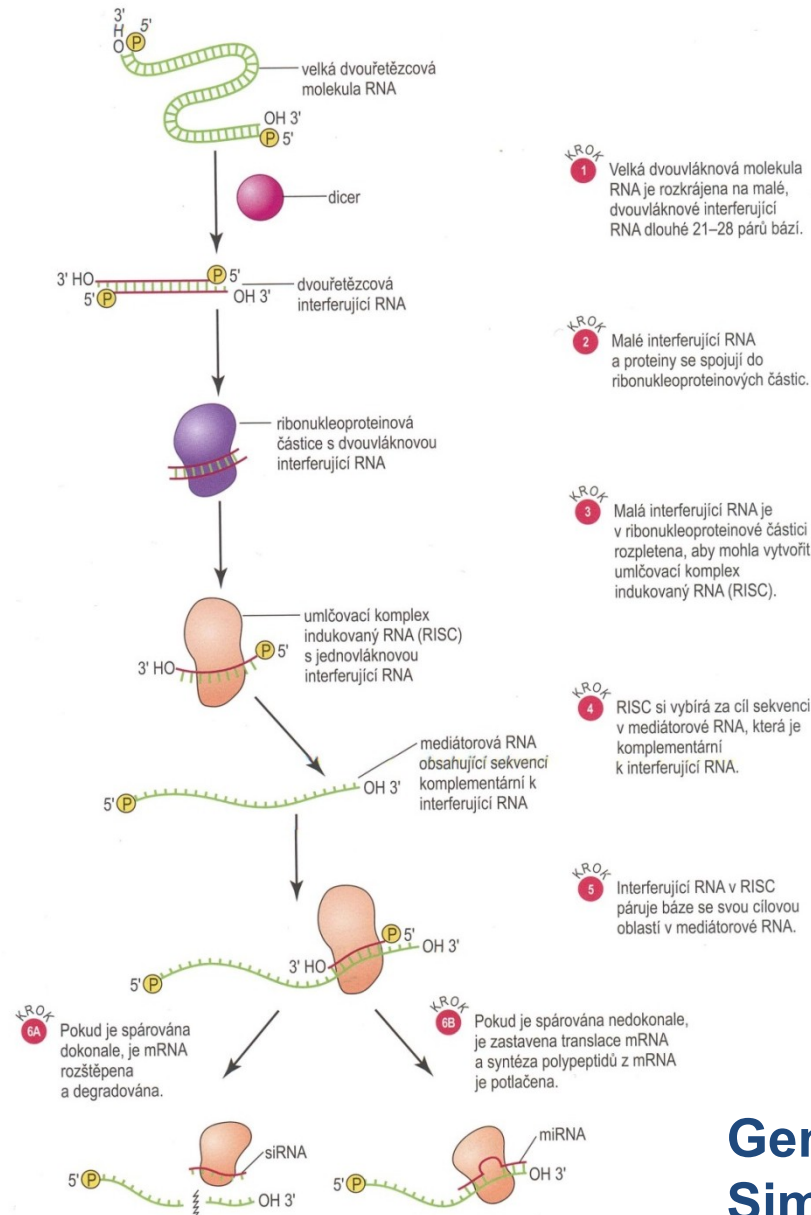


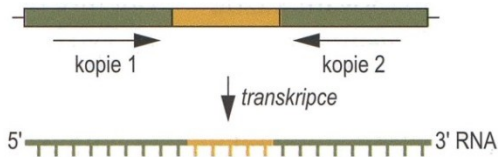
Schéma RNA interference



zahájení RNAi vnesením transgenu kódujícího komplementární RNA

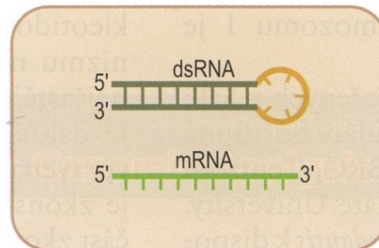
KROK 1

Expresní genová kazeta nesoucí dvě kopie požadované sekvence v obrácené orientaci je vnesena do genomu.



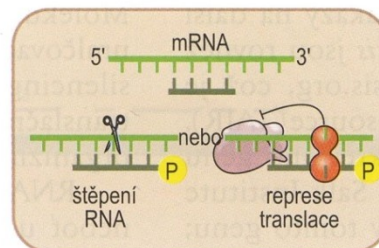
KROK 2

Komplementární sekvence v mRNA se párují a vytvářejí částečně dvouřetězcovou „vlásenkovou“ strukturu.



KROK 3

Degradace mRNA nebo represe její translace pomocí umlčovacího komplexu indukovaného RNA (RISC).



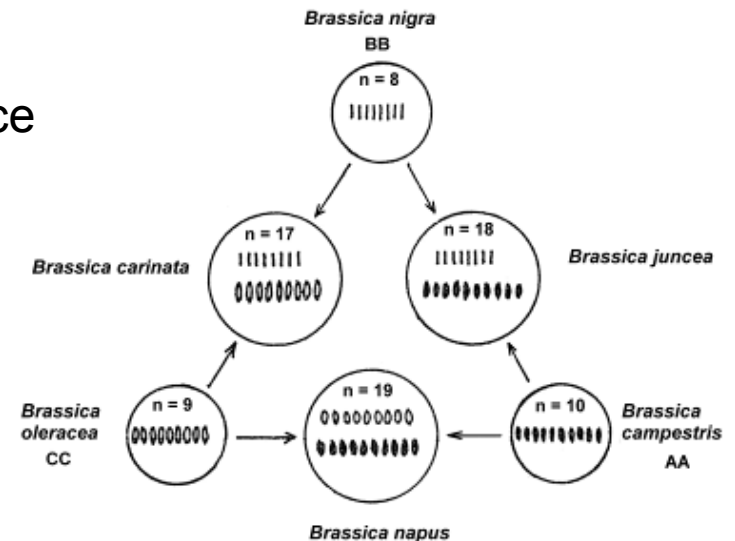
(b)

Genomika rostlin

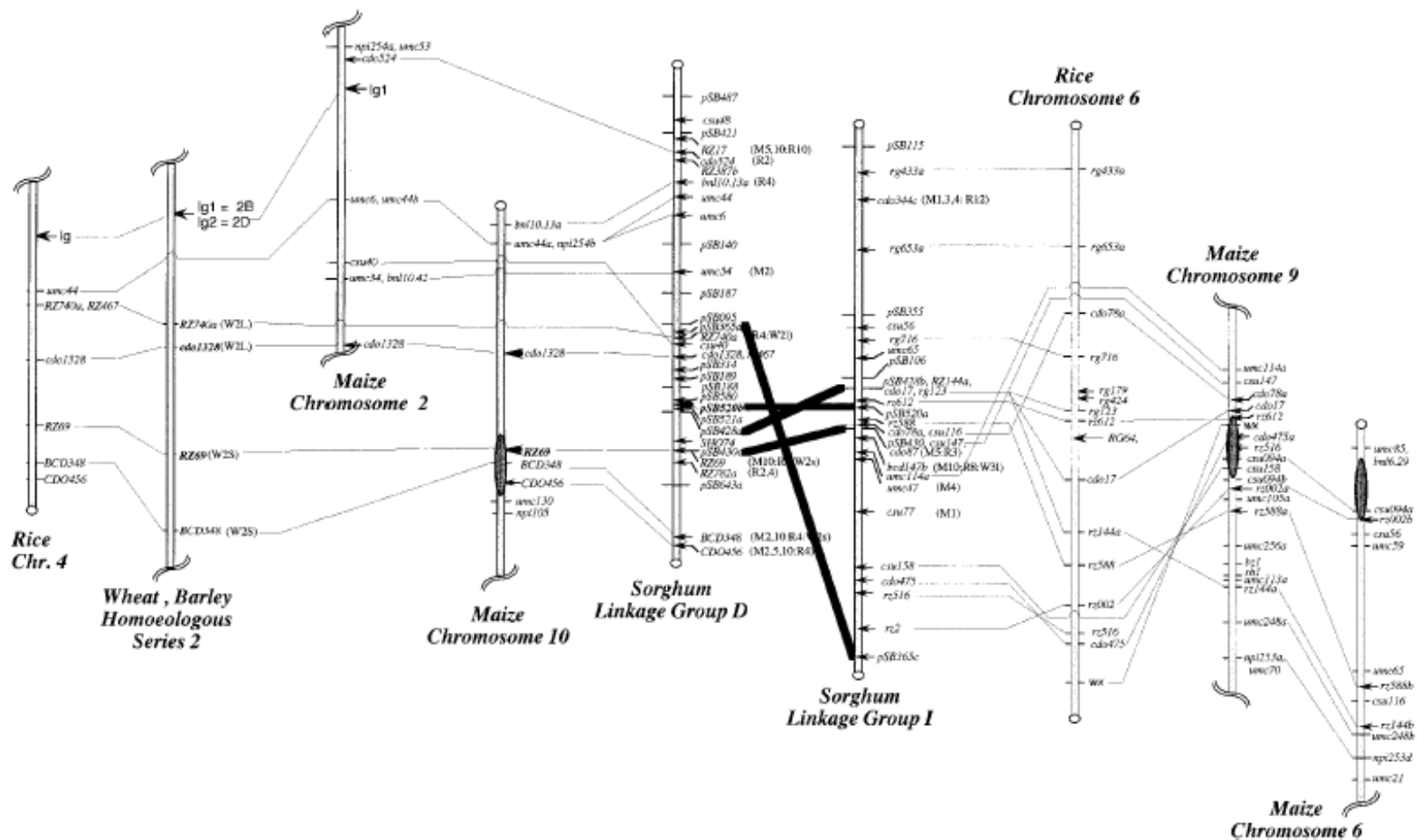
Srovnávání genomů

➔ Srovnávací genomika:

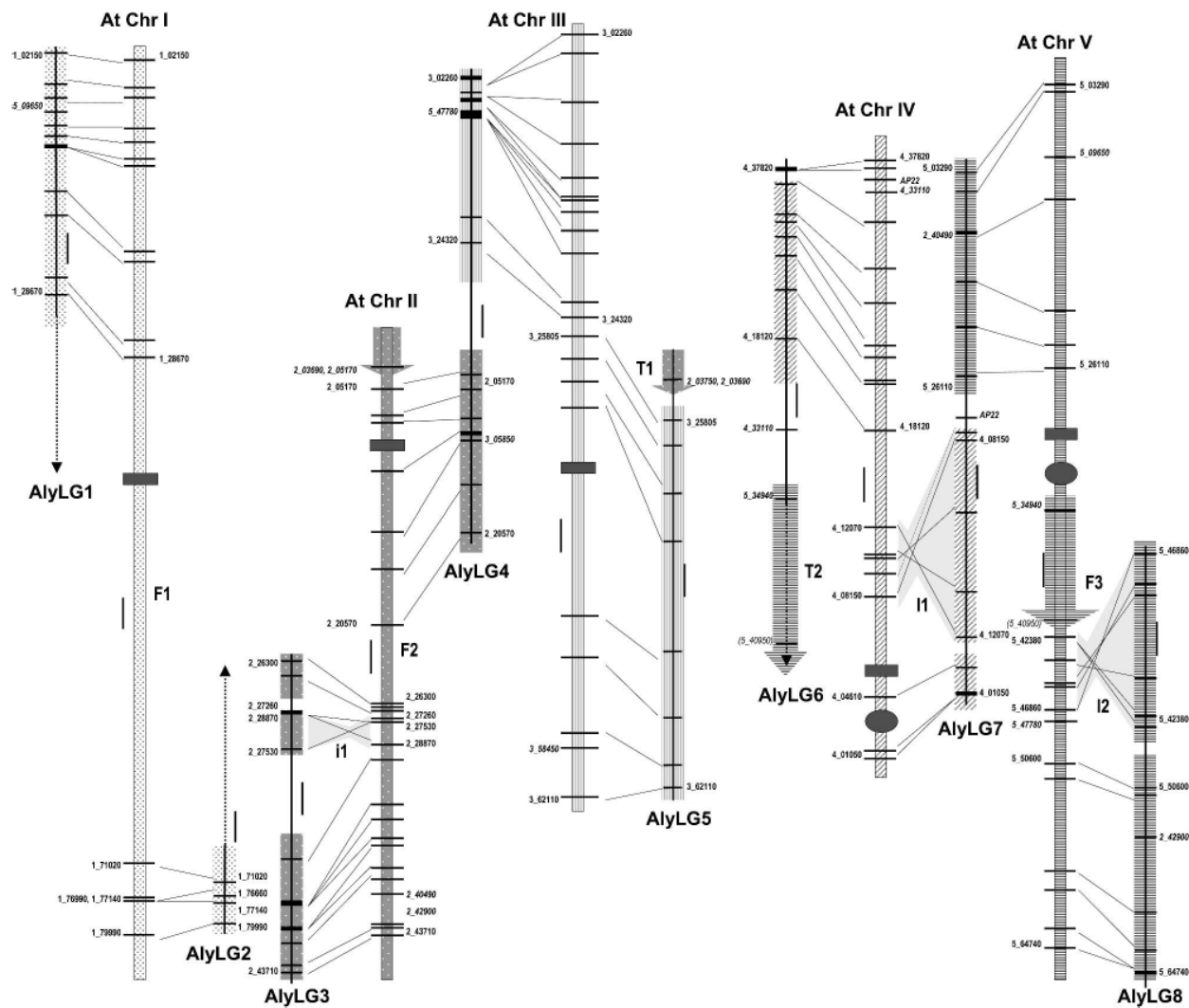
- *Brassicaceae*:
 - *Arabidopsis*
 - *Brassica oleracea* 57%
 - *Capsella rubella* 85%
- *Solanaceae*:
 - rajče – brambor, také tabák, paprika
- *Poaceae*:
 - rýže – ječmen, pšenice, kukuřice
- *Fabaceae*
- *Malvaceae*



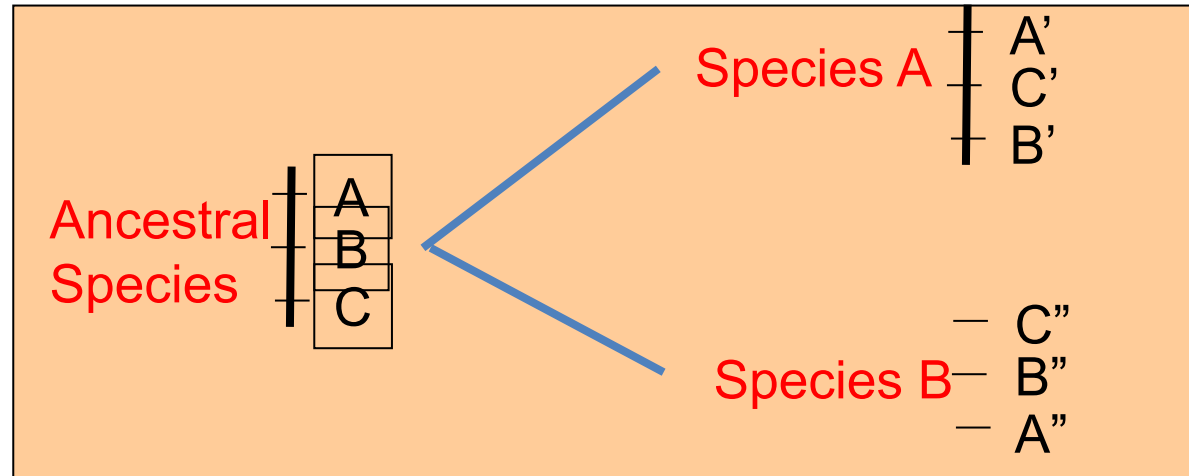
Genomy rostlin se podobají



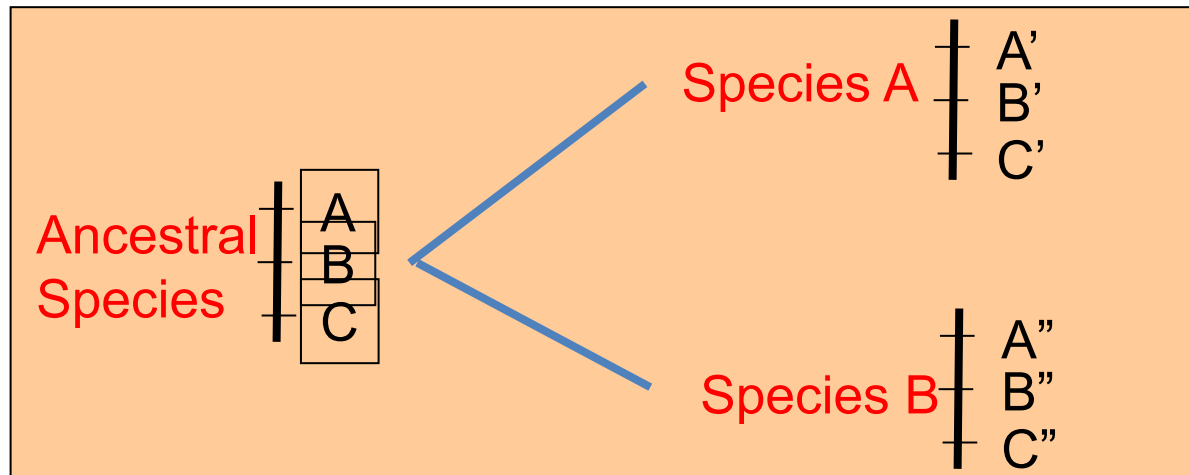
Kolineární oblasti genomů *Arabidopsis thaliana* a *A. lyrata*



Syntenie = přítomnost orthologních lokusů u dvou druhů na stejném chromozomu

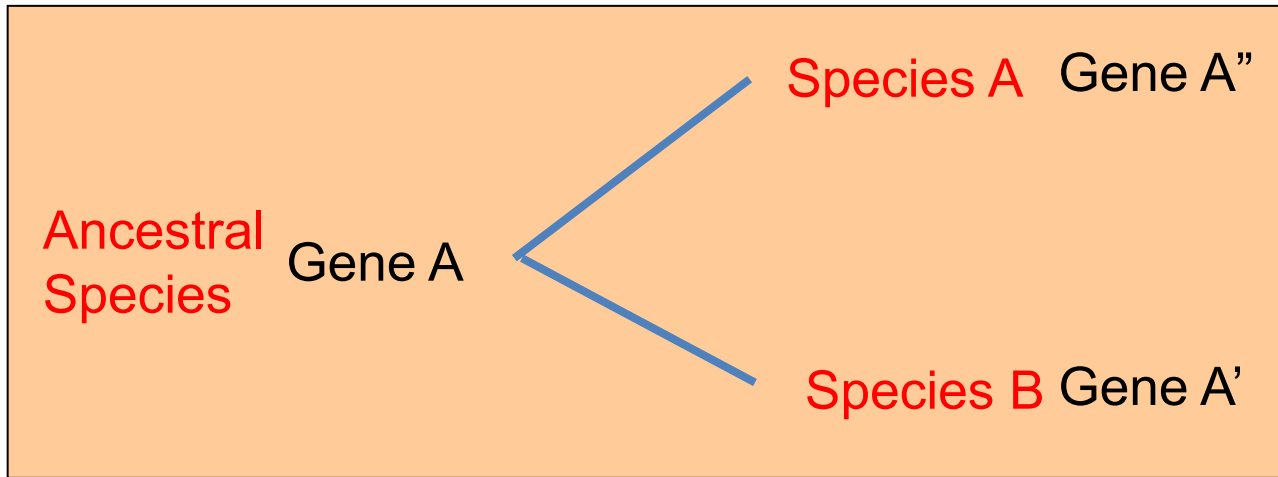


Kolinearita = skupina lokusů je u dvou druhů přítomna ve stejném pořadí

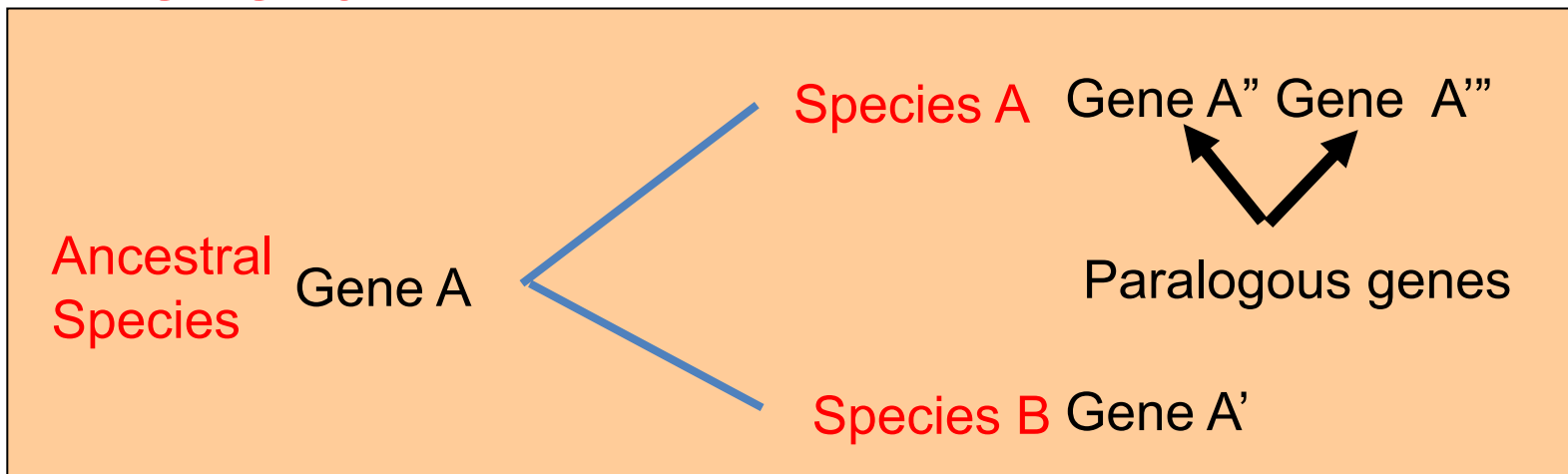


Orthology vs. paralogy

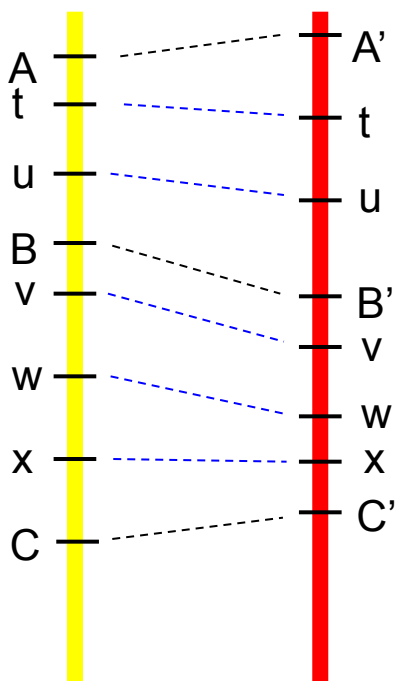
Orthologní geny = geny u různých organismů, které jsou přímými potomky genu přítomného u společného předka těchto organismů



Paralogní geny = geny, které se duplikovali u daného druhu



Makrosyntenie vs. microsytentie

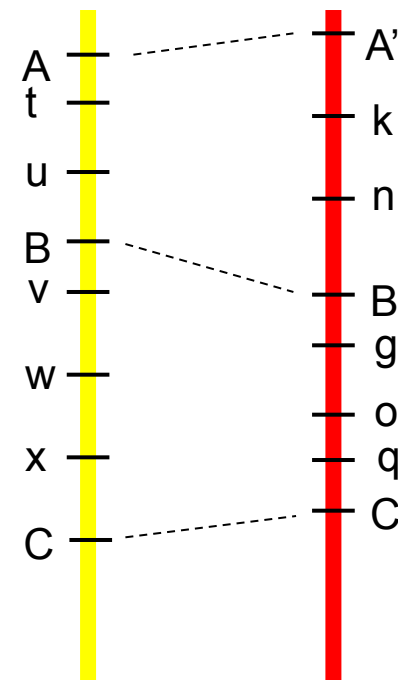


➔ **Vlevo:**

- nejen geny A, B, C syntenní,
- mikrosyntenie

➔ **Vpravo:**

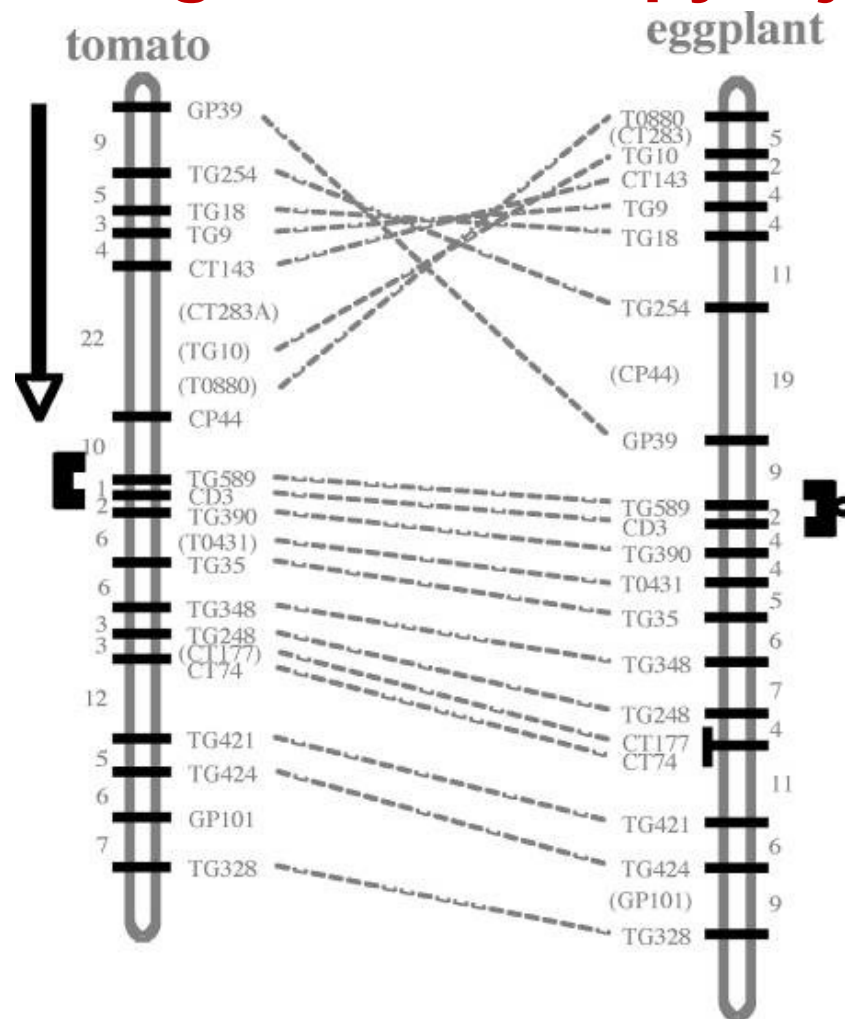
- pouze geny A, B, C syntenní
- mikrosyntenie není



➔ **Makrosyntenie** (daná společným původem), **makrokolinearita**

- konzervativní uspořádání genů v určité oblasti chromozomu v rozsahu mnoha Mb, geny A, B, C
- může být maskována výraznými lokálními změnami v pořadí i zastoupení genů (**mikrosyntenie** není detekována), **mikrokolinearita**

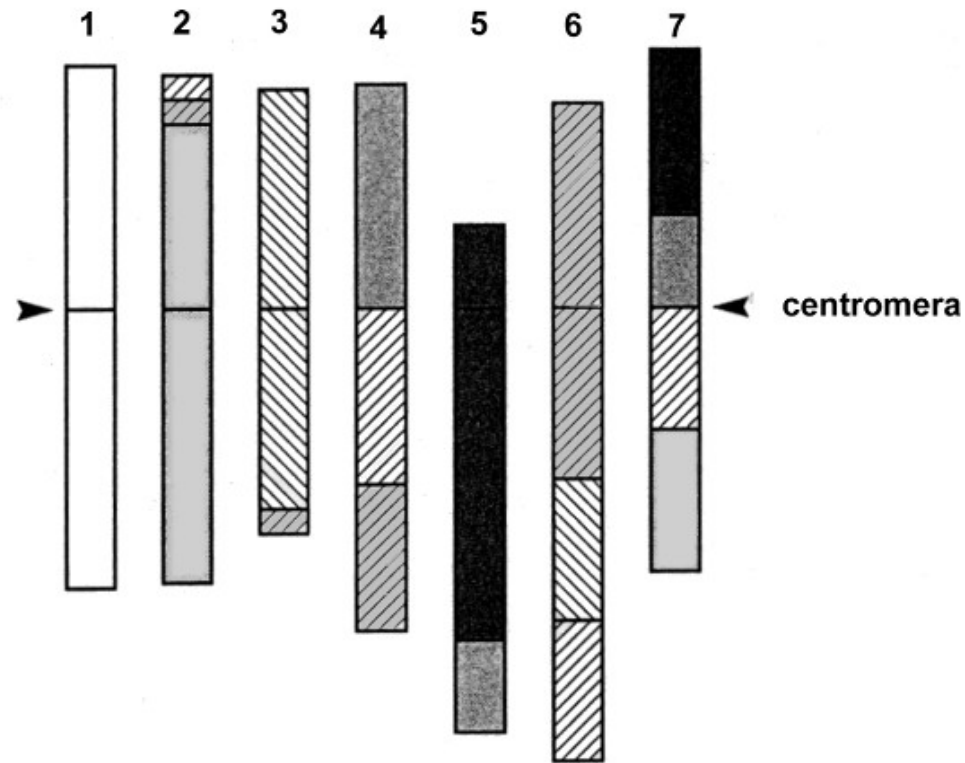
Porovnání genetické mapy rajčete a lilku



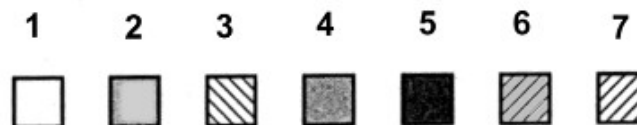
- ➔ Syntenní mapy rajčete a bramboru se liší 5 paracentrickými inverzemi

Srovnávací genomika - obiloviny

haploidní sada chromozomů rýže

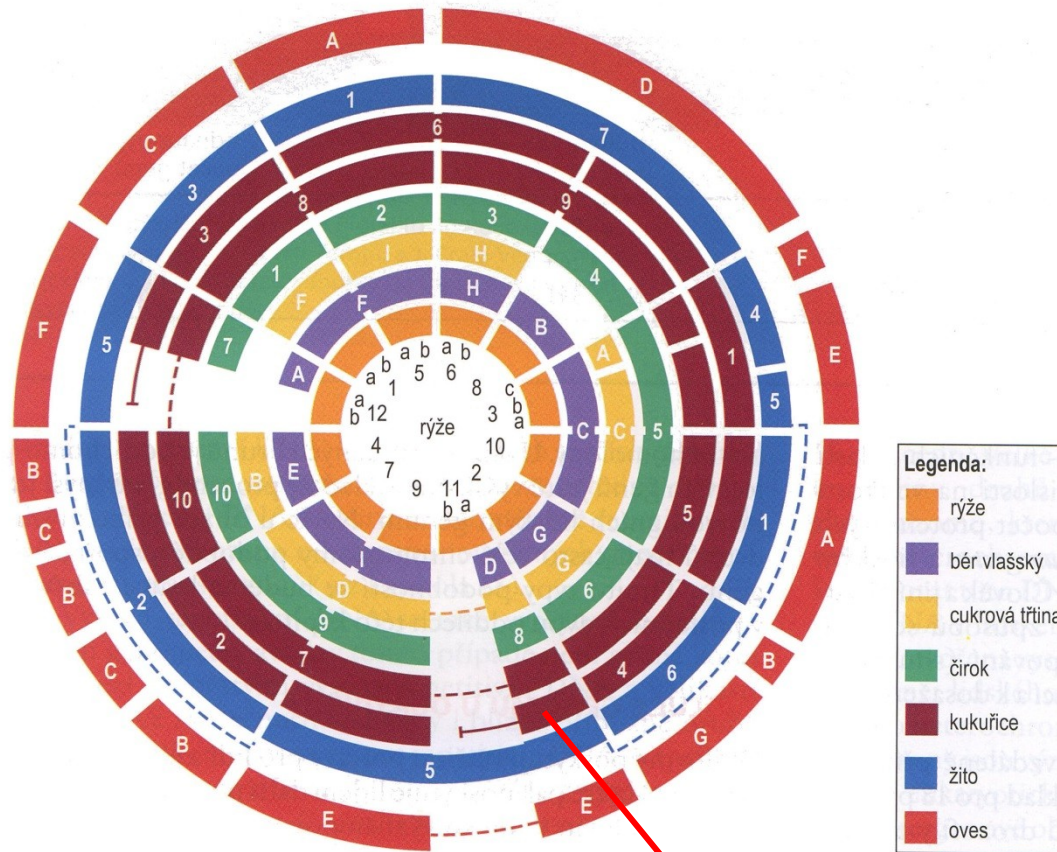


homologické chromozomy genomu D pšenice



Srovnávací mapa genomů 7 obilovin

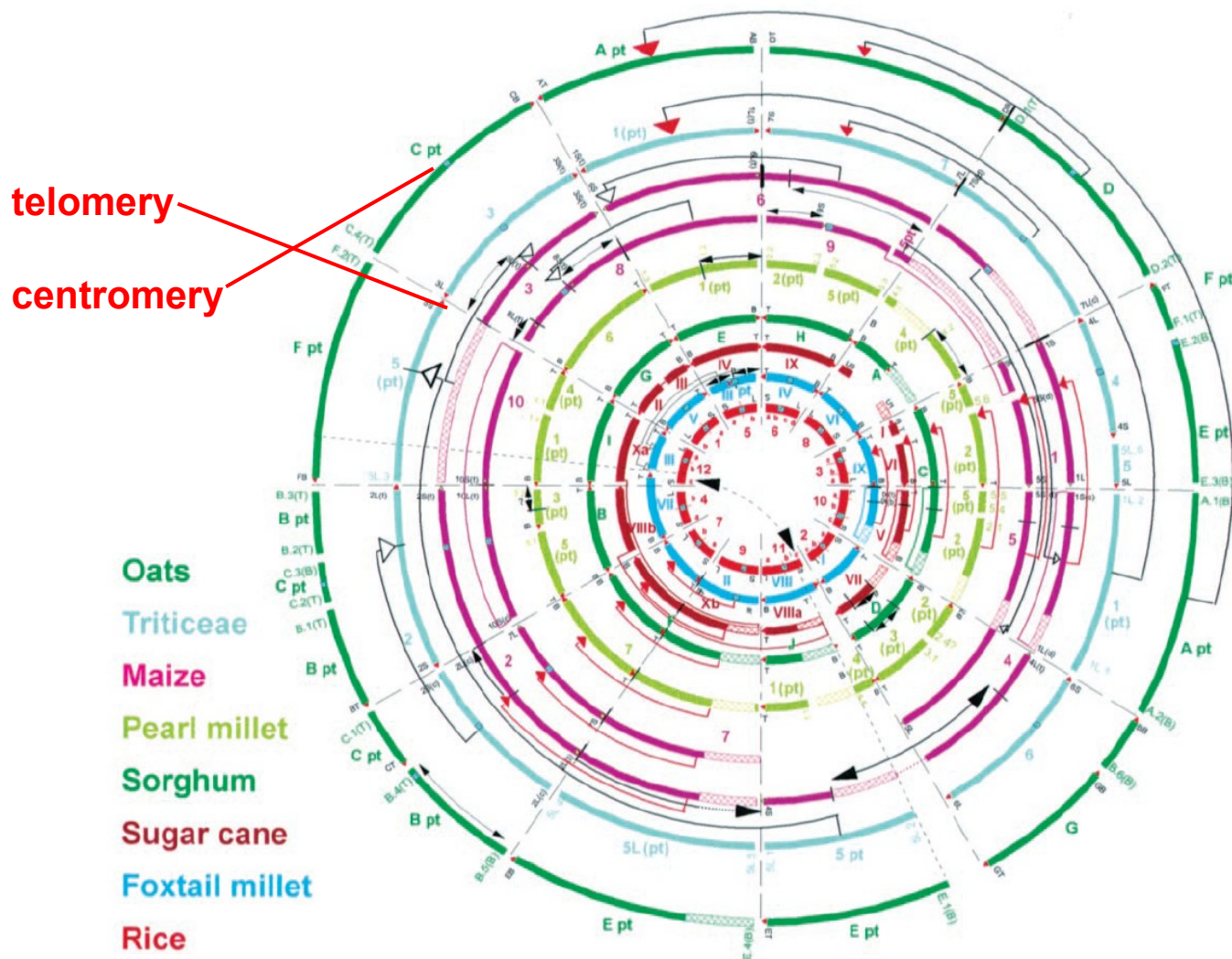
Názorné přiřazení homologních bloků



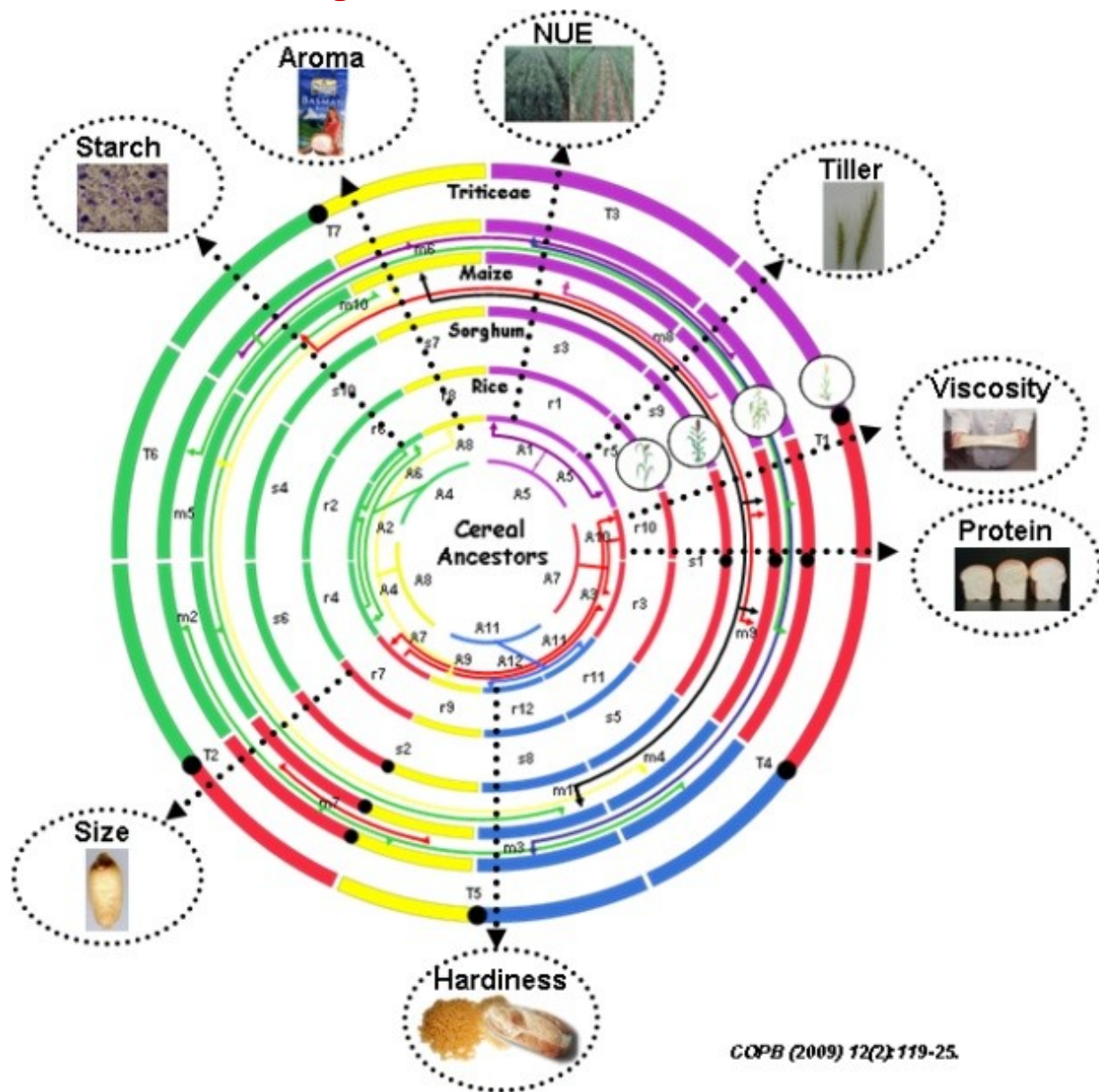
Přilehlé segmenty chromozomů žita

➔ Vysoce konzervovaná struktura genomů obilovin

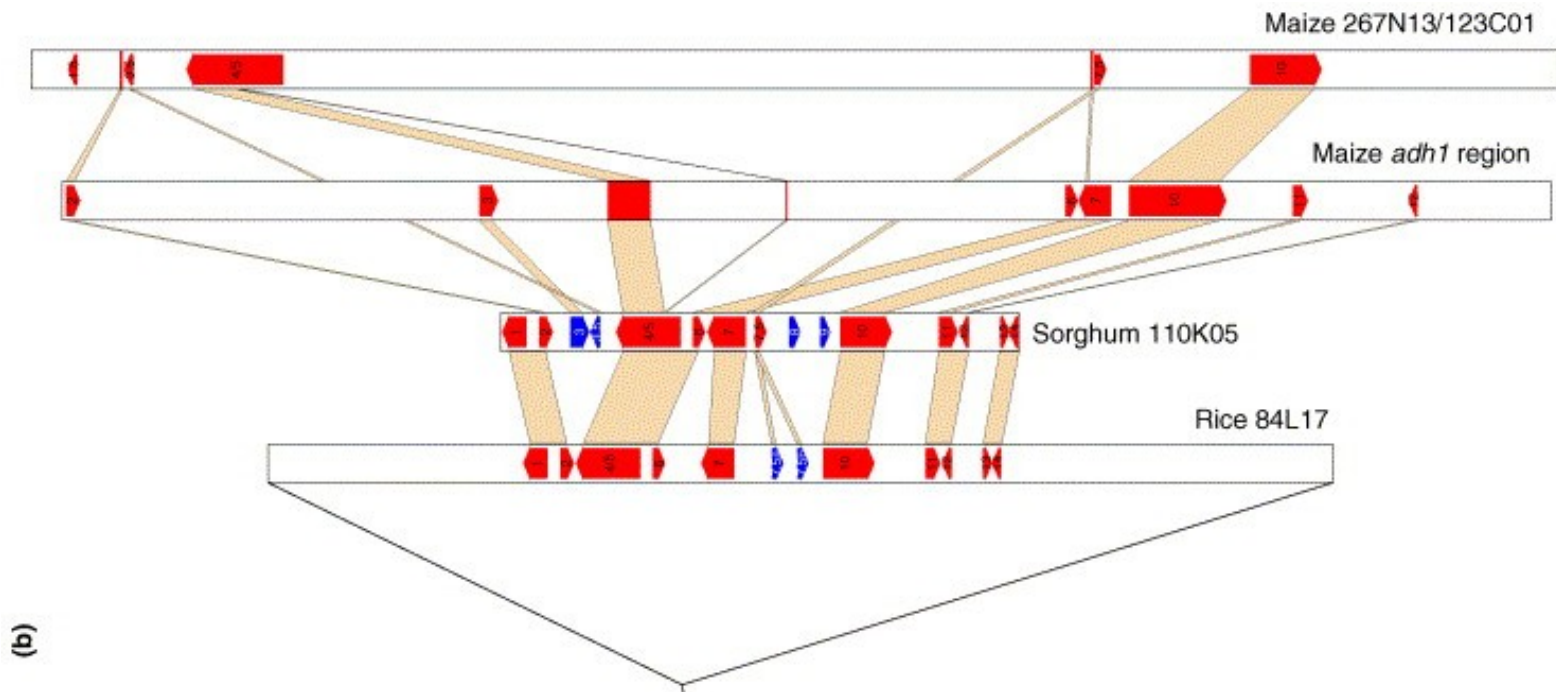
Kolinearita (syntenie) genomů lipnicovitých



Genomy obilovin a asociované znaky



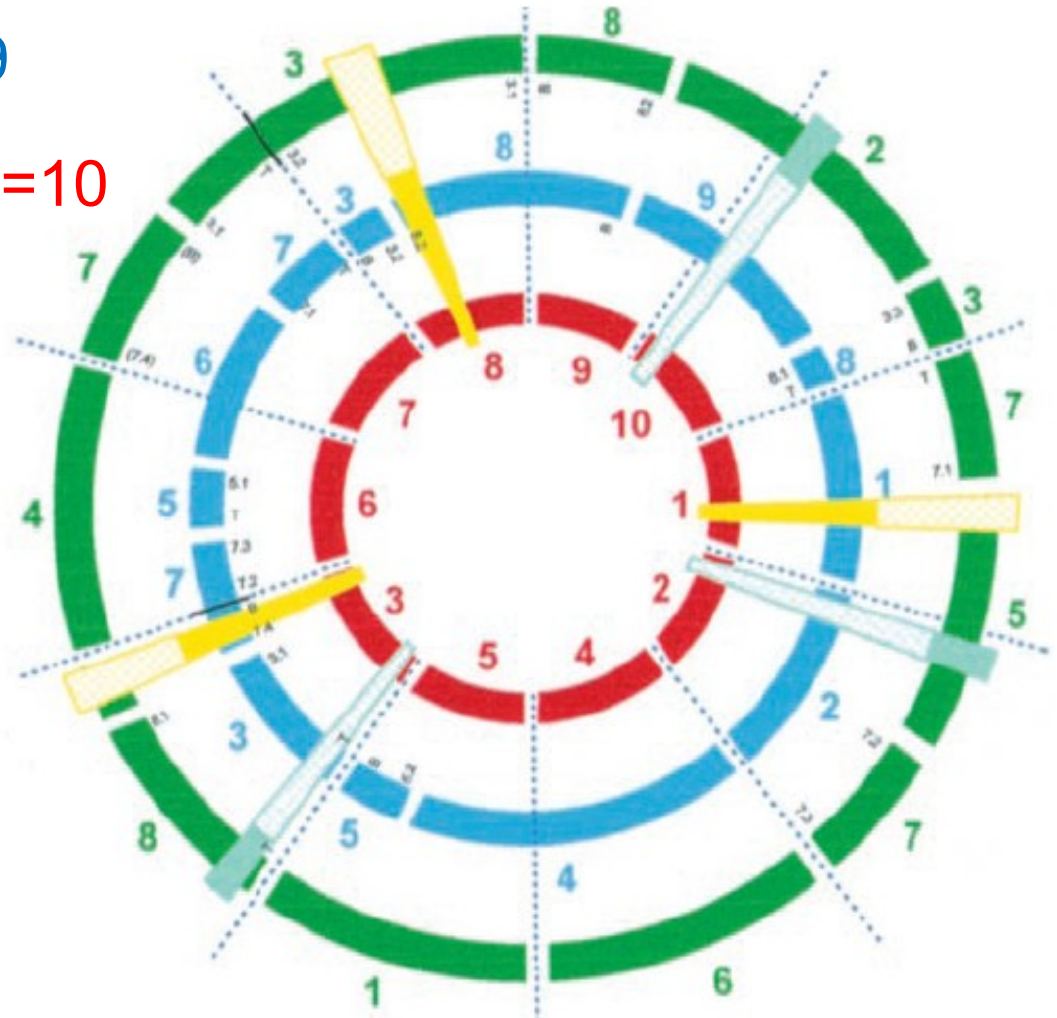
Kolineární úseky se liší především zastoupením repetitivní DNA



(b)

Genomy „brasik“

- ➔ *B. nigra* n=8
- ➔ *B. oleracea* n=9
- ➔ *B. campestris* n=10



Genom řepky olejky *B. napus*

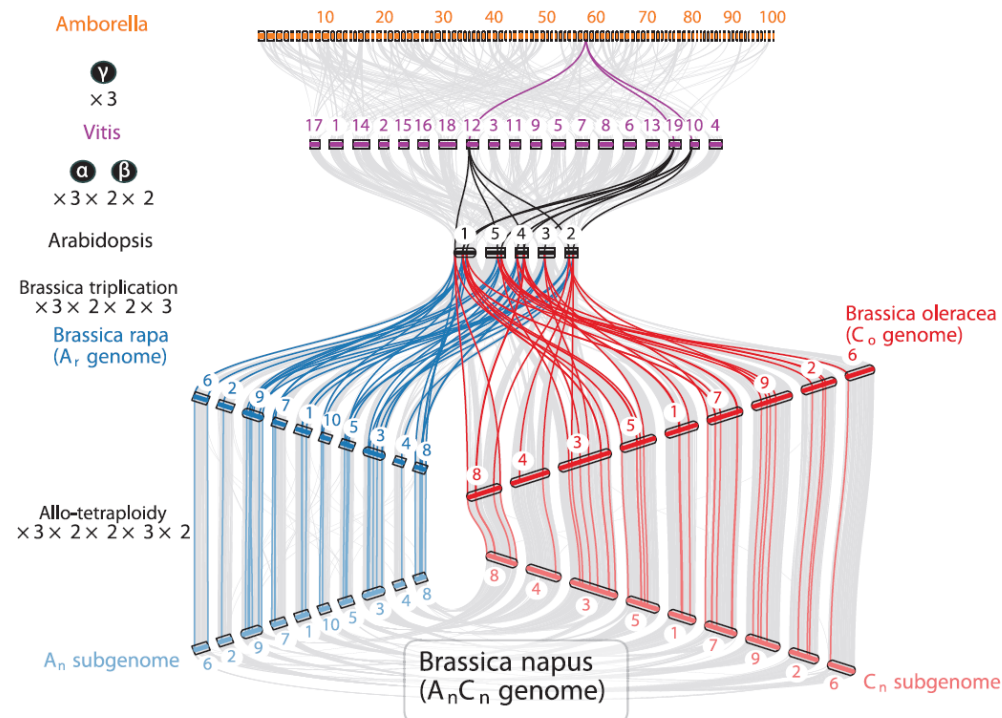


Early allopolyploid evolution in the post-Neolithic *Brassica napus* oilseed genome

Boulos Chalhoub *et al.*

Science **345**, 950 (2014);

DOI: 10.1126/science.1253435



Výukovou pomůcku zpracovalo
Servisní středisko pro e-learning na MU

<http://is.muni.cz/stech/>

CZ.1.07/2.2.00/28.0041

Centrum interaktivních a multimediálních studijních opor pro inovaci výuky a efektivní učení



INVESTICE DO ROZVOJE VZDĚLÁVÁNÍ